

1978.02
1

1978

 O_2

} 24 Б171. Энергия диссоциации $O_2(X^3\Sigma_g^-)$. Albritton D. L., Moseley I. T., Cosby R. C., Tadjedine M. The dissociation energy of $O_2(X^3\Sigma_g^-)$. «J. Mol. Spectrosc.», 1978, 70, № 2, 326—329 (англ.)

Для определения величины энергии диссоциации молекулы O_2 в основном электронном состоянии предложено использовать след. «спектроскопич. цикл»: $E(O_2^+, b^4\Sigma_g^-) + T(O_2^+, b^4\Sigma_g^-, v=4, N=9) = D(O_2 X^3\Sigma_g^-) + E(O^+, ^4S_{3/2}) + W(N=9, ^3P_2)$, где $E(O_2^+, b)$ — потенциал ионизации O_2 , $[O_2(X^3\Sigma_g^-, v=0, N=0) \rightarrow O_2^-(b, v=0, N=0)]$; $E(O^+, ^4S_{3/2})$ — потенциал ионизации $O(^3P_2 \rightarrow O^+ (^4S_{3/2}))$; W — кинетич. энергия фрагментов $O^+ + O$, являющихся продуктами преддиссоциации $O_2^+(b, v=4, N \geq 9)$. Величина $E(O_2^+, b)$ определена с большой точностью как предел соотв-щей ридберговской серии $(146556 \pm 2 \text{ см}^{-1})$. Значение $T(O_2^+, b, v=4, N=9)$ получено из анали. системы $b^4\Sigma_g^- - a^4\Pi_u O_2^+$, измеренной с высоким разрешением [$T(v=4, N=9) - T(v=0, N=0) = 4552,1 \pm 1 \text{ см}^{-1}$]. Величина $W = 9 \pm 9 \text{ см}^{-1}$ получена след. обр. Излучение лазера на красителе, частоту к-рого и полосы 4—4 перехода $b^4\Sigma_g^- - O_2^+$, коллинеарно

x. 1978, № 24

направляли на пучок ионов O_2^+ в метастабильном долгоживущем состоянии $a^4\Pi_u$. Далее определялась энергия ионов O^+ . Затем, по известной разности энергий между уровнями с $N=9, 13, 15, 17$, с которых происходила преддиссоциация, и разности энергий между компонентами триплета $O(^3P_{2,1,0})$ определяли кинетич. энергию ионов O^+ . Значение $E(0^+, ^4S_{3/2}) = 109837,02 \pm 0,06 \text{ см}^{-1}$ известно из атомных спектров. Рассчитанная по описанному циклу энергия диссоциации $O_2(X^3\Sigma_g^-) = 41262 \pm 10 \text{ см}^{-1}$ в пределах ошибки определения совпадает со значением $41260 \pm 15 \text{ см}^{-1}$ полученным ранее из анализа систем полос Шумана—Рунге и Герцберга [переходы $B^3\Sigma_u^- (v') - X^3\Sigma_g^- (v''=0)$ и $A^3\Sigma_u^+ (v') - X^3\Sigma_g^- (v''=0)$].

В. М. Ковба

мол
и ра
у

O₂

omnwick 6428
BP-XI-3919

1978

89: 12984z The dissociation energy of molecular oxygen=⁺
(X³S_g-). Albritton, D. L.; Moseley, J. T.; Cosby, P. C.;
Tadjeddine, M. (Aeron. Lab., NOAA Environ. Res. Lab.,
Boulder, Colo.). *J. Mol. Spectrosc.* 1978, 73(2), 326-9 (Eng).
The dissoocn. energy of O₂ was detd. by laser photofragment
spectroscopy to be 41260 ± 15 cm⁻¹. This value is in agreement
with the value obtained by P. Brix and G. Herzberg (1954).

(d₃)

C.A. 1978, 89, N2

O₂

Lommel 8415 | 1978

Asundi R.K., et al.

0030p.

Specs. recd.

Crop: tobacco
pepperwax

Indian J. Phys.

And Appl. Phys.
1978, 16, 135-141

1978

 O_2 H_2 XeF_2 SeO_3 H_2

93: 16010j The pure rotation Raman spectra of molecular oxygen, $^{17}O_2$, $^{16}O^{17}O$, $^{17}O^{18}O$, xenon difluoride, selenium trioxide, molecular hydrogen, $^1H^3H$ and $^2H^3H$ and the vibration-rotation Raman spectra of $^1H^3H$ and $^2H^3H$. Brassington, N. J.; Edwards, H. G. M.; Farwell, D. W.; Long, D. A.; Najm, K. A. B.; Skinner, M. (Sch. Chem., Univ. Bradford, Bradford/Yorkshire, Engl. BD7 1DP). *Proc. Int. Conf. Raman Spectrosc.*, 6th 1978, 2, 250-1 (Eng). Edited by Schmid, Eduard D.; Krishnan, R. S.; Kiefer, W. Heyden: London, Engl. The 1st observation is reported of the pure rotation Raman spectra of $^{17}O_2$, $^{16}O^{17}O$, $^{17}O^{18}O$, XeF_2 , SeO_3 , and the pure rotation and vibration-rotation (Q-branch only) Raman spectra of $^1H^3H$ and $^2H^3H$. The obsd. spectra were analyzed for rotational consts. and bond lengths. For ^{17}O , $^{16}O^{17}O$, and $^{17}O^{18}O$,

(reco'd by
uncond. spms.
checked, ye)

(44)



CA 1980 93 n2

40, 38, and 32 lines, resp., in the s-branch were measured. For the $^{17}\text{O}_2$ species the expected intensity alternation for N even:odd of 7:5 was obsd.; for the noncentrosym. species no intensity alternation was obsd. Using values of α calcd. from the α value of $^{16}\text{O}_2$, the B_e and r_e values were obtained. The r_e values agree with those of $^{16}\text{O}_2$, $^{16}\text{O}^{18}\text{O}$, and $^{18}\text{O}_2$ to within one std. deviation of error. For, 162 lines were measured in the S-branch and the expected intensity alternation for J even:odd of 1:3 was noted. The B_0 and r_0 values are more precise than the IR values. For, 194 lines were measured in the R- and S-branches. The precision of r_0 is greater than that of r_a from an electron-difraction study. For $^1\text{H}^3\text{H}$ and $^2\text{H}^3\text{H}$ the r_e values agree with those of $^1\text{H}_2$, $^2\text{H}_2$, and $^2\text{H}^1\text{H}$ to within one std. deviation of error.

1978

O₂

(+) -

'Σ - ³X Σg

89: 120208h Oxygen molecule in a high magnetic field.
Braun, P. A.; Dvornikov, I. V.; Labzovskii, L. N. (USSR). *Opt. Spektrosk.* 1978, 45(1), 49-57 (Russ). The rotational structure of an O₂ mol. in a magnetic field of 10⁴-10⁵ G was detd. The Zeeman effect for the ground state (³Σ_g⁻) and the effect of the strong magnetic field on the probability of forbidden transitions (¹Σ_g⁺ ← X³Σ_g⁻) were studied.

C.H. 1978.89 NY

O₂
SO

9 Б26. О параметрах эффекта Зеемана высокой точности для O₂ и SO. Christensen H., Veseth L. On the high-precision Zeeman effect in O₂ and SO. «J. Mol. Spectrosc.», 1978, 72, № 3, 438—444 (англ.)

Определены магнитные *g*-факторы для основных состояний симметрии ³Σ молекул O₂ и SO. Релятивистские поправки к спиновому электронному фактору *g_s* рассчитаны в приближении Брейта — Паули с использованием однодетерминантных молек. волновых функций метода ЛКАО. При вычислениях учтены вклады второго и (выборочно) третьего порядка. С помощью взвешенной нелинейной процедуры наименьших квадратов на основании эксперим. данных найдены значения *g_s*, а также вращательного и орбитального электронного фактора *g_A* и *g_I*. Сопоставление теор. и эксперим. *g*-факторов показывает, что для обеих молекул расхождения не превышают половины стандартной погрешности. Отмечено, что в случае теор. величин ошибки в основном обусловлены пренебрежением нек-рыми двухцентровыми интегралами при вычислении поправок 3-го порядка. Проанализирована связь постоянной спин-вращательного взаимодействия и фактора *g_I*. Показано, что вклады 3-го порядка важны и в этом случае, особенно для молекулы O₂. Обсуждены пред. эксперим. и теор. оценки *g*-факторов. А. В. Немухин

(7)

(2)

Х. ВЧУЛНУ

O₂

89/1978 8092

1978

89: 206690w The pure rotational Raman spectra of molecular oxygen ¹⁷O₂, ¹⁶O¹⁷O and ¹⁷O¹⁸O). Edwards, H. G. M.; Farwell, D. W.; Long, D. A.; Najm, K. A. B. (Sch. Chem., Univ. Bradford, Bradford/West Yorkshire, Engl.). *Indian J. Pure Appl. Phys.* 1978, 16(3), 354-7 (Eng). The pure rotational Raman spectra of ¹⁷O₂, ¹⁶O¹⁷O and ¹⁷O¹⁸O were recorded and analyzed for the 1st time to give values of B_0 , D_0 and r_0 for each species. The spectra were recorded photog. using laser excitation and a grating spectrograph with a reciprocal linear dispersion of $1.4 \text{ cm}^{-1} \text{ mm}^{-1}$ at a wavelength of 488.0 nm. By using values of α for ¹⁷O₂, ¹⁶O¹⁷O and ¹⁷O¹⁸O calcd. from the α -value for ¹⁶O₂, the B_e and hence r_e value were obtained. The rotational consts. and bond lengths detd. for these species are reported. These r_e values agree with the equil. state bond lengths of ¹⁶O₂, ¹⁶O¹⁸O and ¹⁸O₂ within one std. deviation of error.

(B_0 , D_0 , r_0)

C.A. 1978, 89, N24

Очищена 8092

1943

O₂

М, 17.

10 Д396. Вращательный спектр комбинационного рассеяния $^{17}\text{O}_2$, $^{16}\text{O}^{17}\text{O}$ и $^{17}\text{O}^{18}\text{O}$. Edwards H. G. M., Fagwell D. W., Long D. A., Najm K. A. B. The pure rotational Raman spectra of $^{17}\text{O}_2$, $^{16}\text{O}^{17}\text{O}$ & $^{17}\text{O}^{18}\text{O}$. «Indian J. Pure and Appl. Phys.», 1978, 16, № 3, 354—357 (англ.)

Получен вращательный спектр комб. рас. молекул $^{17}\text{O}_2$, $^{16}\text{O}^{17}\text{O}$ и $^{17}\text{O}^{18}\text{O}$. Исследуемый газ находился под давл. 380 мм рт. ст. Спектр регистрировался фотографически, спектральная ширина щели составляла $0,15 \text{ см}^{-1}$. Одновременно со спектром кислорода на пленке регистрировались 48 линий спектра тория, которые использовались для калибровки. Приведены таблицы частот наблюдавшихся линий. Вычислены вращательные постоянные, постоянные центробежного растяжения и равновесные межъядерные расстояния для исследованных молекул. Подробно проанализирована структура спектра, связанная с чередованием интенсивностей во вращательных линиях молекулы $^{17}\text{O}_2$; интенсивности линий с четным и нечетным значением вращательного квантового числа J относятся друг к другу как 7 : 5.

Н. Филиппов

д. 1979 N 10

Синтеси 8092

19.11

22 Б268. Чисто вращательные спектры комбинационного рассеяния $^{17}\text{O}_2$, $^{16}\text{O}^{17}\text{O}$, и $^{17}\text{O}^{18}\text{O}$. Edwards H. G. M., Farwell D. W., Long D. A., Natm K. A. B. The pure rotational Raman spectra of $^{17}\text{O}_2$, $^{16}\text{O}^{17}\text{O}$ & $^{17}\text{O}^{18}\text{O}$. «Indian J. Pure and Appl. Phys.», 1978, 16, № 3, 354—357 (англ.)

Сфотографированы чисто вращательные спектры КР молекул $^{17}\text{O}_2$, $^{16}\text{O}^{17}\text{O}$, $^{17}\text{O}^{18}\text{O}$. Проанализирована вращательная структура S-ветвей и получены значения B_0 , D_0 , R_0 , B_e , R_e (два последних с учетом известного значения d_e $^{16}\text{O}_2$) равные (B , D в см^{-1} , R в А): $^{16}\text{O}^{17}\text{O}$ — 1,39538; $4,6 \times 10^{-6}$; 1,21080; 1,4032; 1,2074; $^{17}\text{O}_2$ — 1,35319, $4,8 \times 10^{-6}$; 1,21007; 1,3606; 1,2074; $^{17}\text{O}^{18}\text{O}$ — 1,3156; $4,8 \times 10^{-6}$; 1,2107; 1,3227; 1,2074, В. М. Ковба

Х-1049, п.2

O₂

O/H

120.00000.
1/1000000

1948

22 Б1362. Изотопные эффекты в резонансных сечениях процессов предиссоциации — преассоциации. E u Young C., Zaritsky Nava. Isotope effects on resonance cross sections in predissociation/preassociation. «Chem. Phys. Lett.», 1978, 55, № 3, 575—581 (англ.)

На основе полуклассич. теории, развитой из теории неупругого рассеяния Штюкельберга (Stückelberg E. C. G., «Helv. phys. acta», 1932, 5, 370), вычислены потенциальные кривые притягивающих и отталкивательных состояний молекул ¹⁶O₂, ¹⁸O₂, OH и OD, к-рые использованы для вычисления резонансных сечений $\sigma_{\text{рез}}$ преассоциативных столкновений атомов O друг с другом и с атомами H и D в зависимости от энергии. Расчеты производились для состояний $B^3\Sigma_u^-$ и $^5\Pi_u$ молекулы O₂ и для состояний $^4\Pi$ и $A^2\Sigma^+$ молекулы OH(OD). В системе O₂ расчеты резонансных парциальных значений $\sigma_{\text{рез}}$ для определенного значения квант. числа электронного момента кол-ва движения показывают, что резонансные линии узки и довольно резки и обнаруживают характерные изотопные смещения. С повышением энергии столкновения ширины

(+1)

Х. 1948.12.2

линий обнаруживают осцилляции, характерные также для процессов предиссоциации, причем узким линиям в системе $^{18}\text{O}_2$ могут соответствовать широкие линии в системе $^{16}\text{O}_2$ и наоборот. Полные резонансные сечения в преассоциац. столкновениях в системах атомов ^{16}O и ^{18}O довольно сильно отличаются друг от друга, причем различие может достигать множителя 2—4. В системах OH и OD полные $\sigma_{\text{рез}}$ также могут сильно различаться друг от друга, причем в области энергий взаимодействия $E \approx 0,077$ ат. ед. величины $\sigma_{\text{рез}}$ могут различаться почти на порядок. Это различие обусловлено, в конечном счете, изотопными сдвигами в положениях резонансных линий и изотопным сужением и уширением линий.

В. Е. Скурат

1978

O₂

У. Гессель.
старш.

(45)

23 Б30. Электронная структура комплексов переходных и непереходных элементов по данным расчетов дискретным вариационным методом. Гуцев Г. Л., Клягина А. П., Левин А. А. «13 Всес. Чугаев. совещ. по химии комплекс. соедин., 1978». М., 1978, 113

Разработан комплекс программ (ЭВМ БЭСМ-6) для расчетов электронного строения молекул дискретным вариационным методом (X_α). В вычислениях можно использовать до 80 АО, заданных численно, либо аналитически, максим. кол-во атомов — 20. Вычисленные с использованием слейтеровской концепции переходного состояния потенциалы ионизации валентных уровней молекул O₂, F₂, H₂O, NH₃, CH₄, CF₄ отклоняются от эксперим. значений в среднем на 0,5 эв. Расчеты гексафторидов непереходных и переходных элементов показали, что вакантные орбитали центрального атома незначительно влияют на электронное строение. В частности, для SF₆ правильный порядок уровней получается уже в *sp*-базисе.

М. Гофман

2.10.78, 123

1978

O₂

Түзел Т.дп 4 сп.

"Н. оңтүстүр. жасаш" 1978,
19, №, 976-81

(3)



cell. F₂ - 11

I₂

1978

Guyon P. M., et al

Adv. Mass Spectrom. Vol. 7A.

Proc. 7th Int. Mass Spectrom.

Conf., Florence, 1976 "London,
1978, 188-91.



coll. CO₂-III

O₂

omega 6479

1978

opmosis.
concept

Honjou N; et al.

Mol. Phys., 1978,
35 (6), 1569-1578

Configuration interaction
calculation ● of the O₂⁺ ion.

O₂⁴⁴

osmuka 6323

1978.

Jost R., et al.

caract.
-influence
pacemaker.

J. phys. (Fr), 1978
39 n° suppl, c1-26

O₂

описано 6847

1978

4 Б121. Возбуждение $b^1\Sigma_g^+$ состояния O_2 электронами низкой энергии. Lawton S. A.,—Phelps A. V.
 Excitation of the $b^1\Sigma_g^+$ state of O_2 by low energy electrons. «J. Chem. Phys.», 1978, 69, № 3, 1055—1068
 (англ.)

Измерена абс. интенсивность излучения в области 762 нм, испускаемого молекулами O_2 в состоянии $b^1\Sigma_g^+$. Возбуждение осуществляли электронами, дрейфующими через O_2 под влиянием однородного электрич. поля. Определены константы скорости возбуждения $b^1\Sigma_g^+$ состояния, к-рые согласуются с предсказанными только для средней энергии электронов $\sim 1,3$ эв. Изучена т-рная зависимость абс. интенсивности полосы 762 нм для интервала плотностей O_2 10^{16} — 2×10^{18} молекул/ cm^3 . Рассчитано число молекул O_2 в состоянии $b^1\Sigma_g^+$, образующихся на 1 см электронного дрейфа и на одну молекулу O_2 . Полученные значения изменяются от $1,3 \times 10^{-18} cm^2$ до $2,1 \times 10^{-16} cm^2$ при изменении отношения напряженности электрич. поля к плотности основного состояния $O_2 E/N$ в интервале от $5 \times 10^{-17} V \cdot cm^2$ до $2 \times 10^{-15} V \cdot cm^2$, что соответствует интервалу средних

Создано
 $b^1\Sigma_g^+$
состоиние

Х. 1979, N° 4

энергий электронов 0,75—6 эв. При расчёте учитывались процессы ионизации и метастабильной диффузии. Измерена временная зависимость относит. интенсивности излучения в области 762 нм. Определено произведение DN (D — коэф. диффузии), равное $(5,0 \pm 0,3) \times 10^{18}$ см⁻¹ сек⁻¹, а также коэф. затухания для состояния $b^1\Sigma^+_g$, равный $(3,9 \pm 0,2) \times 10^{-17}$ см³ сек⁺¹. Измеренные коэф. возбуждения сравниены со значениями, рассчитанными из лит. данных для сечений столкновений электронов с O_2 . Показано, что сечения прямого возбуждения состояния $b^1\Sigma^+_g$ лежат вблизи порога. На этом основании предположено, что практически все молекулы O_2 , возбужденные до уровней 1,63 эв и выше, участвуют в образовании молекул O_2 в состоянии $b^1\Sigma^+_g$.

С. Б. Осин



Q₂

1978

9 Б810. Наблюдение переходов $O(^1D \rightarrow ^3P)$ и $O_2(b^1\Sigma_g^+ \rightarrow X^3\Sigma_g^-)$, сопровождающих фотодиссоциацию O_2 . Lee L. C., Slanger T. G. Observations on $O(^1D \rightarrow ^3P)$ and $O_2(b^1\Sigma_g^+ \rightarrow X^3\Sigma_g^-)$, following O_2 photodissociation. «J. Chem. Phys.», 1978, 69, № 9, 4053—4060 (англ.)

Исследован процесс передачи энергии $O(^1D) + O_2 \rightarrow O(^3P) + O_2(b^1\Sigma_g^+)$. Атомы $O(^1D)$ получали в результате фотодиссоциации O_2 излучением $\sim 1600\text{ \AA}$ лазера на H_2 . Эмиссия $O(^1D)$ (6300 \AA) и колебательные полосы $O_2(b^1\Sigma_g^+ \rightarrow X^3\Sigma_g^-)$ детектировались с помощью фильтра, фотоумножителя и многоканального анализа с разрешением по времени 10 мксек . Наблюдались только уровни $v=0$ и 1 в отношении $k_1/k \approx 0,7$. Эффективность передачи энергии $O(^1D)$ к O_2 составляет $0,77 \pm 0,2$, что соответствует константам скоростей $k_0 = 1,8 \cdot 10^{-11}$ и $k_1 = 1,3 \cdot 10^{-11}\text{ см}^3/\text{сек}$. В измерениях при различных давлениях O_2 получена константа тушения $O_2(b^1\Sigma_g^+)_{v=1}O_2 = 2,2 \cdot 10^{-11}\text{ см}^3/\text{сек}$, что в шесть раз превосходит константу тушения для $O_2(b^1\Sigma_g^+)_{v=0}$. Полученные результаты хорошо согласуются с имеющимися в лит-ре эксперим. данными. Обсуждается механизм передачи энергии.

Н. И. Бутковская

Фото-
диссоц

2.10.1978, NG

Ottobre 6901

1978

O₂
 6 БГБО. Экспериментальное определение силы осцилляторов и ширины линий для систем полос Шумана — Рунге молекулярного кислорода. I. Полосы (6—0) — (14—0). Lewis B. R., Carver J. H., Hobbs T. I., McCoy D. G., Gies H. P. F. Experimentally determined oscillator strengths and linewidths for the Schumann—Runge band system of molecular oxygen—I. The (6—0)—(14—0) bands. «J. Quant. Spectrosc. and Radiat. Transfer», 1978, 20, № 2, 191—203 (англ.)

С высоким разрешением ($\sim 0,06 \text{ \AA}$) измерена система полос Шумана — Рунге в ВУФ-спектре поглощения молекул кислорода $(B^3\Sigma_u^- - (v' = 6-14) - X^3\Sigma_g^- - v'' = 0)$. Экспериментально определены и табулированы силы осцилляторов $f(N'', v')$ линий (P — ветвь, $N'' = 3-31$, R — ветвь, $N'' = 5-29$). Значения $f(N'', v')$ в целом несколько выше, чем полученные ранее и уменьшаются с ростом N'' быстрее, чем предсказывает теория $f(N'', v') = f_0(v') - \beta(v')N''(N'' + 1)$. Приведены значения $f_0(v')$ и $\beta(v')$ для P - и R -ветвей. Величина $f_0(v')$

Х. 1979, № 6

6901
Окт.

согласуется с полученными ранее значениями при малых v' и значительно отличается при $v'=11-14$. Найдено, что ширина линий меняется в зависимости от v' , причем для $v'=12-14$ результаты хорошо согласуются с лит. данными, а для $v'=6-9$ — лежат между эксперим. и теоретически рассчитанными значениями полученными ранее.

В. М. Ковба

запись 6902

1978

- 1 2 Д355. Экспериментальное определение сил осцилляторов и ширин линий системы Шумана-Рунге молекулы O_2 . Ч. I. Полосы (6—0)—(14—0). Lewis B. R., Cargue J. H., Hobbs T. I., McCoy D. G., Gies H. P. Experimentally determined oscillator strengths and linewidths for the Schumann-Runge band system of molecular oxygen. I. The (6—0)—(14—0) bands. «J. Quant. Spectrosc. and Radiat. Transfer», 1978, 20, № 2, 191—203 (англ.)

Спектр поглощения молекулы O_2 в области полос (6—0)—(14—0) системы Шумана-Рунге получен при комнатной т-ре с разрешением 0,06 Å с использованием фотоэлектрич. регистрации. Определены силы осцилляторов и предиссоциационные ширины линий. Впервые проанализирована зависимость сил осцилляторов от квантового числа N'' . Полученные значения сил осцилляторов немного больше приводимых в литературе. Кроме того, силы осцилляторов падают с увеличением N'' немного быстрее, чем это предсказано теорией. Предиссоциационные ширины линий плавно меняются с v' , хорошо согласуются с ранее измеренными для $v'=12—14$ и

Использован
документ

fmn

Р. 1979. 2

лежат между известными экспериментальными и теоретич. значениями для $v' = 6 - 9$. Полученные результаты позволяют построить значительно более точный профиль атмосферного поглощения в полосах Шумана-Рунге, чем это было возможно до сих пор. Библ. 32. В. С. Иванов

1978

O₂

88: 128377n MCSCF wavefunctions for the $a^1\Delta_g$ and $b^1\Sigma_g^+$ states of molecular oxygen. Lie, G. C. (Dep. Chem., Natl. Tsing Hua Univ., Hsinchu, Taiwan). *J. Chem. Phys.*, 1978, 68(3), 1311-12 (Eng). By using multiconfiguration SCF calcns., the configurations necessary for describing the dissoen. behavior of O₂ were obtained by using a better than double-zeta-plus-polarization basis set for the 2 lowest excited states $a^1\Delta_g$ and $b^1\Sigma_g^+$. The total energies obtained from the MCSCF calcns. are -149.69937 and -149.67493 a.u. for the $a^1\Delta_g$ and $b^1\Sigma_g^+$ states, resp. The configuration expansion coeffs. are given. Comparisons are made with results obtained by the conventional Hartree-Fock method.

*Kb, see ex,
Packer*

C.A., 1978, 82, N18

O₂

1978

8 Д155. Волновые функции МКССП $a^1\Delta_g^-$ и $b^1\Sigma_g^+$ - состояний O_2 . Lie G. C. MCSCF wavefunctions for the $a^1\Delta_g$ and $b^1\Sigma_g^+$ states of O_2 . «J. Chem. Phys.», 1978, 68, № 3, 1311—1312 (англ.)

Методом МК ССП в базисе $(13s8p2d)$ рассчитана электронная структура двух низших возбужденных состояний, $a^1\Delta_g$ и $b^1\Sigma_g^+$ молекулы O_2 . Состояние $a^1\Delta_g$ имеет энергию на 0,72 эв выше, чем основное состояние $X^3\Sigma_g^-$. Разность энергий между $a^1\Delta_g$ и $b^1\Sigma_g^+$ составляет 0,67 эв. Энергии диссоциации $a^1\Delta_g$ и $b^1\Sigma_g^+$ равны соответственно 2,18 и 1,51 эв. Отмечено существенное улучшение результатов по сравнению с данными расчетов методом ОХФ.

О. В. Сизова

*расчет
зеленой
спектр.
отсутствует.*

Ф. 1978, № 8

O₂

1978

20 Б22. Волновые функции молекулы O₂ в состояниях $a^1\Delta_g$ и $b^1\Sigma_g^+$, рассчитанные методом МКССП.
Lie G. C. MCSCF wavefunctions for the $a^1\Delta_g$ and $b^1\Sigma_g^+$ states of O₂. «J. Chem. Phys.», 1978, 68, № 3, 1311—1312 (англ.)

Многоконфигурационным методом ССП (МКССП) в расширенном базисе гауссовых орбиталей рассчитана молекула O₂ в состояниях $X^3\Sigma_g^-$, $a^1\Delta_g$ и $b^1\Sigma_g^+$ при межъядерном расстоянии 2,297 ат. сд. Для всех состояний использован набор одинаковых пяти конфигураций, позволяющих правильно описать диссоциаци. предел. Найдено, что для возбужденных состояний учет этих конфигураций позволяет вдвое уменьшить ошибки в энергии диссоциации, присущие методу ССП, и получить для энергий диссоциации правильные знаки. Разность термов состояний $a^1\Delta_g$ и $b^1\Sigma_g^+$ составляет 0,67 эв, а для состояний $X^3\Sigma_g^-$ и $a^1\Delta_g$ разность термов оценена как 0,72 эв. Эксперим. значения равны 0,65 и 0,98, а расчет методом ССП дает оценки 1,33 и 1,34 эв соотв. Подчеркивается модельный характер расчета. Сделан вывод, что основная часть ошибки метода ССП устраивается при надлежащем описании процесса диссоциации в рамках схемы метода МКССП.

В. И. Пупышев

расчет
модели
ст. 17; до E;

2, 1978, № 20

O₂

ЗД185. Угловое распределение фотоэлектронов как функция энергии фотонов при фотоионизации основного состояния молекулярного кислорода. McCoу D. G., Morton J. M., Magg G. V. The angular distribution of photoelectrons as a function of photon energy for the ground state photoionisation of molecular oxygen. «J. Phys.», 1978, B11, № 18, L547—L549 (англ.).

*решено —
изучается*

С использованием синхротронного излучения, получаемого от синхротрона NINA с энергией электронов 5 ГэВ, измерены значения параметра асимметрии β в угловом распределении фотоэлектронов для фотоионизационного перехода ${}^3\Sigma_g \rightarrow {}^X^2\Pi_g$ в молекуле кислорода. Зависимость β от энергии фотонов в области 20—45 эв имеет монотонный характер с резким возрастанием от значения —0,5 при 20 эв до значения +1,0 при 30 эв и дальнейшим очень медленным возрастанием до 1,2. В целом результаты согласуются с эксперим. значениями β , измеренными ранее при энергиях резонансных линий HeI и HeII. Теоретич. расчеты параметра β , проведенные Хиротой («J. Electron. Spectrosc. Rel. Phen.», 1976, 9, 149), приводят к совершению иной зависимости $\beta(v)$, хотя теоретич. и эксперим. значения β при $hv=21,2$ эв совпадают. Обсуждается влияние симметрии перехода на величину β .

Е. П. Смирнов

φ. 1979, № 3

1978

O₂

14 Б269. Индуцированное давлением поглощение микроволнового излучения молекулой кислорода. Matsuura M. Mizushima. Pressure-induced absorption of microwave radiation by the oxygen molecule. «J. Quant. Spectrosc. and Radiat. Transfer», 1978, 19, № 1, 63—68 (англ.)

М. б.
Изучение.

Известные факты о том, что эксперим. значения МВ-поглощения кислорода ~9, 23 и 60 Гц при высоких давл. превышают почти в 2 раза величины поглощения, вычисленные по теории Ван—Флека, интерпретированы на основе ранее развитой автором теории индуцированного давл. поглощения. Во всех случаях в результате учета индуцированного давл. поглощения наряду с магнитным дипольным поглощением достигнуто лучшее согласие между эксперим. и расчетными значениями МВ-поглощения. Оставшаяся разность между эксперим. и расчетными величинами, особенно значит. для области 9 Гц, по-видимому, вызвана нерезонансным поглощением, индуцированным давл. В области 60 Гц величина индуцированного давл. поглощения кислорода растет прямо пропорционально давлению.

С. Н. Мурзин

х, 1978, № 14

O₂

1978

24 Б1419. Фотодиссоциация ионов O₂⁺. Mc Gil
very D. C., Moggrison J. D., Smith D. L. The photo-
dissociation of O₂⁺. «J. Chem. Phys.», 1978, 68, № 10,
4759—4761 (англ.)

*фото-
диссоциац.*

На масс-спектрометрической установке, состоящей из двух последовательных квадрупольных масс-спектрометров, получен спектр фотодиссоциации (ФД) ионов O₂⁺ (зависимости эффективности ФД в процессе O₂⁺ + $\text{h}\nu \rightarrow \text{O}^+ + \text{O}$ от энергии фотонов E), полученных при ионизации молекул O₂ электронным ударом. ФД O₂⁺ производили перестраиваемым лазером со спектральной шириной ~3 см⁻¹. Спектр полной ФД в области $E = 1,7 - 2,8$ эв состоит из серии регулярных пиков, наложенных на широкую непрерывную полосу, простирающуюся во всей видимой области спектра. Поскольку ионы O⁺ возникают только из ионов O₂⁺, получающихся при энергиях электронов выше 16,5 эв, сделан вывод, что ионы O₂⁺, испытывающие ФД, находятся в электронно-возбужденном состоянии с достаточно большим временем жизни. На основании сопоставления полученного спектра ФД O₂⁺ с известным из лит-ры

Х-1978, № 24

фотоэлектронным спектром O_2^+ сделан вывод, что наблюдаемая структура обусловлена переходом с колебательных уровней состояния $a^4\Pi_u$ иона С. на колебательные уровни состояния $b^4\Sigma_g^-$, к-рое затем предиссociириует в состояние $f^4\Pi_g$. Широкая полоса континуума м. обусловлена прямым излучением отталкивателной части состояния $f^4\Pi_g$ иона O_2^+ . Сделан вывод, что зарегистрированный спектр иона O_2^+ должен быть сходен со спектром оптич. поглощения этого иона.⁶

В. Е. Скурат



O₂

Canaryia 6741 1978
BX - 1369

Methanotrix S.P., et al.

publ. b.

200-cc.

2.1. *Cryptosarcina*.

Indian J. Chem., 1978,
A16, 2947-49

O₂

Lennard 8317 | 1978

Mohammad Noor S.

Indian J. Pure and Appl.
Phys., 1978, 16, 752-760

On the Generalization of the
Lennard Potential

O₂

Lommeca 8302 | 1978

Mohammad S. Noor,

pacet
romey,
Khubba

Indian J. Pure and
Appl. Phys., 1978, 16,
761-65

1978

O₂

N₂

C₂H₂

NH₃

89: 82354t CARS-spectroscopy with a pulsed dye-laser system. Nitsch, W.; Kiefer, W. (Sekt. Phys., Univ. Muenchen, Munich, Ger.). *J. Mol. Struct.* 1978, 45, 343-8 (Eng). A computer-controlled CARS system which includes pulsed dye lasers for excitation is described. The performance of the system is demonstrated on high resoln. (0.03 cm^{-1}) CARS spectra of the Q branches of O₂, N₂, ν_1 of C₂H₂, and ν_1 of NH₃. The CARS spectra of some of the gases could also be simulated by means of a computer calen. based on a classical approach.

(concerns K.P.)

(+3) 



C.A. 1978, 89, N10

1978

O₂

Park, Jae H.

From Sci. Tech. Aerosp. Rep.

1978, 16(3), Abstr. No. 173-12608.

allure
U.C. CRISP

all. H₂O-II

1978

O₂

C₂H₄

KB, deck,
jaeger.

Det. C. E. C. W. H.

⑩

☒

89: 206637j Study of the mixing of Rydberg and valence states using the MRD-CI method. Peyerimhoff, S. D. (Lehrstuhl Theor. Chem., Univ. Bonn, Bonn, Ger.). *Gazz. Chim. Ital.* 1978, 108(7-8), 411-18 (Eng). The MRD-CI method is employed to study the interaction between Rydberg and valence-shell states at the electronic level. Examples treated in detail include O₂, N₂, and C₂H₄; the mixed character of a given state can appear at either the CI or the orbital level or both. Various bands in the O₂ spectrum are attributed to transitions to vibrational levels in potential curves arising from Rydberg-valence state interactions. Properties of the C₂H₄ V(1¹B_{1u}) state, which possesses mixed (π, π^*) and ($\pi, 3d\pi$) character, are given. The location of the 2³B_{1u} ($\pi, 3d\pi$) state is unperturbed and calcd. in the immediate neighborhood (8.78-8.98 eV) of the other members of the ($\pi, 3d$) Rydberg species. This result speaks clearly against earlier speculation which does not allow the sep. existence of both a 2p^{*} valence and a Rydberg 3d π upper orbital. Implications of Rydberg-valence interactions for photochem. processes are also discussed.

P.A. 1978, 89, N.24

O₂

B9-XI-6234

1978

Cheerful
nowadays.

90: 78616h Herzberg transition I in the absorption spectrum of an oxygen-18 isotope. Prikhot'ko, A. F.; Pavloshchuk, V. A.; Shanskii, L. I. (USSR). Opt. Spektrosk. 1978, 45(4), 665-71 (Russ). The absorption spectra of ¹⁸O₂ was obtained in the range of mol. transitions $A^3\Sigma_u^+ \leftarrow X^3\Sigma_g^-$. The method of isotopic substitution was used to det. abs. quantization of vibrational levels in excited $A^3\Sigma_u^+$ O₂ states. The dependence of the value of the rotational const. B_v' on vibrational quantum no. v' was found as the convergence limit of the Herzberg I series for mols. ¹⁸O₂.

C.A. 1979, 90, 110

(+) O₂

ВР-Х-6234

1978

6 Б158. Переход Герцберга I в спектре поглощения изотопа кислорода ¹⁸O₂. Прихолько А. Ф., Павловщук В. А., Шанский Л. И. «Оптика и спектроскопия», 1978, 45, № 4, 665—671

М.Н.

Для определения абс. нумерации полос в системе Герцберга I измерены и проанализированы изотопные сдвиги в спектрах поглощения кислорода (чистый ¹⁸O и смесь 75% ¹⁸O + 25% ¹⁶O, $l=8$ м, $p=7,6$ атм). В области 38 000—42 000 см⁻¹ наблюдается 8 полос ($v'=5-12-v''=0$) перехода $A^3\Sigma_u^+ - X^3\Sigma_g^-$. Приведены волновые числа центров вращательных линий для ¹⁸O₂ со значениями $K=1-21$. Найдено, что правильной является нумерация предложенная Бройдой и Гейдоном (значение $v_0=35007,15$ см⁻¹). По наклону прямой описывающей зависимость $v(K)$ от $K(K+1)$ (Q-ветвь) вычислены $B_{v'=5-12}$ (соотв. 0,726; 0,704; 0,678; 0,649; 0,613, 0,570, 0,512; 0,410 см⁻¹). Полоса 12—0 является последним членом серии I Герцберга ¹⁸O₂, для к-рой определен предел сходимости $v_d=41\ 300 \pm 10$ см⁻¹.

В. М. Ковба

д. 1979, №

O₂

В9-Х1-6234

1948

1 Д322. Переход Герцберга I в спектре поглощения изотопа кислорода ¹⁸O₂. Прихолько А. Ф., Павлошук В. А., Шанский Л. И. «Оптика и спектроскопия», 1978, 45, № 4, 665—671

Получен спектр поглощения ¹⁸O₂ в области молекулярного перехода $A^3\Sigma_u^+ \leftarrow X^3\Sigma_g^-$. Методом изотопич. замещения установлена абс. нумерация колебательных уровней в возбужденном состоянии $A^3\Sigma_u^+O_2$. Определена зависимость величины вращательной константы B_v' от колебательного квантового числа v' и найдена граница схождения полос серии Герцберга I для молекулы ¹⁸O₂.

Резюме

Ф.1949, N1

2^т-аминные азотистые

O₂

гексадекановая
кислота

опись 6791

1948

Ramakrishna et al.

Chem. Phys. Lett. 1948,
57, N4, 554-60



авт. H₂-III

O₂

2 E569. Мольный объем и плотность твердого кислорода, находящегося в равновесии с паром. Rodriguez H. M. The molar volume (density) of solid oxygen in equilibrium with vapor. «J. Phys. and Chem. Ref. Data», 1978, 7, № 3, 949—957 (англ.)

Обзор. Анализируются и критически оцениваются эксперим. данные по плотности О в твердом состоянии. Внутренне согласованные данные о мольном объеме и плотности твердого О в интервале от 4,2° К до $T_{ж}$, включающие также сведения об изменениях объема при фазовых переходах, представлены в виде таблицы. Библ. 67.

Б. Могутнов

67.1549.02

1978

O₂

ДЗ96. Образование $O_2(c^1\Sigma_u^-$, $C^3\Delta_u$, $A^3\Sigma_u^+$) в результате рекомбинации атомов кислорода. Slanger T. G. Generation of $O_2(c^1\Sigma_u^-$, $C^3\Delta_u$, $A^3\Sigma_u^+$) from oxygen atom recombination. «J. Chem. Phys.», 1978, 69, № 11, 4779—4791 (англ.)

Спектр послесвечения разряда в O_2 —He исследован в области 4000—8000 Å. Наряду с ожидаемой системой полос $O_2(c^1\Sigma_u^- - X^3\Sigma_g^-)$ обнаружено три новых системы, $C^3\Delta_u - a^1\Delta_g$, $C^3\Delta_u - X^3\Sigma_g$ и $c^1\Sigma_u - a^1\Delta_g$, до сих пор не наблюдавшиеся в лабораторных условиях. Идентификация полос этих систем выполнена на основании анализа изотопич. эффекта. В системе $C-a$ наблюдается длинная прогрессия $0-v''$, в которой проявляются высокие колебательные уровни состояния $a^1\Delta_g$. Уточнены значения колебательных постоянных для состояния $a^1\Delta_g$: $\omega_e = (1510,23 \pm 0,34) \text{ см}^{-1}$ и $\omega_e \chi_e = (13,368 \pm 0,12) \text{ см}^{-1}$. В системе $C-a$ проявляется только одна

М. Н.

РСФСР, 1979, № 7

спиновая компонента $\Omega=1$ состояния $C^3\Delta_u$, а в системе С—Х — компонента $\Omega=2$. С привлечением имеющихся литературных данных оценены колебательные постоянные состояния $C^3\Delta_u$ ($\omega_e = (803,5 \pm 10) \text{ см}^{-1}$, $\omega_e x_e = (8,18 \pm 0,13) \text{ см}^{-1}$ и $\omega_e y_e = (-0,872 \pm 0,006) \text{ см}^{-1}$) и вр. мена жизни состояний: $A^3\Sigma_u^+(v=0-6)$, $\tau = 250-16$, мксек; $c^1\Sigma_u^-(v=0-10)$, $\tau = 25-50$ сек; $C^3\Delta_u(\Omega=1, v=0-6)$, $\tau = 5-50$ сек; $C^3\Delta_u(\Omega=2, v=6)$, $\tau = 10-100$ сек. Показано, что исследованное излучение молекул O_2 обусловлено рекомбинацией атомов кислорода. Отмечено, что введение CO_2 в область, расположенную за зоной генерации атомов кислорода, существенно увеличивает интенсивность излучения из состояния $c^1\Sigma_u^-$. Последнее объясняет высокую интенсивность излучения $c^1\Sigma_u^-$ в ночном свечении Венеры. Библ. 31.

В. С. Иванов

1978

Q₂) 13 Б135. Образование O_2 ($c^1\Sigma_u^-$, $C^3\Delta_u$, $A^3\Sigma_u^-$) при рекомбинации атомов кислорода. Slanger T. G. Generation of $O_2(c^1\Sigma_u^-$, $C^3\Delta_u$, $A^3\Sigma_u^+$) from oxygen atom recombination. «J. Chem. Phys.», 1978, 69, № 11, 4779—4791 (англ.)

Измерены спектры послесвечения разряда кислорода в гелии в области 4000—8000 Å. Наблюданы известные системы полос $A^3\Sigma_u^+ - X^3\Sigma_g^-$ и $c^1\Sigma_u^- - X^3\Sigma_g^-$, а также новые системы $C^3\Delta_u - a^1\Delta_g$, $C^3\Delta_u - X^3\Sigma_g^-$ и $c^1\Sigma_u^- - a^1\Delta_g$. Для отнесения полос использовалось изотопозамещение по кислороду. Отмечено, что спектр системы $C-a$ является первым в газ. фазе, связанным с переходами на высшие колебательные уровни $v''=3-9$ состояния $a^1\Delta_g$. Проведен анализ колебательной структуры этой системы. Определены след. колебательные постоянные: $\omega_c = 1510,23 \pm 0,34$, $\omega_{exc} = 13,368 \pm 0,12$ см⁻¹. В системе $C-a$ обнаружена лишь спиновая компонента $\Omega=1$ состояния $C^3\Delta_u$, а в системе $C-X$ -компоненты $\Omega=2$. Из полученных данных для $v=0$, лит. данных для $v=5,6$ и известной энергии диссоциации оценены колебатель-

М.Н.

Х.1979/113

ные постоянные для состояния $C^3\Delta_u$: $\omega_c = 803,5 \pm 1,0$,
 $\omega_e x_e = 8,18 \pm 0,13$, $\omega_e y_e = -0,872 \pm 0,006$ см $^{-1}$. Отмечено,
что хорошее согласие с данными для «полос высокого
давления» O₂ указывает на то, что предполагаемый
комплекс O₄ является очень слабо связанным и колеба-
тельные уровни O₂ в нем практически не возмущены.
Оценены радиац. времена жизни для трех верхних со-
стояний O₂: 250—160 мсек для A $^3\Sigma_u^+$ ($v=0-6$),
5—50 сек для C $^3\Delta_u$ ($\Omega=1$, $v=0-6$), и 25—50 сек для
c $^1\Sigma_u^-$ ($v=0-10$). Аналогичные спектры наблюдаются
также в послесвечении разряда N₂—He, титрованном
NO. Сделан вывод, что источником возбуждения моле-
кул O₂ является рекомбинация атомов кислорода.

С. Б. Осин

ибн

1978

• O₂

44, n.

90: 63884v Generation of molecular oxygen(c $^1\Sigma_u^-$, C $^3\Delta_u$, A $^3\Sigma_u^+$) from oxygen atom recombination. Slanger, T. G. (Mol. Phys. Lab., SRI Int., Menlo Park, Calif.). *J. Chem. Phys.* 1978, 69(11), 4779-91 (Eng). The spectrum produced in the afterglow of an O₂-He discharge was studied between 4000 and 8000 Å. Until recently, only the O₂(A $^3\Sigma_u^+ \rightarrow X^+\Sigma_g^-$) emission bands were obsd. in this region. The work of G. M. Lawrence et al. (1977) established that, under the appropriate conditions, the O₂(c $^1\Sigma_u^- \rightarrow X^+\Sigma_g^-$) system could also be obsd. Their results were not duplicated and in addn. three O₂ band systems not previously seen in gas phase lab. spectra were discovered. These systems are C $^3\Delta_u \rightarrow a^1\Delta_g$, C $^3\Delta_u \rightarrow X^3\Sigma_g^-$, and c $^1\Sigma_u^- \rightarrow a_1^1\Delta_g$ and were pos. identified by isotopic substitution expts. The O-ν" progression in the C-a system is the 1st gas phase spectrum involving a large range of the higher vibrational levels in the a $^1\Delta_g$ state. Anal. of the system establishes a new set of a $^1\Delta_g$ vibrational consts.: $\omega_c = 1510.23 \pm 0.34 \text{ cm}^{-1}$, and $\omega_c x_e = 13.368 \pm 0.12 \text{ cm}^{-1}$. The C-a system involves only the $\Omega = 1$ spin

C.A. 1978 GONZ

component of the $C^3\Delta_u$ state. The $C^3\Delta_u \rightarrow X^3\Sigma_g^-$ system, on the other hand, radiates mainly through the $\Omega = 2$ component. By combining the present data on the $C^3\Delta_u$ ($v = 0$) level, the absorption measurements of Herzberg on the $v = 5$ and $v = 6$ levels, the known dissociation energy, and the high-pressure bands measured, vibrational constants were established for the $C^3\Delta_u$ state. These are $\omega_c = 803.5 \pm 1.0 \text{ cm}^{-1}$; $\omega_{cXe} = 8.18 \pm 0.13 \text{ cm}^{-1}$, and $\omega_{cY_e} = -0.872 \pm 0.006 \text{ cm}^{-1}$. From data existing in the literature, combined where necessary with the present measurements, radiative lifetimes for the 3O_2 metastable states that were observed are estd. From the band strength data, one may calc. $\tau = 250-160 \text{ ms}$ for $A^3\Sigma_u^+(v = 0-6)$, and deduce an est. of $\tau = 25-50 \text{ s}$ for $c^1\Sigma_u^-(v = 0-10)$. For $C^3\Delta_u(\Omega = 1, v = 0-6)$, the estd. lifetime is 5-50 s, and for $C^3\Delta_u(\Omega = 2, v = 6)$, the estd. lifetime is 10-100 s. The O_2 spectra were produced not only in $\text{O}_2\text{-He}$ afterglows, but also in NO-titrated $\text{N}_2\text{-He}$ afterglows (i.e., in an O_2 -free environment), proving that the source of excited O_2 mols. is O atom recombination. The results are pertinent to O_2 emissions in the terrestrial and Venusian air glows, and to combustion processes.

1978

O₂

C¹
Δ - a¹Δ

Terrestrial
Beregov

90; 31741e The O₂(C³Δ_u → a¹Δ_g) bands in the nightglow spectrum of Venus. Slanger, T. G.; Black, G. (Mol. Phys. Lab., SRI Int., Menlo Park, Calif.). *Geophys. Res. Lett.*, 1978, 5(11), 947-8 (Eng). The 4000-7000 Å nightglow spectrum of Venus, as reported by the Russian Venera 9 and 10 probes, is composed primarily of the O-v" progression of the O₂(c¹Σ_u⁻ → X¹Σ_g⁺) system. Recent observations in a lab. afterglow system established other O₂ emissions in the same spectral region. Based on this work, closer scrutiny of the Venera spectrum reveals the presence of the C³Δ_u → a¹Δ_g O-v" progression, known as the Chamberlain system in the terrestrial airglow, and thus the C³Δ_u → a¹Δ_g bands are the 1st identified O₂ emission that is common to both Earth and Venus.

C.A. 1979, 20, N4

1978

O₂
 16 Б146. Полосы испускания метастабильного кислорода. S l a n g e r T. G. Metastable Oxygen Emission Bands. «Science», 1978, 202, № 4369, 751—753 (англ.)

М.Н.

Рассматриваются переходы между различными электронными состояниями молекулы кислорода ($A^3\Sigma_u^+$, $C^3\Delta_u$, $c^1\Sigma_u^-$, b^1g^+ , $a^1\Delta_g^-$, $X^3\Sigma_g^-$), имеющими общий диссоциац. предел $O(^3P) + O(^3P)$. Измерены спектры послесвечения (4000—8000 Å) продуктов, образующихся при прохождении через МВ-разряд смесей, содержащих гелий (газ-носитель), кислород ($^{16,18}O_2$), CO₂; азот, окись азота. Идентифицированы полосы, принадлежащие пяти из шести переходов между верхними (A , C , c) и нижними (X , a) состояниями молекулы O₂ ($c \rightarrow A \rightarrow X$, $C \rightarrow a$), а также полосы перехода $b \rightarrow X$. С целью выяснения природы возникновения спектра испускания исследовано влияние состава исходных смесей на интенсивность полос различных систем. Установлено, что добавление CO₂ усиливает интенсивность полос системы $C-X$ и одновременно тушит испускание NO₂ (рекомбинация атомов кислорода и молекул NO, образующихся за-

Х.1979, № 16

счет следов азота в газе-носителе). При замене гелия и кислорода на азот или азот-argonовую смесь интенсивность полос $c-X$ перехода меняется мало и, следовательно, состояние $c^1\Sigma_u$ образуется лишь при рекомбинации атомов кислорода без участия молекул O_2 и CO_2 . На основании наличия только спиновых компонент $\Lambda=1$ в полосах системы $C-a$, предполагают, что имеет место смешение в результате спин-орбитального взаимодействия $^3\Delta_{1u}$ компоненты с расположенным вблизи состоянием $^1\Pi_{1u}$. Система $C-a$ представляет собой прогрессию впервые наблюдаемых полос $v'=0 \rightarrow v'=3-9$ (4553, 4863, 5212, 5606:6055, 6572, 7172 Å). Рассчитанные путем интерполяции наборов факторов Франка — Кондона для переходов $A-a$ и $c-a$ относят интенсивности полос $C-a$ -перехода удовлетворительно согласуются с экспериментальными.

В. М. Ковба

кду
лы

1978

Р.2

21 Б1342. Хемилюминесцентные матричные реакции атомов кислорода, серы и $O(^3P) + H_2S$. Smardzewski Richard R. Chemiluminescent matrix reactions of atomic oxygen, sulfur, and $O(^3P) + H_2S$. «J. Chem. Phys.», 1978, 68, № 6, 2878—2888 (англ.)

аннот.

16 с. ч.

Замороженные смеси инертного газа X (X=Ar, Kr, Xe) с O_3 , $H_2S + O_2$ и $O_3 + H_2S$ при т-ре 8 К облучали светом Hg-лампы низкого давл. (в нек-рых опытах — светом кварцевой Hg-лампы высокого давления). Послед. нагрев облученных образцов в диапазоне 8—20 К приводил к возникновению интенсивной хемилюминесценции (ХЛ) в видимой спектральной области. Использование оптич. многоканальной техники позволяло производить одновременную регистрацию многих линий в широком спектральном диапазоне непосредственно в процессе матричной диффузии активных частиц, созданных фотолизом. Для каждой спектральной системы наблюдали большие колебательные последовательности. Найдено, что при рекомбинации атомов $O(^3P)$ в Ar- и Kr-матрицах при т-ре ~ 17 К возникает интенсивная система полос $O_2(A^3\Sigma_u^+ \rightarrow X^3\Sigma_g^-)$ (или же система по-

2-1978, № 21

лос $O_2(C^3\Delta_1 \rightarrow X^1\Sigma_g^-)$. Она отсутствует в Хе-матрице, что объясняется быстрой диффузией и рекомбинацией атомов $O(^3P)$ еще до процесса нагревания матрицы. Аналогичные матричные эксперименты с атомами S , создаваемыми при фотолизе H_2S , давали интенсивную флуоресценцию $S_2(B^2\Sigma_u^- \rightarrow X^3\Sigma_g^-)$ во всех трех матрицах. В Аг- и Кг-матрицах наблюдались большие структурированные колебательные последовательности ($0, v''$), а в Хе-матрице — широкая практически бесструктурная полоса испускания в области 365—532 нм. Предположено, что уширение полосы обусловлено флуоресценцией из колебательно нерелаксированных состояний и (или) образованием вандерваальсов комплекса $S_2^*—Xe$. В присутствии следов O_2 в области 390—520 нм обнаруживается спектр фосфоресценции SO_2 ($a^3B_1 \rightarrow X^1A_1$), интенсивность к-рого на неск. порядков выше интенсивности спектра флуоресценции S_2 . Спектр обнаруживает интенсивные колебательные последовательности типа $a(0, 0, 0) \rightarrow X(v_1'', v_2'', 0)$. Предложено, что $SO_2(a^3B_1)$ образуется в результате рекомбинации в матричной клетке ($O + SO$) продуктов р-ции $S(^3P) + O_2$. Контролируемое нагревание после фотолиза Аг-матриц, содержащих O_3 и H_2S , дает спектр фосфоресценции SO_2 и две полосы испускания меньшей интенсивности в области 520—675 нм с колебательными расщеплениями $\sim 1040 \text{ см}^{-1}$. Предложено, что $SO_2(a^3B_1)$ в этой матрице возникает в р-ции атомов O с SO и (или) HSO -осколками, образующимися в р-ции $O + H_2S \rightarrow [H_2SO] \rightarrow HSO + H$ (или $H_2 + SO$). Малоинтенсивные полосы испускания могут быть обусловлены возбужденными частицами HSO^* , H_2SO^* или нек-рым излучательным состоянием SO .

В. Е. Скурат

192

10Д714 10Д714 10Д714

10 Д714. Реакции атомов O, S и O(³P) с H₂S в матрицах, сопровождающиеся хемилюминесценцией.
Smardzewski Richard R. Chemiluminescent matrix reactions of atomic oxygen, sulfur, and O(³P) + H₂S. «J. Chem. Phys.», 1978, 68, № 6, 2878—2888 (англ.)

В области 200—650 нм получены спектры хемилюминесценции, сопровождающие рекомбинацию атомов S, O и O(³P) в матрицах Ar, Kr и Xe при т-рах 8—20° К. Спектры получены при нагревании образцов, содержащих O₃, H₂S и смесь (O₂+H₂S) с типичной относит. конц-ией 0,01, после предварительного облучения светом Hg-лампы. Подробно обсуждены процессы, связанные с диффузией атомов S и O — продуктов УФ-фотолиза. Большинство спектров имеет хорошо развитую колебательную структуру, соответствующую переходам $^3\Sigma_u^- \rightarrow ^3\Sigma_g^-$ (O₂), $^3\Sigma_u^- \rightarrow ^3\Sigma_g^-$ (S₂). Отсутствие такой структуры в спектре S₂ в Xe объяснено наличием флуоресценции без колебательной релаксации и образованием ван-дер-ваальсовских комплексов S₂* — Xe. Зарегистрирована эмиссия, приписанная переходам $^3B_1 \rightarrow ^1A_1$ (SO₂) при исследовании смеси H₂S+O₂ в Ar, Kr и Xe. Проведена идентификация полос спектров; обсуждены процессы, приводящие к образованию возбужденных частиц различных типов. Библ. 66.

O₂

S₂

S₂

спектр
хемилюм.

(+2) 17

ср, 1943, N/0

1978

 O_2 SO_2

check

Kellertown.

Laramie.

(f1)

C.A., 1978, 88 vdo

88: 143660t Chemiluminescent matrix reactions. Smardzewski, Richard E. (Chem. Div., Nav. Res. Lab., Washington, D. C.). *Ber. Bunsenges. Phys. Chem.* 1978, 82(1), 108-9 (Eng). Optical multichannel technique were used to analyze the visible chemiluminescence generated by diffusion-controlled warmup ($\Delta \rightarrow 20$ K) of sep. UV photolyzed inert gas matrixes contg. O_3 , H_2S , $H_2S + O_2$, and $O_3 + H_2S$. Emission spectra of $O_2 (A \rightarrow X)$, $S_2 (B \rightarrow X)$, $SO_2 (a \rightarrow X)$, and $SO_2 (a \rightarrow X)$, resp., were recorded at various warmup temps. with a modified 0.3-m monochromometer which incorporated a low dispersion grating (147.5 grooves/ μm) blazed at 500 nm.

O₂

osmucci 6686

1978

Spiridonov, V.P., et al

all.R.

Chem. Phys. Lett. 1978,
56(2), 343-6

coll. O₂ - III

O₂

Summer 6529

1978

89: 80454b Unrestricted Hartree-Fock description of the ground and the lowest singlet states of the oxygen molecule. Takahashi, Mitsuo; Fukutome, Hideo (Dep. Phys., Kyoto Univ., Kyoto, Japan). *Prog. Theor. Phys.* 1978, 59(6), 1787-801 (Eng). The electronic structures of the triplet ground state $^3\Sigma_g^-$ and the lowest singlet state $^1\Delta_g$ of O₂ with varying interat. distance are studied with the UHF theory. The nature of the triplet Hartree-Fock ground state in the dissociation process changes from the axial spin wave type ($^3\text{ASDW}$) near the equl. distance, first, to an al. spin wave one (^3ASW) and secondly to a trans... spin wave one (^3TSW). In the ^3ASW which emerges from an instability of $^3\text{ASDW}$, localization of orbital angular momentum toward both atoms takes place. In the ^3TSW emerging from an instability of ^3ASW , rotation and concurrent localization of the spin d. vector take place, and it converges to the correct dissociation limit O(3P)+O(3P) consisting of atoms with spin and orbital angular momenta. The ^3TSW contains all the configurations which are essential to obtain the correct dissociation limit.

Rb. dec.
paeter

C.H. 1978, pg. N16

O₂

I Д119. Описание основного и низшего возбужденного состояний молекулы кислорода неограниченным методом Хартри—Фока. Takahashi Mitsuо, Fukutome Hideo. Unrestricted Hartree-Fock description of the ground and the lowest singlet states of oxygen molecule. «Progr. Theor. Phys.», 1978, 59, № 6, 1787—1801 (англ.)

рассчитано

Рассмотрены изменения волн. ф-ций неограниченного метода Хартри — Фока (НХФ) основного $^3\Sigma_g^-$ - и низшего возбужденного $^1\Delta_g$ -состояний молекулы O_2 при увеличении межъядерного расстояния. В ходе процесса диссоциации природа триплетного состояния изменяется дважды, что отражает изменение относит. роли различных корреляционных эффектов. Волн. ф-ция НХФ обеспечивает необходимую локализацию и изменение схем связи орбитального и спинового моментов и позволяет правильно описать диссоциативный предел $O(^3P) + O(^3P)$. Проанализирована структура ф-ций $^3\Sigma_g^-$ и $^1\Delta_g$ с точки зрения вклада различных конфигураций. Полученные результаты, а также аналогичное рассмотрение системы H_3 , показывают, что метод НХФ с обобщенными спин-орбиталями дает хорошее приближение к полной волн. ф-ции КВ для основных состояний систем со сложной структурой электронных корреляций.

В. И. Барановский

φ. 1979, N1

65229

O₂, O₂⁺ (D₀)

XI-6227

1978

Tadieeddine M., Abouaf R., Cosby P.C.,
Heber B.A., Moseley J.T.

J. Chem. Phys., 1978, 69, n^o 2, 710-719 (avec)

Predisociation photofragment
spectroscopy of O₂⁺ quartet states.



Précis, 1979, 451091 10.ii (P)

1978

D₂

Tiernan T.O., et al

Adv. Mass Spectrom.

No 1978, 4A, 136-42



(See NO⁻; III)

1978

O₂
SO

90: 212719z Corrections to the effective orbital g-factor of diatomic ${}^1\Delta$ states. Veseth, L. (Inst. Phys., Univ. Oslo, Oslo, Norway). *Mol. Phys.* 1978, 36(4), 1255-60 (Eng). The orbit-orbit correction to the effective orbital g-factor of the 1st excited ${}^1\Delta$ states of O₂ and SO was calcd. Another correction due to the motion of the nuclear center of mass was also considered. Rotational consts. and g-factors were detd. by a weighted nonlinear least squares fit of both zero-field and Zeeman expts.

Specular
refl.

(1)

☒

P.A. 1049, 90 N 26

Q₂

1948

1 Б48. Неэмпирические и псевдопотенциальные расчеты некоторых молекул, содержащих атомы второго, третьего и четвертого периодов. Сравнительное исследование. Wahlgren Ulf. Ab-initio and pseudo-potential calculations on some first, second and third row molecules. A comparative study. «Chem. Phys.», 1978, 32, 215—221 (англ.)

Проведены расчеты энергии и равновесных геометрических конфигураций молекул CO , O_2 , SO_2 , NiO , NiCH_2 , $\text{Ni}(\text{CH}_3)_2$, а также атомов Ni и Mn . Сопоставлены между собой результаты неэмпирических расчетов с учетом всех электронов в системе и расчетов в приближении псевдопотенциала. Использованы выражения для псевдопотенциалов в форме Бонифачича — Хузинаги, но с другой параметризацией. Базисные наборы для расчетов с псевдопотенциалами составлены из орбиталей $2s$ - и $2p$ -типа для атомов второго и третьего периодов, $3s$ - и $2d$ -типа для металлов и $4s$ - и $2d$ -типа для никеля. На основе полученных результатов сформулированы следующие выводы. Значения энергии и геометрических параметров оказываются значительно чувствительнее к параметрам псевдопотенциала в случае молекул, содержащих атомы углерода, чем в случае молекул, содержащих

правильно
записано
126, лсч.
правильно

(+3)

20.1949, N1

жащих атомы кислорода или серы. Для атомов третьего периода базисные наборы должны содержать более двух функций на каждую электронную оболочку. При расчетах св-в металлов необходимо пользоваться небольшими базисными наборами, чтобы избежать вариац. коллапса для состояний с низкой симметрией.

А. В. Немухин

рдин

O₂

1973
9 Б105. Дифференциальные и интегральные сечения возбуждения O₂ электронным ударом. II. Оптически запрещенные переходы из основного состояния. Waki K. Differential and integral cross sections for the elec. impact excitation of O₂. II. Optically forbidden transitions from the ground state. «J. Phys.», 1978, B11, № 2, 3931—3938 (англ.)

спектр
возбуждения

Изменены спектры возбуждения O₂ электронным ударом в области рассеивающих углов 10—130° и в области энергетич. потерь электронов 0—7,1 эв. Определены дифференциальные и интегральные сечения возбуждения состояний $a^1\Delta_g$, $b^1\Sigma_g^+$ и $A^3\Sigma_u^+ + C^3\Delta_u + c^1\Sigma_u^-$ (в области энергетич. потерь 4,5—7,1 эв) при энергиях удара электронов $E_0 = 20—200$, $20—150$ и $20—500$ эв соотв. Проведен анализ угловой и энергетич. зависимости дифференциальных сечений и количественно рассмотрена зависимость интегральных сечений от энергии. Иличие оптически запрещенных переходов $a^1\Delta_g - X^3\Sigma_g^-$ и $b^1\Sigma_g^+ - X^3\Sigma_g^-$ объясняют механизмами электронного обмена. То же объяснение предложено для σ_{ασ} в области $E_0 < 100$ эв. В области $E_0 > 100$ эв преимущественный вклад в σ дают разрешенные переходы на состоя-

2.1979 № 9

ния $A^3\Sigma_u^+$ и $C^3\Delta_u$ и осуществляется прямой механизм рассеяния. Отмечено, что зависимость полученных интегральных сечений от E_0 качественно согласуется с теор. предсказаниями. Ч. I см. пред. реферат. С. Б. Осин.

спе
са

1979

O₂

Aeschliman D.P.
et al.

Koedem.
Blawam.
creutz

J. Quant. Spectrosc.
and Radiat. Transfer.
1979, 21(4), 293 - 304



(cu. N₂; ¹¹¹)

O₂

1979

Berkowitz ♀.

фотоизд.

U.S. Dep. Commer.

Nat. Bur. Stand. Spec.

Рисл., 1979, N 561/1,
757-69



All Sz ; III

1949

O₂

2 Б247. Экспериментальное исследование тонкой структуры вращательного спектра кислорода. Bergard M., Lallemand P. Etude experimentale de la structure fine du spectre Raman de rotation de l'oxygène. «Opt. Commun.», 1979, 30, № 2, 175—180 (франц. рез. англ.)

С разрешением 0.2 см^{-1} изучена ТС-области полос O (3)—S (9) вращательного спектра КР ($\lambda = 5145 \text{ Å}$) газообразного кислорода при давл. 1—15 атм и $T = 290 \text{ }^{\circ}\text{K}$. Положение и интенсивность линий спектра хорошо согласуется с теор. оценками Альтмана с соавт. («Z. Naturforsch.», 1972, 270, 56). Исследовано уширение давлением триплета S (1). Установлено, что даже при сильном перекрывании компонент триплета ($p \sim 15 \text{ атм}$) его можно представить в виде трех перекрывающихся контуров лоренцовской формы; коэф. уширения давл. равен $5.5 \cdot 10^{-2} \text{ см}^{-1}/\text{амага}$. А. В. Бобров

Б. Г. Аксенов.
И. С. Смирнов.

Х 1980. 112

O₂

2 Д391. Экспериментальное исследование тонкой структуры вращательного спектра комбинационного рассеяния кислорода. Etude experimentale de la structure fine du spectre Raman de rotation de l'oxygene. Вегард М., Лильемальд Р. «Opt. Commun.», 1979, 30, № 2, 175—180 (франц.; рез. англ.)

Получены спектры комб. рас. газообразного кислорода при давл. 1—15 атм с разрешением $0,2 \text{ см}^{-1}$ при помещении образца внутрь резонатора лазера Ag^+ . При 1 атм наблюдена тонкая структура всех линий, обусловленная расщеплением вращательных термов из-за взаимодействия вращательного момента молекулы со спиновым моментом основного состояния электронной оболочки, разным нулю. Относит. интенсивности и положения компонент измерены для рэлеевской линии и первых четырех линий ветви S. Для ветви S отмечено удовлетворительное согласие с предсказанием теории (Altmann K. et al. «Z. Naturforsch.», 1972, 27a, 56). Исследовано влияние давления на структуру триплета, отвечающего линии S(1). При повышении т-ры компоненты сильно перекрываются, общий контур остается суммой трех дисперсионных кривых, не обнаруживая тенденции к сужению. Библ. 20.

Спектр R, P

Ф. 1680. N2

М. Тонков

Oz.

Lissotriton 9032] 1979

Boca R.

Blásek,
paček Collect. Czech. Chorus.

Commun., 1979, 44
3041-41

O₂

3 Д446. Высокотемпературные исследования молекул кислорода в синглетных состояниях O₂(¹Σ_g⁺) и O₂(¹Δ_g) в ударной трубе. High temperature studies of singlet excited oxygen, O₂(¹Σ_g⁺) and O₂(¹Δ_g), with a combined discharge flow/shock tube method. Boggell P., Boggell Patricia M., Pedley M. D., Grant K. R. «Proc. Roy. Soc. London», 1979, A367, № 1730, 395—410 (англ.)

С помощью ударной трубы исследованы реакции с участием возбужденных в синглетные состояния молекул O₂(¹Σ_g⁺) и O₂(¹Δ_g) при т-рах 650—1650° К. Возбуждение молекул O₂ осуществлялось в потоке кислорода перед напуском в ударную трубу с помощью СВЧ-разряда. Контроль за изменениями конц-ии возбужденных молекул O₂ в зоне ударной волны осуществлялся по интенсивности их флуоресценции в областях 762 и 634 нм. С погрешностью не хуже 20% по эксперим. данным построены т-рные зависимости констант скорости реакций ассоциации (k_p) и тушения (k_q^M), где M=O₂, N₂: 2O₂(¹Δ_g) → O₂(¹Σ_g⁺) + O₂(³Σ_g⁻) и O₂(¹Σ_g⁺) + M → O₂(³Σ_g⁻ или ¹Δ_g) + M. Обсуждены механизмы, определяющие ход этих реакций. Библ. 30.

М. Т.

Ф. 1980. № 3

1679

O₂

19 Б70. Расчет колебательных волновых функций и
энергий методом КВ с учетом большого числа специаль-
но отобранных конфигураций. Виенкет Robert J.,
Рейгеримhoff Sigrid D., Региц Miljenko.
Calculation of vibrational wavefunctions and energies
using MRD-CI techniques. «Excited States Quantum
Chem. Proc. NATO Adv. Study Inst., Kos, 1978», Dord-
recht e. a., 1979, 63—77 (англ.)

Статья обзорного характера. Рассмотрены результаты
неэмпирич. расчетов методом ССП МО ЛКАО в больших
гауссовых базисах с учетом взаимодействия очень боль-
шого числа специально отобранных моно-, дважды и
трижды возбужденных конфигураций колебательной
структуре низких электронных переходов в молекулах
O₂, HSO, SOH, CH₂, CH₂⁻, HCN, DCN, N₂H₂, N₂D₂ и
колебательной структуры в фотоэлектронном спектре
этана. Изложена методика расчета. Расчет сводится к
оптимизации геометрии молекулы в основном и возбуж-
денном состояниях, вычислению колебательных частот и
форм колебаний в основном состоянии, разложению
изменения геометрии молекулы при возбуждении по

(4-8) 11

Х-1979, N19

формам нормальных колебаний и нахождению интегралов перекрывания смешанных колебательных функций одномерного осциллятора. В этой схеме не учитывается смешивание нормальных координат при возбуждении молекулы. Проанализировано согласие расчетов с экспериментом. В целом результаты расчетов хорошо воспроизводят эксперим. спектры и оказываются весьма полезными при их интерпретации, однако в отдельных случаях встречаются некоторые трудности.

К. Я. Бурштейн

зам.
чиб.

1579

O₂

[HSO, SOH]

CH₂

CH₂⁻

и др.

11 Д201. Расчеты колебательных волновых функций и энергий с использованием техники МСФ—КВ. Buerker Robert J., Peuerlhoff Sigrid D., Perić Miljenko. Calculation of vibrational wavefunctions and energies using MRD—CI techniques. «Excited States Quantum Chem. Proc. NATO Adv. Study Inst., Kos, 1978», Dordrecht e. a., 1979, 63—77 (англ.)

Дан обзор выполненных авторами в последние годы

расчетов методом КВ колебательной структуры электронных переходов. Рассмотрены соединения: O₂, HSO, SOH, CH₂, CH₂⁻, HCN, DCN, N₂H₂, N₂D₂. О. В. Сизова

(5) 17

Ф.1049, л.11

1979

O₂

Cacciatore M., et al.

"ISPL-4. 4th Int. Symp. Plasma
Chem: Top. Meet. Interact. Low
Press. Plasmas Solid Surfaces,
Round Table Therm. Plasma
Process. Zurich 1979. Conf.
Proc. Vol. 2." Zurich, S. A., 556-62.

cut. H₂ - \bar{m}

1979

 O_2

5 Б33) Теоретическое изучение предиссоциации двух-
атомных молекул. Состояние $B'{}^3\Sigma_u^-$ молекулы O_2 .
Cimiraglia Renzo, Persico Maurizio, Tomasi Jacopo. The theoretical study of predissociation
in diatomics. The case of the $O_2 B'{}^3\Sigma_u^-$ state. «Chem.
Phys.», 1979, 42, № 3, 297—303 (англ.)

*и предиссо-
циация
с, потому
как все*

В рамках простой теор. модели изучена предиссоциация возбужденного состояния $B'{}^3\Sigma_u^-$ молекулы кислорода. Скорость распада рассчитана методом, предложенным авторами ранее. Для расчетов сдвигов энергии, связанных с взаимодействием состояний дискретного и непрерывного спектров, использован метод Фано. Сделан вывод, что основную роль в предиссоциации состояния $B'{}^3\Sigma_u^-$ молекулы O_2 играет неадиабатич. переход в состояние $B^3\Sigma_u^-$. Рассчитанные значения времени жизни и ширины рассматриваемого состояния хорошо объясняют наблюдаемое сглаживание вращательной структуры полос. Объяснено сильное влияние изотопного эффекта на скорость распада. Отмечено, что скорость распада сильно зависит от миним. расстояния между потенциальными кривыми соотв-щих состояний.

Б. Б. Павлов-Веревкин

Х 1980.15

1979

 O_2

1 Д112. Теоретическое исследование предиссоциации двухатомных молекул. Случай состояния $B'{}^3\Sigma_u^-$ молекулы O_2 . The theoretical study of predissociation in diatomics. The case of the $O_2B'{}^3\Sigma_u^-$ state. Cimiraglia

Renzo, Persico Maurizio, Tomasi Jacopo.
«Chem. Phys.», 1979, 42, № 3, 297—303 (англ.)

зубчатое кол.
Теоретически изучена предиссоциация молекулы O_2 в возбужденном состоянии $B'{}^3\Sigma_u^-$. Использовалась простая трехуровневая модель, в которой учитывалось снятие пересечения диабатич. кривых состояний симметрии ${}^3\Sigma_u^-$ — B (валентного) и B' (ридберговского). Характеристики соответствующих потенц. кривых взяты на основе данных неэмпирич. расчетов. Сделан вывод о том, что предиссоциация состояния B' обусловлена неадиабатич. переходом в состояние B . Рассчитанные времена жизни имеют правильный порядок величины. Отмечена сильная зависимость рассчитанных скоростей распада, энергетич. сдвигов полос и других величин от характеристик электронных состояний (напр., энергетич. интервала между B и B').

В. И. Барановский

9.1980.№1

1979

O₂

91: 165913s The theoretical study of predissociation in diatomics. The case of the diatomic oxygen $B'3\Sigma_u^-$ state. Cimiraglia, Renzo; Persico, Maurizio; Tomasi, Jacopo (Ist. Chim. Fis., Univ. Pisa, I-56100 Pisa, Italy). *Chem. Phys.* 1979, 42(3), 297-303 (Eng). The predissocn. of excited O₂ was studied theor. with the aid of a simple model describing the Rydberg-valence crossing which occurs in the B and $B'3\Sigma_u^-$ states. Calens. of the decay rates were performed by means of a method described previously. The energy shifts caused by the interaction of a discrete state with the dissociative continuum were computed by the Fano method. Isotopic effects and the dependence of decay rates and energy shifts on the min. energy gap between the adiabatic curves were emphasized.

if quecoy

C.A.1979.91.1128

1979

D₂

Chakraborty B.P., et al.

4.11.

J. Chem. Phys., 1979, 70 (6)
3023 - 3026

(see. JLO; ii)

O₂

1970
4 Б130. Разрешение Q-ветви колебательно-вращательного спектра комбинационного рассеяния молекулярного кислорода при прямой регистрации. Caglius W., Lindner H., Palm K., Schröter O. Auflösung des Q-Zweiges im Schwingungs-Rotations-Raman-Spektrum des Sauerstoffmoleküls bei direkter Registrierung. «Exp. Techn. Phys.», 1979, 27, № 3, 289—293 (нем.; рез. англ.)

Исследована структура Q-ветви колебательно-вращательного спектра комбинац. рассеяния молек. кислорода (Ar^+ -лазер, $\lambda_{\text{возб.}} = 488,0 \text{ нм}$, спектральная ширина $\Delta\nu = 0,6 \text{ см}^{-1}$). Возбуждающее излучение лазера модулировалось с частотой 20,4 гц. Приведена схема селективного предусилителя. Сопоставляются условия регистрации и нек-рые технич. характеристики спектральной аппаратуры, к-рая использовалась для разрешения вращательной структуры Q-ветви ранее и в настоящей работе. Полученное значение постоянной колебательно-вращательного взаимодействия $\alpha_e = 0,0159 \pm 0,0002 \text{ см}^{-1}$.

В. М. Ковба

2. 1980. № 4

Q₂

Д356. Разрешение Q-ветви колебательно-вращательного спектра комбинационного рассеяния кислорода при прямой регистрации. Auflösung des Q-Zweiges im Schwingungs-Rotations-Raman-Spektrum des Sauerstoffmoleküls bei direkter Registrierung. C a r i u s W., L i n d - n e g H., P a l m K., S c h r ö t e r O. «Exp. Techn. Phys.», 1979, 27, № 3, 289—293 (нем.; рез. англ.).

1979

M, N.

Изучен колебательно-вращательный спектр комб. рас. ($1546-1558 \text{ см}^{-2}$) Q-ветви ($\Delta J=0$) колебания газообразных молекул Q_2 (I) при давл. 1 атм и возбуждении лазерной линией 488,0 нм мощностью 1,5 вт. Спектральное разрешение установки составляло $0,6 \text{ см}^{-1}$. Определены вращательные константы B_0 и α_e I, равные 1,4378 и $\approx 0,016 \text{ см}^{-1}$ соответственно. Выполнено сопоставление разрешающей способности и чувствительности ряда спектрометров комб. рас. Приведена электронная схема регистрирующей части использованного спектрометра. Предположено, что качество эксперим. установки для регистрации спектров комб. рас. может быть оценено путем регистрации колебательно-вращательных спектров простых молекул по разрешению полос вращательной структуры с наименьшим вращательным квантовым номером. Библ. 13.

Ф.1980.№2

O₂

[Lammer 8544]

1979

De Freest D. J., et al.

paper

published

conference

J. Amer. Chem. Soc.,

1979, 101 (15), 4085-89



(est. H₂, i¹⁰⁰)

O₂ Dunlap B.J. et al ¹⁹⁷⁹

pacrem J. Chem. Phys., 1979, #1

re, do N 12, 4993-99

et. n.

BPP-X1-62419

Cell H₂

III

сентябрь 8924 1979

Q2

8 Б27. Применение метода прямого конфигурационного взаимодействия к основному состоянию молекулы O_2 . Ferguson Ian, Handy Nicholas C. Application of the direct configuration interaction method to the ground state of O_2 . «Theor. chim. acta», 1979, 53, № 4, 345—353 (англ.)

Рассмотрены особенности применения прямого метода конфигурац. взаимодействия к системам с открытыми оболочками. Описаны приемы, позволяющие включить в случае открытых оболочек ранее развитые Русом методы прямого конфигурац. взаимодействия для случая замкнутых оболочек. Расчеты, иллюстрирующие возможности подхода, выполнены в *spd*-базисе сгруппированных гауссовых ф-ций Данинга для основного состояния молекулы кислорода с полным учетом одно- и двукратно-возбужденных конфигураций. Полученные значения молек. постоянных сопоставлены с эксперим. данными и результатами др. авторов. Отмечена эффективность развитого подхода при расчётах молекул с открытыми оболочками.

В. И. Пупышев

ВР-Х/-6.2.3.6

М.Н.

Х. 1980
№ 8

O₂

отмеч 8924

1979

4 Д149. Применение метода прямого конфигурационного взаимодействия к расчету основного состояния молекулы O₂. Application of the direct configuration interaction method to the ground state of O₂. Ferguson Ian, Handy Nicholas C. «Theor. chim. acta», 1979, 53, № 4, 345—353 (англ.)

расчет
основн.
составл.

Исследуется эффективность метода прямого конфи-
гурац. взаимодействия (КВ) для расчета систем с от-
крытыми оболочками. Подробно анализируется структу-
ра и организация составленной авторами программы
для расчетов по методу прямого КВ, обсуждаются ее
возможности и преимущества по сравнению с другими
программами. В качестве системы для опробования
программы выбрана молекула О. Расчеты проводились
в базисе сжатых гауссовых ф-ций с использованием
3415 спин-симметризованных конфигураций. Рассчитана

BP-XI-6236°

Ф. 1980 N 4

потенц. кривая основного состояния молекулы O_2 и характеристики этой кривой. Значение равновесного расстояния составляет 1,214 Å, что находится в хорошем согласии с эксперим. значением 1,207 Å. Несколько худшее согласие в величине гармонич. постоянной ω_e объясняется тем, что при построении волн. ф-ции метода КВ учитывалось лишь ограниченное число типов конфигураций. Отмечается, что при расчетах потенц. кривых методом КВ необходимо использовать более одного исходного детерминанта для построения конфигураций.

А. И. Панин



O₂

commeca 8924

1943

92: 65113h Application of the direct configuration interaction method to the ground state of molecular oxygen. Ferguson, Ian; Handy, Nicholas C. (Chem. Lab., Univ. Cambridge, Cambridge, Engl. CB2 1EW). *Theor. Chim. Acta* 1979, 53(4), 345-53 (Eng). The Direct CI method of B. O Roos (1972) was implemented using the method of R. R. Lucchese and Schaefer (1978), for open shell systems. As in the closed-shell case, the method is very efficient. Results are presented for a part of the potential energy curve of the O₂ $^3\Sigma_g^-$ ground state electronic configuration, together with several properties.

Kb. sick,
pacem
nomines.
Khubair

BB- XI-6236

C.A. 1980, 92, N8

1979

O₂

спектр
спектр 850

Mr. P; спектр

18 Б148. Предиссоциационная ширина линий и осцилляторная сила полос (2-0)-(13-0) системы Шумана—Рунге O₂. Frederick J. E., Hudson R. D. Predissociation linewidths and oscillator strengths for the (2-0) to (13-0) Schumann—Runge bands of O₂. «J. Mol. Spectrosc.», 1979, 74, № 2, 247—258, (англ.)

Путем согласования экспериментального и рассчитанного с применением улучшенной теор. модели спектров поглощения кислорода определены предиссоциационная ширина линий (ΔL) и осцилляторные силы полос (f) для переходов с основного колебательного уровня состояния $X^3\Sigma_g^-$ -O₂ в состоянии $B^3\Sigma_u^+$, v' (система Шумана—Рунге). Приведены значения молекулярных постоянных B , D , λ и γ O₂ ($X^3\Sigma_g^-$, $v''=0$, $B^3\Sigma_g^+$, $v'=0-19$), использованных при расчете спектра. Величины $\lambda(v')$ для $v'=3-8$ найдены путем сглаженной

от 379/3

2.1979, N18

интерполяции между экспериментальными значениями для $v'=0-2$ и $v' \geq 9$. При этом оговорено, что $\lambda(v')$ может и не являться гладкой функцией v' ввиду возмущений в состоянии $B^3\Sigma_u^-$, связанных с отталкивательным состоянием ${}^3\Pi_u$ (точка пересечения потенциальных кривых около $B^3\Sigma_u^-$, $D'=4$). Предполагалось, что индивидуальные линии вращательной структуры имеют фойгтовский профиль. Для полос $v'=(2-13)-v'=0$ приведены значения ΔL и f и области их изменения. Экспериментальные предиссоционные ширины линий при $v' > 5$ удовлетворительно согласуются с расчетными, а для $v' \leq 5$ превышают теоретически предсказываемые. Отмечается тенденция к увеличению ΔL с ростом величины полного углового момента (приведены соотв. данные для полос $v'=(8-13)-v''=0$).

В. М. Ковба

7979

91: 184299n Electronic moment of the $\text{b}^1\text{Y}_{g+}-\text{X}^3\Sigma_g^-$ transition of a system of oxygen bands. Galkin, V. D. (USSR). *Opt. Spektrosk.* 1979, 47(2), 266-71 (Russ). The distribution of intensities of electronic transitions was studied in O_2 by absorption spectra. The integral coeffs. of absorption were obtained for the (0,0), (1,0), (2,0), (3,0), (1,1) bands. The dependence of the electron moment R_e was detd. on internuclear distance r_{ee} . In the range $0.656 \text{ \AA} < r_{ee} < 1.37 \text{ \AA}$ the measured transition moments agree well with calcd.

O₂
D

$(R_e)^2$

Dec 1979

C.A.1979.91.W22

1979

22 Б168. Электронный момент перехода $b_1\Sigma_g^+ - X^3\Sigma_g^-$ системы полос кислорода. Галкин В. Д. «Оптика и спектроскопия», 1979, 47, № 2, 266—271

По спектрам поглощения изучено распределение интенсивности в электронном переходе $b_1\Sigma_g^+ - X^3\Sigma_g^-$ кислорода. Получены интегральные коэф. поглощения полос $(0, 0), (1, 0), (2, 0), (3, 0), (1, 1)$. Определена зависимость электронного момента перехода R_b от ядерного расстояния $r_{v'v}$. В области $0,656 \text{ \AA} < r_{v'v} < 1,37 \text{ \AA}$ изменение момента перехода хорошо представляется выражением $|R_b(r_{v'v})|^2 = |R_b(r_{00})|^2 \cdot [1 + 0,915(r_{v'v} - r_{00})]$.

Резюме

Синтезированные
спектры
исследований —

Х 1979, № 22

D₂

B9-XI-6332

1979

Гусев Г.А. 024.

(3)
рд.смржн.

Н.С. смиружн. холода 1979,
20, 115, 471-80



coll. F₂ - III

1979

O₂

8 Б153. Поглощение в состояние ${}^3\Pi_u$ молекулярного кислорода. Guberman S. L., Dalgarno A.

Absorption into the ${}^3\Pi_u$ state of molecular oxygen.
«J. Geophys. Res.», 1979, A 84, № 8, 4437—4440 (англ.)

Проведены точные квантовомех. расчеты (КВ) ди-
польного момента перехода $X^3\Sigma_g^- - {}^3\Pi_u$ молек. кисло-
рода, величины сечения поглощения, соотв-щего этому

переходу (УФ- и видимые УФ-области спектра), и по-
тенциала взаимодействия для состояния ${}^3\Pi_u$ O₂. Ре-
зультаты расчета показывают, что переход в состояние
 ${}^3\Pi_u$ не вносит значительного вклада в непрозрачность
атмосферы. Установлено также, что излучательная ас-
социация атомов кислорода, связанная с переходом из
состояния ${}^3\Pi_u$, не имеет существенного значения как
источник ИК-послесвечения.

B. M. Kovba

X. 1980 № 8

O₂

1979

nomes
refusee

92: 116909g Potential curves for dissociative recombination of molecular oxygen(1+). Guberman, Steven L. (Air Force Geophys. Lab., LKB, Hanscom Air Force Base, MA 01731 USA). *Int. J. Quantum Chem., Quantum Chem. Symp.* 1979, 13, 531-40 (Eng). Extensive MC-SCF and CI calcns. are reported for the excited diabatic potential curves of O₂, providing routes for the dissociative recombination of O₂⁺ with an electron. States important for dissociation of the lowest 5 vibrational levels of O₂⁺ at low electron energies are described. The adequacy of ground-state orbitals for excited-state calcns. is assessed.

C.A. 1980, 92 n 14

O₂

риммиси 7727

1979

16 Б212. Влияние сателлитов *Q*-ветвей на значения температуры, рассчитанные по интенсивностям в колебательном спектре комбинационного рассеяния кислорода. Hill R. A. Effect of satellite *Q*-branches on temperatures computed from oxygen vibrational raman intensities. «J. Quant. Spectrosc. and Radiat. Transfer», 1979, 21, № 3, 221—226 (англ.)

Показано, что расщепление основного состояния ${}^3\Sigma_g^-$ кислорода из-за спин-спинового и спин-вращательного взаимодействий, приводящее к появлению сателлитов в чисто вращательном спектре и сателлитов *Q*-ветвей колебательно-вращательного спектра, может приводить к заметным ошибкам при определении т-ры по результатам анализа распределения интенсивностей в *Q*-ветвях основной колебательной полосы и «горячих» полос. Так, в области т-р 500—2000 К ошибки могут достигать 0,5—2,0% (оценки проводились для случая *b* по Гунду с учетом чисто анизотропного рассеяния). Дополнительные ошибки возникают также из-за вклада изотропного рассеяния ($\rho_{O_2}=0,047$, $\rho_{N_2}=0,022$) и переналожения нек-рых линий *Q*-ветви с компонентами *Q*-ветви.

А. В. Бобров

*Колебание.
Спиновый
K. P.*

2.1979, N16

1979

O₂

5 Д150. Методы теории твердого тела для электронной структуры молекул. Самосогласованный псевдопотенциальный расчет для O₂. A solid state approach to the electronic structure of molecules: self-consistent pseudopotential calculation of O₂. Kegler G. P., Zunger Alex, Cohen Marvin L., Schlüter M. «Solid State Commun.», 1979, 32, № 4, 309—312 (англ.)

Собственные энергии электронных состояний молекулы O₂ рассчитаны с помощью самосогласованного псевдопотенциального метода. Основная идея метода заключается в решении ур-ния Шрёдингера для валентных электронов во внешнем нелокальном псевдопотенциале, описывающем их взаимодействие с электронами остова. Метод псевдопотенциала значительно проще обычного хартри-фоковского расчета. Для нахождения одноэлектронных собств. энергий и волн. ф-ций используется техника расчетов в теории твердого тела. Для этого молекулы помещаются в периодич. решетку с периодом настолько большим, чтобы взаимодействием молекул

засечка

Ф. 1980 № 5

можно было пренебречь. Волны ф-ций валентных орбиталей находятся самосогласованно, используя разложение их по базису, содержащему плоские волны и локализованные на атомах гауссовые орбитали. Использование смешанного базиса позволяет получить хорошие результаты для молекулярных волн. ф-ций с одной *s*-и одной *p*-локализованной орбиталью для каждого атома плюс около 180 плоских волн. Результаты расчета собств. значений хорошо согласуются с результатами полного хартри-фоковского расчета. Распределение электронной плотности, рассчитанное описанным методом, согласуется с хартри-фоковским в области вне остова. Отмечается, что предложенный метод может быть успешно применен для расчета более сложных молекул, которые трудно рассчитывать стандартными методами.

Н. М. К.

O₂

1979

Kimura K. et al

cerium
garnet

J. Electron Spectrosc.
and Relat. Phenom.,
1979, 15, 269-279.

(exc. Co; III)

D₂

Lomnick 8459 | 1979

Kitaura K., et al.

M.N

Chem. Phys. Lett.,
1979, 65 (2), 206-211

O_2

ommuc 8480

1979

Konowalow D. D., et al.

Chem. Phys. Lett. 1979, 65,
N3, 494-99.

распр
зработ
доменов
лит. публ.
редакт.

corr. $B_2 - \bar{H}$

O₂

1979

Кондратенко Г. В. и др.

кв. исх.
расчет

Рл. структурн. химии,
1979, 20, № 6, 963-968.



(есч. №; III)

1979

Q₂

Lorenz et al.

pacuum
normeus. no -
бескислородн
запасов

Z. phys. Chem. (DDR),
1979, 260, N5, 881-9.

cur. Hg - III

1979

 O_2

1 Б113. Возбуждаемая лазером фотодиссоциация O_2^+ . McGilvery D. C., Moggison J. D., Smith D. L. Laser induced photodissociation of O_2^+ . «J. Chem. Phys.», 1979, 70, № 10, 4761—4768 (англ.)

Изучены фотодиссоциац. спектры иона O_2^+ в области 1,7—2,6 эв с использованием тройного квадрупольного масс-спектрометра и перестраиваемого лазера на красителе, накачиваемого импульсной лампой. Спектры регистрировались при различных энергиях ионизирующих электронов в области 16,5—70 эв. Детально изучена тонкая структура полос 1,80, 1,90, 2,00, 2,12, 2,25, 2,38, 2,50, 2,60 эв и проведено отнесение полос к колебательным переходам между состояниями $\bar{a}^4\Pi_u$, $\bar{b}^4\Sigma_g^-$ и $\bar{f}^4\Pi_g$. Показано, что как прямая диссоциация (D), так и преддиссоциация (пD) возникают при возбуждении из состояния $\bar{a}^4\Pi_u$. D осуществляется при переходах из состояния $\bar{a}^4\Pi_u$ на отталкивательную часть состояния $\bar{f}^4\Pi_g$ и проявляется для ряда переходов, приходящихся на узкую энергетич. область (менее 0,2 эв выше дис-

Фотодиссоциация

2. 1980. № 1

социац. предела). Из контура полосы, связанной с D⁺, оценено колебательное распределение для состояния $\bar{a}^4\Pi_u$. Сделан вывод, что, в основном, фотодиссоциации переходы осуществляются с уровней $v=0-8$ состояния $\bar{a}^4\Pi_u$. Отмечено, что ни вращательная ПД состояния $\bar{f}^4\Pi_g$, ни электронная ПД состояния $\bar{b}^4\Sigma_g^-$ по отдельности не могут объяснить всех особенностей наблюденных эффектов. Предположено, что ПД осуществляется посредством безызлучательного перехода из состояния $\bar{b}^4\Sigma_g^-$ через промежуточное состояние $\bar{f}^4\Pi_g$. Полученные результаты сравнены с литературными и обсуждены имеющиеся разногласия.

С. Б. Осин

вс

θ_2 Lomnicki 8154 | 1979

Mingelgrün U., et al

(neu)

J. Chem. Phys., 1979,
70(8), 3828-39

D₂

Lammeea 9746)

1979

Mehandru S.P., et al

paceti Proc. Indian Nat. Sci.
Gel. chega Acad., 1979, 445, n 5,
367-371.



an Li₂i⁻

1979

D_2

Müller J; et al.

2-октадиен
молекул

J.

Chem. Phys., 1979,
38 (3), 349-59.

(если N_2 ; III)

O₂ (T₂₂) DM. 8872

1979

Nicol M., Hirsch K.R., ^{BK XI} - 6233

Holzapfel W.B.

Chem. Phys. Lett., 1979, 68, N1, 49-52/OKB

Oxygen phase equilibria near 298 K

DOI Num., 1980

85901

T, P

O₂

Commenc 8313 | 1949

Noor Mohammad S.

process
verified.

"Physics," 1949, Vol. 96, N^o 3,
410 - 21.

Oct. 22 - 111

O₂

Osawada 8901

1979

Ohwada K.

C.R. NO-CF

Spectrochim. acta,
1979, A35, 1353-57.

O₂
HCN

6 Д171. Вычисление волновых функций и частот для колебаний с большой амплитудой. Сравнение различных методов с использованием неэмпирических потенциальных кривых, полученных методом конфигурационного взаимодействия. Calculation of wavefunctions and frequencies for noninfinite vibrations. Comparison of various methods using ab initio CI potential curves. Реги́с Милженко, Рунай Ра́льф, Роме́льт Йоахим, Ру́герихофф Сигрид Д., Вуенке́р Роберт Ж. «J. Mol. Spectrosc.», 1979, 78, № 2, 309—338 (англ.)

Неэмпирический метод конфигурационного взаимодействия в сочетании с вариац. методом и численным методом интегрирования использован для построения ф-ций потенц. энергии низколежащих электронных состояний молекул O_2 и HCN . Полученные потенц. ф-ции использованы при численном расчете волн. ф-ций и энергии колебательных уровней этих молекул. Вычислены также факторы Франка—Кондона для электронно-колебательных переходов. Результаты расчетов вариац. методом и методом численного интегрирования согласуются между собой.

М. Р. Алиев

1979
Октябрь 89/13

(+)

☒

9 1980 № 6

O₂ 12 Б137. Механизм колебательной релаксации в твердых телах. Многофононная релаксация $O_2(c'\Sigma_u^-)$ в Ar, Kr и смешанной Ar-Kr матрицах. Rossetti R., Grus L. E. The mechanism of vibrational relaxation in solids: Multiphonon relaxation of $O_2(c'\Sigma_u^-)$ in Ar, Kr, and mixed Ar-Kr matrices. «J. Chem. Phys.», 1979, 71, № 10, 3963—3970 (англ.)

*Спектр
испускаем*

Измерены с временным разрешением спектры испускания молекул $O_2(^{16,18}O)$ в Ar, Kr и Ar-Kr-матрицах, возбуждаемые импульсным ($\Delta t \sim 3$ нсек) лазером на красителе с удвоением частоты ($\Delta\lambda \sim 0,1 \text{ \AA}$). В спектре наблюдались прогрессии полос, связанные с переходами $C^3\Delta_u(v'=0) - X^3\Sigma_g^-(v''=3-14)$ ($^{16}O_2$, $^{16}O^{18}O$, $^{18}O_2$) и $c'\Sigma_u^-(v'=0, 1, 2) - Q'\Delta_g(v''=1-8)$ ($^{16}O^{18}O$). Из анализа колебательной структуры системы C-X (Ar-матрица) получены след. молек. постоянные (в см^{-1}): $T_e = 34446,2$, $\omega_e'' = 1561,4$, $\omega_e''x_e'' = 10,42$, $\omega_e''y_e'' = -0,02$. Ранее авторами было показано, что для смешанной изотопной модификации молекулы кислорода состояние $C^3\Delta_u v=0$ лежит вблизи уровня $c'\Sigma_u^- v=2$, ширина запрещенной зоны мала и возможен безызлучательный переход $C'v=0 \leftrightarrow c'v=2$. Заселенность остальных двух уровней состояния $c'\Sigma_u^- {^{16}O^{18}O}$ осуществляется в ре-

Х. 1980. N 12

зультате каскадной колебательной релаксации, к-рая проявляется в разрешенных во времени спектрах испускания. Проанализирована временная зависимость интенсивности полос и определены времена жизни (τ) для уровней $C^3\Delta_u v=0$, $c'E_v - v = 1,2$ при различных температурах ($T=4,4-32$ К). Для каждого уровня величина τ уменьшается с ростом T соотв. от 17,5 до 10,7 мкsec, от 20 до 5,5 мкsec и от 80 до 8 мкsec. Рассчитаны факторы Франка — Кондона для системы $C'\Sigma_u^-$ ($v'=0, 1, 2$) — $a'\Delta_g$ ($v''=0-6$) $^{16}\text{O}^{18}\text{O}$. Анализ влияния состава смешанной матрицы Ar — Kr на спектры показал, что скорость процесса $C'v=0 \rightarrow c'v_2^{16}\text{O}^{18}\text{O}$ почти не зависит от окружения молекулы, напр., значение τ ($C^3\Delta_u v=0$) составляет в Ar 17,5 мкsec, в Ar/Kr (1:1) 15—16 мкsec и в Kr 22 мкsec (4,4 К). Обсужден механизм колебательной релаксации. Высказано предположение, как и в случае молекул $\text{NO}(a^4\Pi)$ и $C_2^-(a^4\Sigma)$, преобладает механизм прямой многофононной релаксации. При рассмотрении многофононных процессов использована предложенная ранее модель псевдотрехатомного комплекса (O_2 в одномерной решетке инертного газа).

В. М. Ковба

O_2

N_2

литературе.
Согласно
последним
в пламенах

1949

12 Д449. Сравнение результатов определения температуры в пламенах с помощью термопары и методом комбинационного рассеяния света. Schoenung S. M., Mitchell R. E. Comparison of Raman and thermocouple temperature measurements in flames. «Combust. and Flame», 1979, 35, № 2, 207—211 (англ.)

Проведено сопоставление значений т-р метано-воздушного и кислородно-аммиачного пламен, определенных с помощью термопары и по данным спектров комб. рас. продуктов горения, возбуждаемых лазерной линией 488,0 нм мощностью 2 вт. Величины т-р метано-воздушного пламени, определенные перечисленными методами, согласуются с точностью до 2%, тогда как оценки т-ры кислородно-аммиачного пламени по интенсивности Q-полосы колебания молекул O_2 на 4% выше аналогичных значений, полученных путем анализа интенсивности Q-ветви колебания молекул N_2 и на 7% выше значений т-ры в термопарных измерениях. Раз-

(+)

02.1949 N/2

личия т-ры пламени, установленной по спектрам комб.
рас. продуктов горения, связаны со спектрально-селек-
тивным вкладом фоновой подставки флуоресцирующих
соединений в интенсивность линий Q-ветвей колебаний
молекул N_2 и O_2 .

И. В. А.

отмечен 8569 1979

3 Д339. Система полос $O_2(C^3\Delta_u - a^1\Delta_g)$. The
 $O_2(C^3\Delta_u \rightarrow a^1\Delta_g)$ band system. Slanger Том G.
«Chem. Phys. Lett.», 1979, 66, № 2, 344—349 (англ.)

Показано, что большинство ранее наблюдавшихся неидентифицированных полос в спектре послесвечения O_2 в области 3000—5000 Å принадлежит системе $O_2(C^3\Delta_u \rightarrow a^1\Delta_g)$. Определены значения колебательных и вращательных постоянных молекул $O_2(C^3\Delta_u)$. Сделано заключение, что конц-ии молекул O_2 в состояниях $A^3\Sigma_u^+$ и $C^3\Delta_u$, а также колебательные распределения в этих состояниях схожи как в лабор. экспериментах, так и в свечении ночного неба. Библ. 22. В. С. Иванов

Ф. 1080.13

Omniscia 8569 1979

O₂

(x, n.)

91: 219703u The diatomic oxygen ($C^3\Delta_u \rightarrow a^1\Delta_g$) band system. Slanger, Tom G. (Lab. Photophys. Mol., Univ. Paris-Sud, 91405 Orsay, Fr.). *Chem. Phys. Lett.* 1979, 66(2), 344-9 (Eng). The pos. identification of the $O_2(C^3\Delta_u \rightarrow a^1\Delta_g)$ transition in discharge systems established that most previously obsd. but unidentified bands in the 3000-5000 Å spectral region in O_2 afterglows belong to this system. Transitions from levels up to $v' = 6$ have previously been seen, both in discharges and in the terrestrial nightglow. These levels of vibrational excitation in the $C^3\Delta_u$ state are comparable to those obsd. in the more thoroughly studied $A^3\Sigma_u^+$ state. A set of $C^3\Delta_u$ vibrational consts. was calcd. which fit 17 analyzed bands with an av. deviation of 0.6 Å. Rotational consts. were obtained for the 4-3 $C^3\Delta_u(F_1) \rightarrow a^1\Delta_g$ band from a spectrum reported by V. Degen (1968).

Q.A.1979.91.126

O₂

отмечен 8569 1979

7 Б149. Система полос $C^3\Delta_u \rightarrow a'\Delta_g O_2$. Slanger
Том G. The $O_2(C^3\Delta_u \rightarrow a'\Delta_g)$ band system. «Chem.
Phys. Lett.», 1979, 66, № 2, 344—349 (англ.)

На основании результатов исследований спектров по-
слесвещения продуктов, образующихся при пропускании
через разряд смеси кислорода, и гелия, установлено, что
неидентифицированная ранее система полос кислорода в
области 3000—5000 Å, возбуждаемая в разряде, и на-
блюдавшиеся в том же интервале полосы в спектре све-
чения ночного неба принадлежит переходу $O_2 C^3\Delta_u (F_1) \rightarrow a'\Delta_g$. Приведена таблица Деландра (полосы $V' = 0-6 - V'' = 0-9$). Для O_2 в состоянии $C^3\Delta_u (F_1)$ предложен
след. набор молек. постоянных (в см^{-1}): $T_{00} = 34\ 225$,
 $\omega_e = 812$, $\omega_e X_e = 9,6$, $\omega_e Y_e = -0,79$, $B_4 = 0,824$, $B_3(a'\Delta_g =$

X. 1980. № 7

= 1,374. Наличие полос перехода $C^3\Delta_u - a'\Delta_g$ характерно для спектров послесвечения кислорода. Хотя полосы этой системы слабее, чем полосы системы $A^3\Sigma_u^+ - X^3\Sigma_g^-$, но излучательное время жизни O_2 в состоянии $A^3\Sigma_u^+$ приблизительно на два порядка меньше, чем у $O_2(C^3\Delta_u)$, и конц-ии молекул в указанных состояниях сравнимы, а скорости их образования в результате рекомбинации атомов кислорода в основном состоянии — преобладающего процесса при возникновении спектров послесвечения и ночных свечений — близки.

В. М. Ковба

O_2

1979

колебат.-
вращат.
состоин.

З И102. Обеднение колебательно-вращательных состояний при термическом разложении двухатомных молекул. Изучение методов Монте-Карло. Vibrational-rotational state depletion in the thermal decomposition of a diatomic molecule. A Monte Carlo study. Stace A. J. «Chem. Phys. Lett.», 1979, 68, № 2—3, 374—377 (англ.)

Методом Монте-Карло рассчитаны относит. заселенности колебательно-вращательных уровней O_2 в процессе стационарной стадии термич. распада O_2 при $T = 10\ 000^\circ K$. Результаты представлены в виде контурных карт для равных заселенностей в пространстве колебательно-вращательных энергий.

Ф. 1980 № 3

1979

O₂
O₂ +

Rec. dec'd.
filmed

(+1) A

90: 210458q Configuration-interaction study of lower excited states of molecular oxygen: valence and Rydberg characters of the two lowest $^3\Sigma_u^-$ states. Tatewaki, Hiroshi; Tanaka, Kiyoshi; Sasaki, Fukashi; Obara, Shigeru; Ohno, Kimio; Yoshimine, Megumu (Res. Inst. Catal., Hokkaido Univ., Sapporo, Japan). *Int. J. Quantum Chem.* 1979, 15(5), 533-45 (Eng). CI calcns. with an extended STO basis set were done on the ground and lower excited states of O₂ and O₂⁺ at and near the equil. internuclear distance ($R = 2.3$ at. unit [a.u.]) of the ground state of O₂. Particular attention was paid to the two lowest $^3\Sigma_u^-$ states; the mixing of the valence and Rydberg characters in these states was studied. The lowest $^3\Sigma_u^-$ state is a Rydberg-type state for $R < 2.3$ a.u., but becomes valence type for $R \gtrsim 2.3$ a.u. The second $^3\Sigma_u^-$ state, which is 1.6 eV above the lowest $^3\Sigma_u^-$ at $R = 2.3$ a.u., changes its character from Rydberg to valence, valence to Rydberg, and then to valence again when R increases from 1.9 to 3.1 a.u. The calcd. and available exptl. vertical excitation energies agree satisfactorily.

C.A.1979,90,N26

1549

21 Б30. Исследование низших возбужденных состояний молекулы O_2 методом конфигурационного взаимодействия. Валентный и ридбергов характеры двух низших состояний $^3\Sigma_u^-$. Tatewaki Hiroshi, Tanaka Kiyoshi, Sasaki Fukashi, Obara Shigeru, Ohno Kimio, Yoshimine Megumi. Configuration-interaction study of lower excited states of O_2 : valence and rydberg characters of the two lowest $^3\Sigma_u^-$ states. «Int. J. Quantum Chem.», 1979, 15, № 5, 533—545 (англ.)

Рассчитаны энергии ряда электронных состояний молекулы O_2 и катиона O_2^+ . Использован базисный набор орбиталей слейтеровского типа, включавший ф-ции s , p - и d -типа, в том числе диффузные орбитали. На основе МО, полученных методом ССП, построены волновые ф-ции конфигурац. взаимодействия с частичным отбором одно- и двукратно возбужденных конфигураций. Детально проанализирована электронная структура B - и E -состояний симметрии $^3\Sigma_u^-$. Найдено, что при

(41)

 $c_i, n_i; E_i$

Х. 1979, № 21

равновесном межъядерном расстоянии ($R_e=2,3$ ат. ед.) состояние B является преимущественно валентным, а состояние E — ридберговым. С рассчитанными в окрестности R_e (от 1,9 до 3,5 ат. ед.) потенциальными кривыми определены спектроскопич. постоянные рассматриваемых состояний. Прослежено изменение валентного и ридбергова характеров обоих состояний при изменении межъядерного расстояния. Отмечено, что из-за псевдопересечения валентных и ридберговых состояний потенциальная кривая $E\ ^3\Sigma_u^-$ имеет необычно глубокий минимум и большие значения спектроскопич. постоянных ω_e и $\omega_e X_e$. Проведено отнесение пиков в областях 9,96; 10,28 и 10,57 эв как переходов на первые три колебательные уровня состояния E . А. В. Немухин

С
игу

11 Д158. Исследование низших возбужденных состояний O_2 методом КВ. Валентный и ридберговский характер двух низших состояний $^3\Sigma_u^-$. Tatewaki Hiroshi, Tanaka Kiyoshi, Sasaki Fukashi, Obara Shigeru, Ohno Kimio, Yoshimine Megumi. Configuration-interaction study of lower excited states of O_2 . Valence and Rydberg characters of the two lowest $^3\Sigma_u^-$ states. «Int. J. Quantum Chem.», 1979, 15, № 5, 533—545 (англ.).

1979

Рассчитаны потенц. кривые основного и восьми низших возбужденных состояний молекулы O_2 , а также иона O_2^+ в области межатомных расстояний от 1,9 до 3,5 ат. ед. Расчеты проводились методом КВ в расширенном слэтеровском базисе с включением поляризующих и диффузных ф-ций. Учитывались (с некоторыми ограничениями) одно- и двукратно возбужденные конфигурации. Особое внимание уделено изучению характера двух состояний, B и E , симметрии $^3\Sigma_u^-$ с энергиами (эв, в скобках — эксперим. значения) 8,78 ($\sim 8,6$) и 10,4 (10,1). Состояние B при $R \leq 2,3$ ат. ед. является ридберговским, но становится валентным при $R > 2,3$ ат. ед. Состояние E при $R \approx 2,3$ ат. ед. меняет характер с ридберговского на валентный, затем снова становится ридберговским и наконец — опять валентным.

Б. И. Барановский

O_2
 O_2^+

помечено.
Крайнее

(+)

Ф.1979 N 11

1979

2 Д89. Изучение сходимости некоторых процедур второго порядка, используемых для решения уравнений многоконфигурационной теории ССП. Convergency studies of second and approximate second order multiconfigurational Hartree—Fock procedures. Yeager Dan-ny L., Jorgensen Pou l. «J. Chem. Phys.», 1979, 71, № 2, 755—760 (англ.)

Экспоненциальная параметризация всего многообразия параметров многоконфигурационной волн. ф-ции используется для получения ур-ний типа Ньютона—Рафсона, которые применяются затем для построения двух итерационных схем отыскания стационарной точки энергии. Первая итерационная схема соответствует одновременному варьированию как коэф. КВ, так и МО. Вторая схема предусматривает поочередно оптимизацию коэф. КВ и МО. С использованием предложенных схем выполнены расчеты основного состояния молекул O_2 , а также основного и возбужденного состояний атома Be. Продемонстрирована высокая скорость сходимости первой из предложенных схем как для случая основного, так и возбужденных состояний.

А. И. Панин

① 12. иж.
fastic
9. 1980. № 2

η_2

Lommel 11041

1980.

Albertsen P., et al.

Ref. sec.

paper

Mol. Phys., 1980, 41,
(2), 409 - 420

1980

O₂

21 Б40. Расчет вертикальных энергий возбуждения и моментов переходов O₂ многоконфигурационным временным методом Хартри-Фока. Albertsen Preben, Jørgensen Poul, Yeager Danny L. Multiconfigurational time-dependent Hartree-Fock calculation of vertical excitation energies and transition moments of O₂. Proceedings of the International Symposium on Atomic, Molecular, and Solid-State Theory, Collision Phenomena, Quantum Statistics, and Computational Methods, Flagler Beach, Fla, March 10—20, 1980. «Int. J. Quantum Chem.», 1980, Quantum Chem. Symp. № 14, 249—260 (англ.)

Многоконфигурационный временной метод Хартри-Фока (МКВХФ), разработанный авторами, применен для расчетов вертикальных энергий возбуждения и сил осцилляторов молекулы O₂ при межъядерном расстоянии 2,28 ат. ед. Использованы три базисных набора слейтеровских орбиталей *s*-, *p*- и *d*-типа (общим числом по 50 ф-ций), различающихся тем, насколько диффузны нек-рые из орбиталей. Результаты сопоставлены с данными расчетов методом конфигурац. взаимодейств-

γ, finn

X.21.1981

вия с учетом только однократных возбуждений, временным методом Хартри—Фока и многоконфигурационным методом ССП с учетом однократных возбуждений. Показано, что применение метода МКВХФ позволяет улучшить результаты вычислений, особенно для сил осцилляторов. Найдено, что введение в базис диффузных орбиталей не оказывает влияния на положение низших уровней энергии; к-рые, следовательно, являются валентными. Однако, состояния выше 10 эВ являются существенно ридберговыми, и вычисляемые для них значения энергии существенно зависят от присутствия в базисе диффузных орбиталей — погрешности могут составлять величины порядка 2,5 эВ при энергии ~ 15 эВ.

А. В. Немухин

ме
(N)

O₂

1980

Арчишев И.Ф. и др.

спектр.

K.P.

Ис. прикл. спектроскопии,
1980, 32, № 4, 725-731.

cell N₂; III

D.

1980

Birnbaum G.

Proc. Int. School Phys.

paper Enrico Fermi, Varenna
on Lake Como, 1978.

Course 75. Amsterdam.

L.A., 1980, 111-145.

(see. Maj 111)

α_2

co. Mex.
marc.

Bläs R., et al ¹⁹⁸⁰
J. Phys B: Atom and
Mol. Phys., 1980, B, 114,
2693-2700

att. CH₄-II

1980

 O_2

94: 53583q Determination of proton affinities from the kinetics of proton transfer reactions. VII. The proton affinities of O_2 , H_2 , Kr, O, N_2 , Xe, CO_2 , CH_4 , N_2O , and CO. Bohme, D. K.; Mackay, G. I.; Schiff, H. I. (Dep. Chem., York Univ., Downsview, ON Can. M3J 1P3). *J. Chem. Phys.* 1980, 73(10), 4976-86 (Eng). The flowing afterglow and selected ion flow tube techniques were applied in a room-temp. study of the kinetics of proton-transfer reactions of the type $XH^+ + Y \rightleftharpoons YH^+ + X$ for X or Y = He, H_2 , O_2 , Kr, O, N_2 , Xe, CO_2 , CH_4 , CD_4 , N_2O , OH, and CO, and for the deuteration of O_2 by D_3^+ . Equil. consts. are detd. and changes in thermodn. state properties (ΔG° , ΔH° , ΔS°) are derived for the reactions with $N/Y = H_2/O_2$, O_2/Kr , H_2/N_2 , N_2/Xe , Xe/CO_2 , CO_2/CH_4 , CH_4/N_2O , and N_2O/CO . Proton affinities are reported for O_2 , H_2 , Kr, O, N_2 , Xe, CO_2 , CH_4 , N_2O , and CO, together with the heats of formation of their protonated species. Also a correlation is presented between the kinetic and thermodn. results obtained in this study.

(AP)

(+) A

C.A. 1981. G91B

1990

O₂

5 Б165. Изучение с помощью ударной трубы трех полуквартных процессов испускания синглетного кислорода $O_2(^1\Delta_g)$, образующегося в проточной разрядной системе. Borgell Patricia M., Borgell Peter, Grant Kevin R. A study of three dimol emissions of singlet oxygen, $O_2(^1\Delta_g)$, using a discharge flow shock tube. «J. Chem. Soc. Faraday Trans.», 1980, Part 2, 76, № 1, 1442—1449 (англ.)

Исследованы след. бимолек. процессы испускания синглетного кислорода при комн. (295 K) и повышенных (650—1650 K) т-рах: $O_2^*(^1\Delta_g) + O_2^*(^1\Delta_g) \rightarrow O_2(^3\Sigma_g^-) + O_2(^3\Sigma_g^-) + hv (\lambda = 634 \text{ нм})$ (I), $O_2^* + O_2^* \rightarrow O_2 (v=1) + O_2 + hv (\lambda = 703 \text{ нм})$ (II), $O_2^* (v=1) + O_2^* \rightarrow O_2 + O_2 + hv (\lambda = 579 \text{ нм})$ (III). Для нагрева и сжатия потока $O_2(^1\Delta_g)$, образующихся в МВ-разряде, использована ударная труба. Измерялось изменение во времени интенсивности излучения в указанных областях длин волн и при $\lambda = 762$ (одномолек. излучатель-

*Система
излучатель*

Х. 1981/045

ный процесс $O_2(^1\Sigma_g^+ \rightarrow O_2 + h\nu)$. Определены относительные излучательные способности и оценены константы скорости испускания при повышенных температурах. Найдено, что в первом приближении интенсивность излучения при 634 и 703 нм зависит от произведения $\rho^2 T^{1/2}$ (ρ — плотность газа) и процессы I и II носят в основном характер обычных столкновений. Выше 1100 К наблюдается усиление излучения по сравнению с этой зависимостью, возрастающее с температурой. Колебательная температура молекул $O_2(^1\Delta_g)$ в МВ-источнике, оцененная по данным измерений интенсивности излучения II и III, составляет 750 ± 50 К.

Б. М. Ковба



O₂

отмечи 10048

1980

1 Д417. Электрические квадрупольные переходы в A-полосе кислорода при 7600 Å. Detection of electric quadrupole transitions in the oxygen A band at 7600 Å. Brault James W. «J. Mol. Spectrosc.», 1980, 80, № 2, 384—387 (англ.)

В спектре солнечного излучения, полученного при малых высотах, зарегистрированы линии поглощения атмосферного кислорода, обусловленные электрическими квадрупольными переходами в A-полосе в области 7600 Å. Определены положения, интенсивности и ширины восьми линий с N" от 5 до 19. Отмечено, что наблюдаемые электрические квадрупольные переходы в 3·10⁻⁶ раз слабее основных магнитных дипольных переходов кислорода.

В. С. Иванов

ф. 1981 N 1

O₂

1980

check
by J. P.

94: 22365r A study of three dimol emissions of singlet oxygen, O₂(¹Δ_g), using a discharge flow shock tube. Borrell, Patricia M.; Borrell, Peter; Grant, Kevin R. (Dep. Chem., Univ. Keele, Keele, Engl. ST5 5BG). *J. Chem. Soc., Faraday Trans. 2* 1980, 76(11), 1442-9 (Eng). The relative emissivities and rate consts. for the 3 dimol. emissions of O₂ (¹Δ_g) were detd. at 650-1650 K by measuring their intensity ratios. The temp. dependence of the 634- and 703-nm emissions reveals that the intensity depends on the d.-temp. product $\rho^2 T^{1/2}$, indicating a basically collisional mechanism. Above 1100 K, an enhancement in the emission was obsd. with increasing temp. The ratio of the intensities at 579 and 634 nm, from the $v = 1$ and $v = 0$ vibrational levels of O₂ (¹Δ_g) at room temp., indicates that at the exit of the microwave discharge the amt. of vibrational excitation is equiv. to a temp. of 750 K.

C.A. 1981. 94 n 4

1980

O₂

4 Д473. Поглощение излучения *H* и *D Ly- α* молекулами O₂ при высоких температурах. Absorption of *H* and *D Ly- α* radiation by O₂ molecules at high temperatures. Chiang Chi-Chang, Skinner Gordon B. «J. Quant. Spectrosc. and Radiat. Transfer», 1980, 24, № 6, 525—528 (англ.)

В ударной трубе измерены абс. значения сечения поглощения молекулами кислорода излучения *H* и *D Ly- α* (1215,67 и 1215,34 Å) при т-рах от 800 до 1700° К. Зависимость сечения от т-ры описывается выражением σ (см²) = $4,2 \cdot 10^{-18} \exp(-3070/T)$. Определены сечения поглощения для переходов с различных колебательных уровней основного состояния: $1 \cdot 10^{-20}$ см² для $v=0$, $(9 \pm 2) \cdot 10^{-19}$ см² для $v=1$ и $(7 \pm 3) \cdot 10^{-18}$ см² для $v=2$. Определены также времена релаксации, значения которых хорошо согласуются во всем диапазоне т-р с полученными другими авторами.

Б. С. Иванов

Сечение
поглощ.,
в У.Т.

Ф. 1981 № 4

O₂

1980
21 Б111. Измерение фотоэлектронного спектра пороговых электронов для O₂ методом захвата электронов. Chutjian A., Ajello J. M. Threshold photo-electron spectrum of O₂ by electron attachment. «Chem. Phys. Lett.», 1980, 72, № 3, 504—508 (англ.)

Кратко описан предложенный авторами ранее («J. Chem. Phys.», 1976, 65, 5524) метод получения спектров, идентичных фотоэлектронным спектрам пороговых электронов (ФЭСПЭ) и измеряемых с помощью

электронного спектрометра. Изменение интенсивности электронов с близкой к нулю кинетич. энергией в зависимости от энергии излучения возбуждения оценивается с использованием масс-спектроскопии по величине сигнала от ионов Cl⁻, образованных при диссоциативном захвате молекулами ловушечного газа CFCI₃ электронов, испущенных в результате фотоионизации исследуемых молекул. С помощью данного метода измерены ФЭСПЭ для O₂ в области энергий фотонов 11—19 эВ.

ЛК

X.1980 № 21

достаточных для возбуждения первых четырех электронных состояний O_2^+ : $X^2\pi_g$ (I), $a^4\Pi_u$ (II), $A^2\Pi_u$ (III) и $b^4\Sigma_g$ (IV). Обнаружено, что в измеренном ФЭСПЭ интенсивности пиков, соотв-щих колебательным уровням с квантовыми числами $v=6-25, 12-19, 4-11$ электронных состояний I—III соотв., значительно выше (особенно в 1-м случае), чем следует из оценок франк-кондоновских факторов или из лит. экспериментальных данных по фотоэлектронной спектроскопии. Установлена сильная корреляция между областями спектра, где наблюдается этот эффект, и положениями ридберговских уровней O_2 , определенных из лит. данных по фотонизац. масс-спектроскопии. Полученные результаты объяснены на основе качеств. рассмотрения возможных релаксац. процессов в ионном остове при резонансной автоионизации ридберговских уровней молекулы O_2 . Отмечено, что подобный подход к интерпретации ФЭСПЭ для O_2 , по-видимому, применим и к объяснению аналогичных данных для N_2 , H_2 , CO и NO , для к-рых возбуждение колебательных уровней основного состояния двухатомного иона также в основном определяется процессом резонансной автоионизации ридберговских уровней.

О. А. Басченко

1980

O₂

Фотоэл.
спектр

12 Д320. Пороговый фотоэлектронный спектр O₂, полученный методом захвата электронов. Threshold photoelectron spectrum of O₂ by electron attachment. Chutjian A., Ajello J. M. «Chem. Phys. Lett.», 1980, 72, № 3, 504—508 (англ.)

Исследован фотоэлектронный спектр пороговых электронов (ФЭСПЭ) (кинетич. энергии электронов близки к нулю) O₂ при энергиях фотонов 12—19 эв. ФЭСПЭ O₂ получен с использованием техники захвата пороговых фотоэлектронов CFCI₃ и последующей регистрацией осколочного иона Cl⁻ как ф-ции длины волны ионизирующего излучения. Проведено сравнение ФЭСПЭ O₂ с данными фотоэлектронной спектроскопии, фотоионизационной масс-спектрометрии, оптич. спектроскопии O₂, теоретич. расчетами коэф. Франка—Кондона для основного и возбужденных электронных состояний O₂⁺. Показано, что процессы резонансной автоионизации приводят к интенсивному заселению высоких колебательных уровней основного состояния O₂⁺x²P_g и низких колебательных уровней состояний O₂⁺a⁴P_u, A²P_u и в +Σ_g⁻. Библ. 17.

Ю. В. Чижов

Ф. 1980. N 12

O_2 (m)

Commenced 10.3.08

1980

Glouster M.J., et al.

Pacuan

CHEKRP

J. Chem. Phys., 1980,
73 (2), 673-82

Pure vibrational Raman spectra

оттисн 10172 1980

O₂

5 Б169. Заселенности колебательных уровней при
автоионизации кислорода. E l a n d J. H. D. Vibrational
level populations in the autoionization of oxygen. «J.
Chem. Phys.», 1980, 72, № 11, 6015—6019 (англ.)

С разрешением 45 мэВ по энергии фотоэлектронов и с использованием в кач-ве возбуждения ультрафиолетового излучения высокой монохроматичности ($\Delta\lambda = 0,28 \text{ \AA}$) измерены фотоэлектронные спектры (ФЭС) молекулярного кислорода. Спектры получены при нескольких значениях энергий фотонов, соответствующих резонансному селективному возбуждению отдельных колебательных уровней ридберговских состояний J ($v' = 1—6$) и J' ($v' = 5,6$) молекулы O₂. После коррекции интенсивностей пиков в измеренных ФЭС на зависимость эффективности анализатора от энергии фотоэлектронов, с их помощью определены относит. заселенности ($n_{v''}$) колебательных уровней с $v'' = 0—12$ для терма $X^2\Pi_g$ иона O₂⁺, являющегося конечным состоянием фотоионизации молекулы O₂ и образованного в результате автоионизации промежуточных рид-

спектры
фотоэлектр.

Х.1981.Н5

берговск. состояний J и J' с различными значениями v' . На основе предложенной ранее модели («J. Quant. Spectrosc. Radiat. Transfer», 1970, 10, 1129) выведено выражение для определения n_v' , не содержащее параметров формы линий колебательной структуры ФЭС. С помощью этого выражения, используя при расчете соответствующих франк-кондоновских факторов лит. параметры потенциальных поверхностей основных состояний O_2 и O_2^+ , величины ω_e и $x_e\omega_e$ для J и J' , а также кривую квантового выхода фотоионизации для кислорода, вычисляли значения n_v' при нескольких значениях межъядерного расстояния r для J и J' . Найдено, что наилучшее согласие между теор. и эксперим. данными наблюдается при r , равных $1,370 \pm 0,005$ и $1,380 \pm 0,005$ Å для состояний J и J' соотв. На основе полученных результатов сделан вывод, что, в отличие от случаев резонансов формы, применение приближения Борна-Оппенгеймера при интерпретации проявления автодиализаций эффектов в ФЭС O_2 достаточно корректно.

О. А. Басченко

1980

 O_2
 $(^1\Delta_g)$

5 Д449. Прямое наблюдение синглетного кислорода методом тепловой линзы. Direct observation of singlet oxygen by a thermal lensing technique. Fuke Kiyo-kazu, Ueda Masayasu, Itoh Michiya. «Chem. Phys. Lett.», 1980, 76, № 2, 372—374 (англ.)

Исследовано образование синглетного кислорода $O_2(^1\Delta_g)$ в результате переноса к 3O_2 энергии от молекулы диацетила, возбужденной в триплетное состояние излучением лазера на красителе в полосе 0—0 перехода вблизи 520 нм. Присутствие 1O_2 в насыщенном воздухом метанольном растворе диацетила и 2,5-диметилфурана (ДМФ) регистрировалось с помощью

образование
синглет-
кислорода

Не—Не-лазера методом тепловой линзы, возникающей при безызлучательной деградации энергии ДМФ, возбужденного в реакции с 1O_2 . Определены значения времени жизни 1O_2 в метаноле и константы скорости тушения 1O_2 в столкновениях с ДМФ, составившие (12 ± 2) мксек и $(0,9 \pm 0,2) \cdot 10^8 M^{-1} \cdot \text{сек}^{-1}$ соответственно. Библ. 18.

С. Литке

Ф. 1980 № 5

O_3 (ern)

XI-6238

1980

Flaud J.-M., Camy-Peyret C., Barbe A.,
Secroun C., Jouve P.,

J. Mol. Spectrosc., 1980, 80, v1, 185-199 (aui)
Line positions and intensities for the
 $2\tilde{v}_3$, $\tilde{v}_1 + \tilde{v}_3$ and $2\tilde{v}_1$ bands of ozone.

Rev Xuv, 1980, 19522f

10

(p)

O₂

1980

Gagarin S. G.

орбній автоз -
коадюнт.
носії.

Noord. Khim. 1980, 6(2),
215-20



all. N₂-II

1980

O₂

18 Б1323. Фотовозбуждение и ионизация в молекулярном кислороде: теоретические исследования электронных переходов в дискретных и непрерывных спектральных интервалах. Gerwег А., Asаго С., Макоу В. В., Langhoff P. W. Photoexcitation and ionization in molecular oxygen: Theoretical studies of electronic transitions in the discrete and continuous spectral intervals. «J. Chem. Phys.», 1980, 72, № 1, 713—727 (англ.)

*Фото-
возбуждение*

Проведено теор. изучение процессов фотовозбуждения и фотоионизации молек. кислорода с участием валентных электронов ($1\pi_g$, $1\pi_u$, $3\sigma_g$). Расчеты сечений проводили в диапазоне энергий 10—70 эВ с использованием модели статич. обмена с разделенными каналами и теории моментов Стильтесса—Чебышева. При определении нецентровых статич. обменных потенциалов, соответствующих возбуждению каждой орбитали, и расчете

2 1980 N 18

сил переходов в дискретной области и области континуума использовали орбитали Хартри—Фока основного состояния, строящиеся на основе больших гауссовых базисных наборов, и многоэлектронные состояния правильной симметрии с надлежащим учетом исходных состояний. Рассчитанные дискретные серии переходов, связанные с возбуждением орбитали $1\pi_g$, хорошо согласуются с имеющимися эксперим. и теор. данными. Для состояний, связанных с возбуждением $1\pi_u$ и $3\sigma_g$ -орбиталей, имеется общее согласие с отнесением линий высоких серий, полученным из спектрального анализа и анализа методом квантового дефекта. Расчитаны полные вертикальные сечения фотопоглощения и сечения фотоионизации по парц. каналам с образованием ионных состояний $X^2\Pi_g$, $a^4\Pi_u$, $A^2\Pi_u$, $2^2\Pi_u$, $3^3\Pi_u$, $b^4\Sigma_g^-$ и $B^2\Sigma_g^-$, к-рые хорошо согласуются с измерениями различными методами. Парц. сечения имеют резонансную структуру, что объясняется вкладом диабатич. валент-

O₂

11 Д114. Метод ЧПДП/F с масштабным преобразованием как метод типа ЧПДП, не содержащий эмпирических параметров, для расчета соединений переходных металлов. SINDO/F theory, INDO-type theory free of molecular empirical parameters valid for

transition metal compounds. Golębiewski A., Witko M. «Acta phys. pol.», 1980, A57, № 4, 585—597 (англ.)

Описан метод ЧПДП с масштабным преобразованием, не содержащий эмпирич. параметров, для расчета соединений переходных металлов. Основные интегралы рассчитываются через определенные по Бэрнсу экспоненты АО слэтеровского типа, интегралы электрон-электронного взаимодействия — через параметры Кондона—Шортли, резонансные интегралы — в базисе локально ортогонализованных орбиталей. По этой схеме рассчитаны энергии синглет-синглетных и синглет-триплетных переходов для O₂, N₂, CO, H₂O, акролеина, TiCl₄ (I), VO₄³⁻, CrO₄²⁻, MnO₄⁻ и первые 5 потенциалов ионизации I. Полученные результаты согласуются с данными неэмпирич. расчетов.

В. Л. Лебедев

расчет
молекул,
холестерин,
(3)

(+/-) □

ф. 1980

н 11

9/4/80

1980

O₂

ЗД410. Парциальные сечения фотопионизации молекулярного кислорода. Partial photoionization cross sections of molecular oxygen. Gustafsson T. «Chem. Phys. Lett.», 1980, 75, № 3, 505—508 (англ.)

получившиеся
сечение
фотопиониз.

Измерены распределения по энергиям фотоэлектронов (РЭФ), образующихся при фотопионизации O₂ синхротронным излучением, пропущенным через монохроматор, в интервале энергий фотонов 20—45 эв. Ширина полосы пропускания монохроматора — 4 А. С помощью РЭФ найдены отношения парциальных сечений фотопионизации с образованием состояний

Ф. 1981 N 3

$O_2^{+} 2\Pi_g$; $a^4\Pi_u + A^2\Pi_u \simeq a^4\Pi_u$; $b^4\Sigma_g^{-} + B^2\Sigma_g^{-}$; $2^2\Pi_u + C^4\Sigma_u^{-}$; $2\Sigma_u(2\sigma_u)$; $3^2\Pi_u$; $2^4\Sigma_g^{-}$. По известным полным абс. сечениям фотоионизации получены и приведены на графиках в зависимости от энергий фотонов абс. парциальные сечения фотоионизации для указанных состояний. Приведены сравнения с имеющимися в литературе теоретич. сечениями, полученными согласно теории моментов Стильтесса — Чебышева. Эксперим. данные свидетельствуют в пользу наличия предсказываемых теорией резонансов для некоторых ионных состояний в области 1—2 эв выше порога. Обсуждаются возможности определения угловых распределений fotoэлектронов для ориентированных молекул O_2 .

Б. Н. Сошников

1980

O₂

Harris J., et al.

Phys. Rev. B: Condens Matter.
1980, 22, N6, 2614-25.

M.N.

cat. H2-111

диплома 9907

1980

O_2

У 1 Д85. Построение заданных по симметрии волновых функций O_2 с помощью теоретико-группового метода проекционных операторов. Generation of symmetry-adapted wave-functions for O_2 using group theoretical projection operators. Higley A. C., Nagcourt R. D., Taylor Peter R. «Isr. J. Chem.», 1980, 19, № 1—4, 215—219 (англ.)

Рассмотрена процедура построения с помощью теоретико-групповых методов электронных волн. ф-ций линейных молекул с наперед заданными трансформационными свойствами. Основу подхода составляет техника проекционных операторов, развитая для бесконечных непрерывных групп. Обсуждаются особенности используемых проекционных операторов и вид матриц представления для группы $C_{\infty v}$. Электронные волны. ф-ции молекулы O_2 строятся в результате действия оператора $p_{\lambda k}^{(j)}$ на произвольный базис ф-ций для конфигурации $(\pi_g)^2$. По найденным волн. ф-циям определены энергии термов $^3\Sigma_g^-$, $^1\Delta_g$ и $^1\Sigma_g^+$ молекулы O_2 , причем численные оценки последних двух термов дали значения 1,50 и 3,00 эв над уровнем основного состояния.

А. Радциг

вттичк 9907

1000

O₂

построение
волнистой
ф-ции

5 Б52. Получение волновых ф-ций для молекулы O₂ с правильными свойствами симметрии с помощью проекционных операторов теории групп. Nagleу A. C., Nagcourt R. D., Taylor P. R. Generation of symmetry-adapted wave-functions for O₂ using group theoretical projection operators. «Isr. J. Chem.», 1980, 19, № 1—4, 215—219 (англ.)

На примере молекулы O₂ с конфигурацией π_g^2 для открытой оболочки показано, как применение техники проектирования позволяет построить волновые ф-ции и функционалы энергии для состояний ${}^3\Sigma_g^-$, ${}^1\Delta_g$ и ${}^1\Sigma_g^+$. Использование проекторов по симметрии не необходимо в этой задаче, но имеет смысл как полезный методич. прием.

В. И. Пузышев

Х. 1981 № 5

Омск 9096

1980

O₂ 12 Б135. Хемилюминесценция O₂(¹Σ_g⁺ → ³Σ_g⁻) и SO(¹Σ⁺ → ³Σ⁻) в системе O—COS—O₂(¹Δ_g)/O₂. Ishiwata T., Tanaka I. Chemiluminescence of O₂(¹Σ_g⁺ → ³Σ_g⁻) and SO(¹Σ⁺ → ³Σ⁻) in the O—COS—O₂(¹Δ_g)/O₂ system. «J. Phys. Chem.», 1980, 84, № 1, 119—122 (англ.)

Исследованы р-ции переноса энергии в системе C—COS—O(¹Δ_g)/O₂, протекающие с образованием электронно-возбужденных молекул O₂(¹Σ_g⁺) и SO(¹Σ⁺). Измерялась интенсивность полос в ИК-области, связанная с переходами ¹Σ_g⁺ → X³Σ_g⁻ и ¹Δ_g → ³Σ_g⁻ O₂ и ¹Σ⁺ → ³Σ⁻ SO в зависимости от конц-ии компонент смеси SO и O₂ (¹Δ_g). На основании полученных данных предложены след. механизмы образования O₂(¹Σ_g⁺) и SO(¹Σ⁺): O₂(¹Δ_g) + SO(³Σ⁻) → O₂(³Σ_g⁻) + SO(¹Δ), O₂(¹Δ_g) + SC(¹Δ) → O₂(¹Σ_g⁺) + SO(³Σ⁻), SO(¹Δ) + SO(¹Δ) → SO(¹Σ⁺) + SO(³Σ⁻). Полученная из анализа спектров испускания вращательная т-ра для O₂(¹Σ_g⁺) и SO(¹Σ⁺) составляет, соотв., 330 и 350 К. Термализация электронно-возбужденных молекул, по-видимому, связана с относительно длительным излучательным временем жизни и происходит за счет столкновений с третьими молекулами или со стенками. В. М. Ковба

Ч. Р. смеси,
Хемисфера.

Б7

Х-1980.№12

O₂

1980

5 Б38. Метод уменьшения числа преобразований двухэлектронных интегралов в многоконфигурационной процедуре Хартри — Фока второго порядка. Jørgensen Poul, Albertsen Preben, Yeager Darryl L. A method to reduce the number of two electron integral transformations in a second order multi-configurational Hartree — Fock procedure. «J. Chem. Phys.», 1980, 72, № 12, 6466—6473 (англ.).

метод
Хартри-Фока

Процедура преобразования двухэлектронных интегралов в многоконфигурац. методе самосогласованного поля (МК ССП), необходимая перед каждым итерац. циклом во 2-м порядке, заменяется после первых нескольких циклов приближенным преобразованием орбиталей непосредственно в ур-ниях метода МК ССП. Унитарное преобразование состояний в рамках предлагаемой процедуры осуществляется точно. Выполнены расчеты, иллюстрирующие применение указанного метода на конкретном примере нижних электронных состояний O₂(³S_g⁻¹, ¹S_g⁺¹ и ¹D_g). Предложенная процедура приближенного преобразования орбиталей может рассматриваться как метод определения линейных отклонений гиперповерхности энергии от параболоида, когда такие отклонения не являются пренебрежимо малыми.

А. И. Маергойз

(+) обуз.
шага.

Х. 1981 №

1980

O₂

2Д 99 об уменьшении числа преобразований двух электронных интегралов в многоконфигурационном методе Хартри-Фока второго порядка. A method to reduce the number of two electron integral transformations in a second order multiconfigurational Hartree-Fock procedure. Jorgensen Poul, Albertsen Preben, Yeager Darryl L. «J. Chem. Phys.», 1980, 72, № 12, 6466—6473 (англ.)

рассчитано
автором

$^3\Sigma_g^-$ $^1\Delta_g$,

$^1\Sigma_g^+$

Описан метод уменьшения числа преобразований двухэлектронных интегралов в многоконфигурационном методе Хартри-Фока для случая использования итерационных процедур с квадратичной сходимостью. Преобразования интегралов заменяются преобразованием гамильтониана, которое реализуется в форме приближенных преобразований орбиталей. В качестве примера приводятся результаты расчетов состояний $^3\Sigma_g^-$, $^1\Delta_g$, $^1\Sigma_g^+$ молекулы O_2 . Точность самосогласования по полной энергии, равная 10^{-6} ат. ед., достигается после 2—3 преобразований интегралов (что в два раза меньше, чем в обычной процедуре). Дополнительная итерация в рамках квадратично сходящейся МК ССП процедуры позволяет довести точность самосогласования до 10^{-10} ат. ед.

В. И. Барановский

2.10.81.02

$\delta\sigma_2$

1980

Jeg L.

Theor. chim. acta, 1980,
57, №, 107-30.

нович
М. Святой
(У)

сесс. Н2-11

O₂

1980

Hatsuki Shinichi; et al.

Jnt. J. Quantum Chem.,
1980, 18, N1, 25-29.

(5)



coll. N2-55

O₂

1980

Khan et al.

Chemop.

Chem. Phys. Lett., 1980,

TL, p 112

Direct spectroscopic observation
of ...

$\gamma-\text{O}_2, \text{O}_2$ Lommelca 9439 1980
= (mb.) Kieft H. et al.
(Vi) Chem. Phys. Lett., 1980
 70 (3), 425 - 29

Pure vibrational Raman spectra
of some simple molecular
crystals: $\gamma\text{O}_2, \text{O}_2$ in $\text{KFeO}_2, \text{BN}_2$

Lommach 11245

1980.

O₂

Klimo V., et al.

Rb, Ce,
BaCl₂
succin.
npyrid.

Mol. Phys., 1980, 41(3)
479-81.

(Cu-NH; III)

θ_2

1980

Kovács I.

M.N.

Acta phys. Acad. sci. hung.,
1980, 48, nr 2-3, 323-331

● $(\text{Cu} \text{HgH})_{\text{III}}$

O₂

[Omnisec 10028]

1980

Larne & et al.

unpub (ARS)

A-berle

J. Raman Spectrosc;
1980, 9(6), 353 - 360

1980

O₂

1980: 212685x Rotational variation of predissociation linewidths for the Schumann-Runge bands of molecular oxygen.
Lewis, B. R.; Carver, J. H.; Hobbs, T. I.; McCoy, D. G.; Gies, H. P. F. (Res. Sch. Phys. Sci., Aust. Natl. Univ., Canberra, Australia). *J. Quant. Spectrosc. Radiat. Transfer* 1980, 24(5), 365-9 (Eng). Predissocn. linewidths are presented as a function of rotation for the (3-0)-(14-0) Schumann-Runge bands of O₂. While there may be a slight tendency overall for the linewidths to increase with rotation, previous assumptions of linewidths const. with rotation are generally valid within the exptl. error for the range of rotation studied, $N'' \leq 21$. There is no evidence for the sudden increase in linewidth with rotation reported elsewhere.

Check

C.O. 1980. 93 v22

1980

O₂

19 Б146. Интенсивности спин-запрещенных переходов в молекулярном кислороде и избирательное влияние тяжелых атомов. Минаев В. Е. Intensities of spin-forbidden transitions in molecular oxygen and selective heavy-atom effects. «Int. J. Quantum Chem.», 1980, 17, № 2, 367—374 (англ.)

D.

интенсивности
спин-запрещ.
переходов

и

X. 1980 N 19

Интенсивности $a^1\Delta g - X^3\Sigma_g^-$ и $b^1\Sigma_g^+ - X^2\Sigma_g^-$ переходов в молек. кислороде вычисляются на основе полуэмпирич. метода молек. орбиталей с учетом спин-орбитального взаимодействия с помощью теории возмущений второго порядка. Показано, что первый переход ($a-X$) заимствует свою интенсивность у ${}^3\Pi_g - {}^3\Sigma_g^-$ и ${}^1\Pi_g - {}^1\Delta_g$ переходов. Вычисленные силы осцилляторов этих переходов находятся в хорошем согласии с эксперим. значениями. В конденсированной фазе интенсивность интеркомбинац. переходов увеличивается в результате межмолек. обменного взаимодействия с тяжелым внешним атомом А. Роль А в увеличении интенсивности $b-X$ перехода объясняется образованием столкновительного комплекса O_2-A . Рассмотрен механизм селективного влияния этого взаимодействия на интенсивность $b-X$ перехода.

В. И. Захарин

O₂

92: 118699n Intensities of spin-forbidden transitions in
molecular oxygen and selective heavy-atom effects. Minaev,
B. F. (Karaganda State Univ., 470061 Karaganda, USSR). *Int.*
J. Quantum Chem. 1980, 17(2), 367-74 (Eng). Intensities of
 $a^1\Delta g \leftarrow X^3\Sigma_g^-$ transitions in O₂ were calcd. on the basis of the
INDO method taking into account spin-orbit coupling by
perturbation theory. The transitions are magnetic dipole in
nature. The 1st of them (*a*-X) steals its intensity from $^3\Pi_g - ^3\Sigma_g^-$
and $^1\Pi_g - ^1\Delta_g$ transitions, which are detd. by the orbital angular-
momentum operator. This source is not the principal one for the
intensity of the 2nd (*b*-X) transition. Its intensity is stolen
principally from microwave transitions between spin sublevels of
the ground $^3\Sigma_g^-$ state. The last source explains the large
difference in intensities of the *a*-X and *b*-X transitions. Calcd.
oscillator strengths are in a good agreement with expt. The same
integrals that det. the intensity also det. the parameters of the
spin Hamiltonian for the groudn $^3\Sigma_g^-$ state. These parameters are
in good agreement with expt. also, showing the validity of the
whole calcn. In a condensed phase, the investigated transitions
are enhanced by intermol. exchange interaction. An external
heavy atom (EHA) enhances the *b*-X transition of O in soln.,
but does not influence the *a*-X transition. In the collision
complex O₂-EHA, which has a geometry without inversion
symmetry, the microwave transitions between spin sublevels of
the $^3\Sigma_g^-$ state obtain elec.-dipole moments, which are stolen from
the charge-transfer transition. This mechanism explains the
selective effect of EHA.

1980

unpublished

P.D. 1980.
92 n 14

O₂

1980

Ученые работ
Ученые работ
репертуар

195: 123108k Intensity of spin forbidden transitions in an oxygen molecule and selective action of an external heavy atom. Minaev, B. F. (Karagand. Univ., Karaganda, USSR). *Usp. Kvantovoi Khim. Kvantovoi Biol., Tr. Mezhdunar. Konf.* 1980, 1, 275-83 (Russ). Edited by Petrov, E. G.; Loewdin, Per Olov; Zener, M. Izd. Naukova Dumka: Kiev, USSR. The intensity of the singlet-triplet transitions $a^1\Lambda_g \rightarrow X^3\Sigma_g^-$ at 12,700 Å and $b^1\Sigma_g^+ \rightarrow X^3\Sigma_g^-$ at 7620 Å of O₂ was calcd. by the INDO method with consideration of the spin-orbited interaction.

C.A. 1981, 95, N14.

O₂

Lommel 9954

1980

44

Murrell J. N.

4. n.

однор

Israel J. Chem., 1980,
19, 283-289

O_2 , O_2^-

1980

Мекрон.
супукра,

Буенос.

активн.)
(однор.)

97: 150815m Oxygen and its radicals. I. Electron structure.
Mira, Lourdes; Manso, Carlos (Inst. Quim. Fisiol., Fac. Med.
Lisboa, Lisboa, Port. 1600). *Rev. Port. Bioquim. Apl.* 1980,
3(3), 181-94 (Port). A review with 9 refs. of the electronic
structure of O_2 and of its derivs. with biolog. activity: O_2^- , OH,
 OH^- , H_2O_2 , and O_3 .
E. Grunhut

C.A. 1982, 97, N 18



O₂

*ионизация,
Красное,
спектр*

1980
15 Б98. Спектроскопия электронного удара O₂ в области энергетических потерь 6,5—10,5 эВ. Nevell W. R., Khakoo M. A., Smith A. C. H. Electron impact spectroscopy of O₂ for energy losses in the range 6,5 to 10,5 eV. «J. Phys. B: Atom. and Mol. Phys.», 1980, 13, № 24, 4877—4896 (англ.)

Методом спектроскопии электронного удара исследовано неупругое рассеяние электронов молек. кислородом в области энергетических потерь 6,5—10,5 эВ (энергия падающих электронов $E=100$ —500 эВ, углы рассеяния 5—40°). Описаны и обсуждены конструктивные особенности электронного спектрометра. В спектре наблюдались континуум Шумана—Рунге (I) ($\sim 7,0$ —9,5 эВ) и полосы $\sim 9,8$ эВ (II) и 10,3 эВ (III). В I получена плохо разрешенная колебательная структура ($v'=0$ —3), связанная с возбуждением состояния ${}^3\Pi_g$, и ряд подполос, связанных с диссоциативными процессами в результате пересечения потенциальной кривой валентного состояния $B^3\epsilon_u^-$ с потенциальными кривыми отталкивательных состояний ${}^1\Pi_u$, ${}^3\Pi_u$ и ${}^5\Pi_u$. Для I сопоставляются имеющиеся данные по положению максимума интенсивности, верхнему и нижнему энергетич.

22.1981.07.15

пределам и оптич. силе осциллятора (f), полученные методами фотопоглощения и электронного удара. Приведены эксперим. данные (I—III) по зависимости: f от K^2 (K — перенос момента) и абсолютных дифференциальных сечений ($d\sigma/d\Omega$) от угла рассеяния. Рассчитаны кажущиеся обобщенные силы осцилляторов и $d\sigma/d\Omega$ для I—III при различных углах рассеяния (с интервалом 5°) и E (интервал $\Delta E = 100$ эВ). Получены значения f для II и III ($E = 100—500$ эВ). Обсуждена природа полос II и III.

В. М. Ковба

ма и
чя,

1980

O₂(triplet)

2f. seek.
pacrem

(cell. Hz; III)

Paciari A.H., et al.;
Int. J. Quantum Chem.,
1980, 18(3), 661-73.

10.80

O₂

2 Д547. Влияние температуры и магнитного поля на полосы перехода $b^1\Sigma_g^+ \leftarrow X^3\Sigma_g^-$ молекулы O₂ в твердом растворе в α -N₂. Павлощук В. А., Пикус Ю. Г., Шанский Л. И. «Оптика и спектроскопия», 1980, 49, № 5, 867—875

Обнаружена температурная зависимость интенсивности магнитодипольного перехода $b^1\Sigma_g^+ \leftarrow X^3\Sigma_g^-$ в молекулах O₂, изолированных в матрице α -N₂ обусловленная особенностями структуры уровней основного состояния молекулы O₂. Наблюдаемое во внешнем магн. поле изменение контура и интенсивности бесфононной линии этого перехода в твердом растворе O₂ в α -N₂ связано с расщеплением триплетного основного состояния O₂.

Резюме

Спектр

Ф. 1981. N2

1980

 O_2

94: 9492k Effect of temperature and magnetic field on
 $\text{f}^1\Sigma_g^+ \leftarrow \text{X}^3\Sigma_g^-$ transition bands of an oxygen molecule in a
solid solution in α -nitrogen ($\alpha\text{-N}_2$). Pavloshchuk, V. A.;
Pikus, Yu. G.; Shanskii, I. I. (USSR). Opt. Spektrosk. 1980,
49(5), 867-75 (Russ). The temp. dependence of intensity of the
magnetic dipole transition $\text{f}^1\Sigma_g^+ \leftarrow \text{X}^3\Sigma_g^-$ of the O_2 mol isolated
in $\alpha\text{-N}_2$ matrixes is specified by structure features of the ground
state level of the O_2 mol. In external magnetic fields changes
were obsd. in contour and intensity of phononless lines of this
transition in solid solns. of O_2 in $\alpha\text{-N}_2$ that are coupled with
splitting of the triplet ground O_2 state.

unreliable

JC

P.A.1981.N2.94

1980

 O_2

4 Б149. Влияние температуры и магнитного поля на полосы перехода $b^1\Sigma_g^+ \leftarrow X^3\Sigma_g^-$ молекулы O_2 в твердом растворе $B\alpha-N_2$. Павлощук В. А., Пикус Ю. Г., Шанский Л. И. «Оптика и спектроскопия», 1980, 49, № 5, 867—875.

влияние t
и магнитн.
поля на
полосы перео-
 $g^4 B^1\Sigma_g^+ \leftarrow X^3\Sigma_g^-$

- Обнаружена тройная зависимость интенсивности магнито-дипольного перехода $b^1\Sigma_g^+ \leftarrow X^3\Sigma_g^-$ в молекулах O_2 изолированных в матрице $\alpha-N_2$, обусловленная особенностями структуры уровней основного состояния молекулы O_2 . Наблюдаемое во внешнем магнитном поле изменение контура и интенсивности бесфононной линии этого перехода в тв. р-ре O_2 в $\alpha-N_2$ связано с расщеплением триплетного основного состояния O_2 . Резюме

Х. 1981. N4

O_2

O_2^+

Омск 10304

1980

ЗД95. Изучение ридберговских состояний O_2 неэмпирическим методом конфигурационного взаимодействия. II. Расчеты состояний ${}^3\Sigma_g^-$, ${}^3\Sigma_u^-$, ${}^3\Pi_g$, ${}^1\Pi_g$ и ${}^1\Sigma_g^+$. Ab initio configuration interaction study of the Rydberg states of O_2 . II. Calculations on the ${}^3\Sigma_g^-$, ${}^3\Sigma_u^-$, ${}^3\Pi_g$, ${}^1\Pi_g$ and ${}^1\Sigma_g^+$ symmetries. Saxon Roberta P., Liu B. «J. Chem. Phys.», 1980, 73, № 2, 876—880 (англ.)

Методом, описанным в предыдущей статье (ч. I см. реф. ЗД94), получены диабатич. кривые низших ридберговских состояний симметрии ${}^3\Sigma_g^-$, ${}^3\Sigma_u^-$, ${}^3\Pi_g$, ${}^1\Pi_g$ и ${}^1\Sigma_g^+$. Отмечено, что форма этих потенц. кривых близи минимума практически одинакова. Для состояния ${}^1\Pi_g$ энергии колебательных уровней сопоставлены с соответствующими данными для иона O_2^+ .

В. И. Барановский

(71) Р

Ф. 1981 № 3

1980

O₂

ommunic 10304

ICB. NICK,
faerber

93: 120743m Ab initio configuration interaction study of the Rydberg states of diatomic oxygen. II. Calculations on the $^3\Sigma_g^-$, $^3\Sigma_u^-$, $^3\Pi_g$, $^1\Pi_g$, and $^1\Sigma_g^+$ symmetries. Saxon, Roberta P.; Liu, B. (Mol. Phys. Lab., SRI Int., Menlo Park, CA 94025 USA). *J. Chem. Phys.* 1980, 73(2), 876-80 (Eng). CI calcns. were performed for the $^3\Sigma_g^-$, $^3\Sigma_u^-$, $^3\Pi_g$, $^1\Pi_g$, and $^1\Sigma_g^+$ symmetries of O₂. The lowest diabatic Rydberg state for each symmetry is presented. Vibrational energy levels of the $^1\Pi_g$ Rydberg state are given. The extent of Rydberg-valence interaction is discussed and the $^3\Sigma_u^-$ state is occupied with a previous calcn.

CA 1980 93 n 12

O₂

отмечено 10304

1980

4 Б28. Исследование ридберговых состояний О₂ неэмпирическим методом конфигурационного взаимодействия. II. Расчеты состояний $^3\Sigma_g^-$, $^3\Sigma_u^-$, $^3\Pi_g$, $^1\Pi_g$ и $^1\Sigma_g^+$. Saxon Roberta P., Liu B. Ab initio configuration interaction study of the Rydberg states of O₂. II. Calculations on the $^3\Sigma_g^-$, $^3\Sigma_u^-$, $^3\Pi_g$, $^1\Pi_g$, and $^1\Sigma_g^+$ symmetries. «J. Chem. Phys.», 1980, 73, № 2, 876—880 (англ.)

помеч.
Кривокол

В рамках вычислительной схемы, предложенной для расчета диабатич. потенциальных кривых ридберговых состояний двухатомных молекул (см. пред. реф.) проанализированы состояния симметрии $^3\Sigma_g^-$, $^3\Sigma_u^-$, $^3\Pi_g$, $^1\Pi_g$ и $^1\Sigma_g^+$ молекулы O₂. Размерности пространств много конфигурац. функций состояния составляли от 3639 (для $^1\Sigma_g^+$) до 9222 ($^3\Pi_g$). Выделены диабатич. потенциальные кривые низших ридберговых состояний,

арис

Х. 1981.11.4

коррелирующие с диссоциац. пределами $O(^5P) + O(^3P)$ -
 $(^3\Sigma_g^-$ и $^3\Sigma_u^-$), $O(^3S) + O(^3P)$ ($^1\Sigma_g^+$, $^1\Pi_g$), $O(^3P) +$
 $+ O(^5S)$ ($^3\Pi_g$). Отмечено, что вследствие высоких поряд-
ковых номеров корней векового ур-ния, отвечающих
ридберговым состояниям, относит. расположение потен-
циальных кривых ридбергова и возбужденных (в пер-
вую очередь ионных) состояний в каждом типе симмет-
рии может быть неверным. Однако взаимное распо-
ложение ридберговых состояний разных симметрий долж-
но быть правильным. С полученными потенциальными
кривыми рассчитаны колебательные уровни $^3\Pi_g$ - и
 $^1\Pi_g$ -состояний, к-рые сопоставлены с эксперим. данны-
ми. Отмечены отличия найденной потенциальной кривой
ридбергова состояния $^3\Sigma_u^-$ от кривой, рассчитанной
ранее Бюнкером и Пейеримхоф.

А. В. Немухин

документ 10305 1980

Q₂

4 Б27. Исследование ридберговых состояний O₂ неэмпирическим методом конфигурационного взаимодействия. I. Общая вычислительная процедура для диабатических молекулярных ридберговых состояний и пробные расчеты $^3\Pi_g$ -состояний O₂. Saxon Roberta P., Liu B. Ab initio configuration interaction study

of the Rydberg states of O₂. I. A general computational procedure for diabatic molecular Rydberg states and test calculations on the Σ^1I_g states of O₂. «J. Chem. Phys.», 1980, 73, № 2, 870–875 (англ.).

Обсуждена вычислительная схема расчетов диабатич. потенциальных кривых ридберговых состояний двух атомных молекул. Расчет проводится методом конфигурац. взаимодействия (КВ), для каждого межъядерного расстояния анализируются многоконфигурац. ф-ции состояния и найденные при решении векового ур-ния коэф. в этих ф-циях перед отдельными конфигурациями, после чего состояния с малыми весами конфигураций, построенных из валентных или оставных орбиталей, относятся к ридберговым. При изменении межъ-

Июль 1981
Крибас

2'1981 N4

ядерного расстояния ридбергов характер может оказаться присущим, вообще говоря, др. адиабатич. состоянию, поэтому диабатич. потенциальная кривая ридбергова состояния получается сложной кривой, пересекающей ряд адиабатич. потенциальных кривых. Изложенная схема применена к анализу ридбергова $^3\Pi_g$ -состояния молекулы O_2 , коррелирующего с диссоциацией пределом $O(^3P) + O(^5S)$ [следующим за низшими пределами $O(^3P) + O(^3P)$, $O(^3P) + O(^1D)$, $O(^3P) + O(^1S)$, $O^+ (^4S) + O^- (^2P)$]. При вычислениях использован базисный набор слейтеровских функций s -, p - и d -типа. Коэф. разложений МО по базисным орбитам найдены в рамках многоконфигурац. метода ССП с набором конфигураций, позволяющим качественно правильно описать диссоциацию рассмотренных состояний. Проанализированы несколько вариантов выбора окончательных разл. КВ, различающихся способом учета корреляционных эффектов при описании валентных и ридберговых состояний. Отмечено, что во всех случаях получаются близкие результаты для диабатич. потенциальной кривой ридбергова состояния. Найдено, что в рассмотренном примере взаимодействие валентных и ридбергова состояний достаточно мало. Вблизи минимума рассчитанная потенциальная кривая ридбергова состояния O_2 близка к потенциальной кривой $^2\Pi_g$ -состояния O_2^+ , известной на основании анализа методом РКР.

А. В. Немухин

O₂

Ames 10305

1980

93: 122757t Ab initio configuration interaction study of the Rydberg states of diatomic oxygen. I. A general computational procedure for diabatic molecular Rydberg states and test calculations on the $^3\Pi_g$ states of diatomic oxygen. Saxon, Roberta P.; Liu, B. (Mol. Phys. Lab., SRI Int., Menlo Park, CA 94025 USA). *J. Chem. Phys.* 1980, 73(2), 570-5 (Eng). CI calens. were performed on the $^3\Pi_g$ symmetry of O₂ which establish a general computational procedure for diabatic mol. Rydberg states. Three different calcns. which include varying amts. of electronic correlation for the Rydberg and valence states are reported. The interaction potentials for the lowest diabatic Rydberg state from these 3 calens. are in excellent agreement showing that semi-internal correlation energy of Rydberg states has little effect on the potential curves. The Rydberg state is exceeding similar to the O₂⁺ $^2\Pi_g$ state to which the $^3\Pi_g$ Rydberg series converges. Energies for the lowest 4 Rydberg vibrational levels are presented.

CA 1980 93 n12

O₂

Отмиси 103 05

1980

З Д94. Изучение ридберговских состояний O₂ не-
эмпирическим методом конфигурационного взаимодействия. I. Общая методика расчета для диабатических молекулярных ридберговских состояний и тестовые расчеты состояний ³P_g молекулы O₂. Ab initio configuration interaction study of the Rydberg states of O₂. I. A general computational procedure for diabatic molecular Rydberg states and test calculations on the ³P_g states of O₂. Saxon Roberta P., Liu B. «J. Chem. Phys.», 1980, 73, № 2, 870—875 (англ.)

На примере расчета ридберговского состояния (РС) ³P_g молекулы O₂ опробована методика получения диабатич. кривых РС двухатомных молекул, которая заключается в следующем. Методом КВ проводятся расчеты адиабатич. кривых ряда возбужденных состояний, и для каждого межатомного расстояния выбирается состояние, носящее ридберговский характер; через отобранные таким образом точки проводится кривая.

КВ. меx.
расчет

Ф. 1981 № 3

которую можно рассматривать как диабатическую. Расчеты $^3\Pi_g$ РС O_2 производились в расширенном (главным образом за счет диффузных ф-ций) слэтеровском базисе. Выполнено три серии расчетов, отличающихся степенью учета внутренней и полу внутренней корреляционной энергии РС. Оказалось, что учет указанных корреляций мало влияет на форму потенц. кривой РС $^3\Pi_g$. Структура колебательных уровней этого состояния очень близка к структуре колебательных уровней O_2^+ ($^2\Pi_g$). Отмечены сложности, возникающие при теоретич. изучении смешения валентных и ридберговских состояний.

В. И. Барановский

ин.
пр

O_2

Lommel 10769

1980

Sexton B.A.; Madix R.J.

Keppler
Chen,

Chem. Phys. Lett., 1980,
76 (2), 294-97.

Chenop

Vibrational spectra of molecular and atomic oxygen on $Ag(110)$

O₂

1980

Shimizu T., et al

u.b. enkmp.

Appl. Phys., 1980, 21, N¹,
29-34.



Can NH₃ ; III

1980

O₂

crekom
torous.

Steele W.A., et al.,
J. Chem. Phys., 1980,
72, N4, 2250-2259

(au. N₂; II)

1980

 O_2

2 Д108. Спектроскопия электронного совпадения для O_2 : распределение импульсов валентных электронов и энергии связывания. Electron coincidence spectroscopy of O_2 : valence electron momentum distributions and binding energies. Suzuki L. H., Weigold E., Grion C. E. «J. Electron Spectrosc. and Relat. Phenom.», 1980, № 4, 289—303 (англ.)

Методом ($e, 2e$)-спектроскопии получены спектры распределения импульсов для валентных орбитальных переходов и энергии связывания для молекулы кислорода. Найдено, что внешняя орбита Π_g значительно более диффузна в импульсном пространстве, чем орбиты Π_u . На основе анализа распределения импульсов пики 39 и 47 эв отнесены к ионным состояниям $^2\Sigma_g^-$ и $^4\Sigma_g^-$. Распределение по моменту импульсам и наблюдаемая интенсивность перехода 32,5 эв подтверждают отнесение этого перехода к состоянию $^2\Pi_u$. Измеренные относят интенсивности для различных переходов типов Π_u и Σ_u качественно согласуются с результатами расчетов методами конфигурац. взаимодействия и ф-ции Грина.

А. Дементьев,

Свердловск.
Д. соблаж.

Р. 1981.12

1980

O₂

2 Б90. Электронная спектроскопия по методу совпадений молекулы O₂: энергии связи и импульсные распределения валентных электронов. Suzuki I. N., Weigold E., Brion C. E. Electron coincidence spectroscopy of O₂: valence electron momentum distributions and binding energies. «J. Electron Spectrosc. and Relat. Phenom.», 1980, 20, № 4, 289—303 (англ.)

Методом (e , $2e$)-спектроскопии исследованы энергии связи и импульсные распределения валентных электронов в молекуле O₂. (e , $2e$)-Спектры были получены при возбуждении молекулы пучком перв. электронов с энергиями 400 и 1200 эв. Установлено, что верхняя Π_g -МО в O₂ описывается волновой функцией, значительно более протяженной в импульсном пространстве, чем более глубокая Π_u -МО. Этот результат связан с однократной

X. 1981 N 2

заселенностью MO 1 Π_g в основном состоянии $X^3\Sigma_g^-$ молекулы O₂. Пики в ($e, 2e$)-спектре при энергиях связи 39 и 47 эв на основании импульсного распределения соответствующих MO отнесены к состояниям ${}^4, {}^2\Sigma_g^-$ иона O₂⁺, а пик с энергией связи 32,5 эв отнесен к ${}^2\Pi_u$ -состоянию иона. Относит. интенсивности пиков в измеренных спектрах качественно согласуются с результатами расчетов методом конфигурац. взаимодействия и функций Грина. Проведенные измерения показали, что энергетич. зависимость сечений ($e, 2e$)-рассеяния слабо зависит от энергии перв. пучка электронов, что указывает на применимость импульсного приближения для описания процессов ($e, 2e$)-рассеяния.

И. А. Тополь

O₂

1980

Tessell J. A.; et

J. Phys. Chem. Solids 1980,
41(90), 1047-52

ref. work.
paper

Te; De

cell. O₂⁻- \bar{m}

1980

O₂

NO

N₂

NH

Chemical
Reactions.

V92: 171932j Chemiluminescence of molecular nitrogen, imidogen, and molecular oxygen in argon matrices. Van de Bult, C. E. P. M.; Allamandola, L. J.; Baas, F.; Van IJzendoorn, L.; Greenberg, J. M. (Lab. Astrophys., Huygens Lab., 2300 Leiden, Neth.). *J. Mol. Struct.* 1980, 61, 235-8 (Eng). The chemiluminescence spectra from O₂, NO, N₂ and NH were obtained during warm-up of vacuum UV photolyzed mixts. of Ar contg. small amts. of H₂O and/or NH₃. The spectra can be explained by recombination reactions between the trapped (ground state) atoms N(⁴S) and O(³P), and in the case of the obsd. NO₃ system, also by the excited N(²D) atoms. The presence of N(²D) atoms during sample warm-up is further evidenced by the obsd. N(²D) → N(⁴S) transition.

(+3) 47

CA 1980 92 n20

O₂

(Lommel 9740) 1980

Vazandas R. Y. C.

paectef.

Nomencl.

97-94-8

J. Chem. Soc. Faraday
Trans. II, 1980, 76,
129 - 135

1980

Q₂

2Д544 ДЕП. Параметры спектральных линий красных полос молекулярного кислорода. Войцеховская О. К., Макушкин Ю. С., Сулакшина О. Н. Ред. ж. «Изв. вузов СССР. Физ.». Томск, 1980. 21 с., библиогр. 15 назв. (Рукопись деп. в ВИНИТИ 3 нояб. 1980 г., № 4658—80 Деп.)

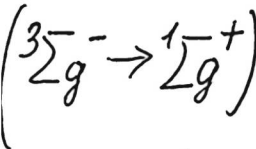
Для количеств. оценок ослабления монохроматич. излучения, распространяющегося в реальной атмосфере, необходимо учитывать поглощение энергии магнито-дипольными переходами в молекулярном кислороде. Проведен расчет интенсивностей и центров линий поглощения кислорода по методике, предложенной Уотсоном для переходов между синглет-триплетными состояниями.

Автореферат

Ф.1981.№2

O₂

1980



196: 76818a Parameters for spectral lines of the red bands of molecular oxygen. Voitsekhovskaya, O. K.; Makushkin, Yu. S.; Sulakshina, O. N. (USSR). Deposited Doc. 1980, VINITI 4658-80, 22 pp. (Russ). Avail. VINITI. The rotational line intensities in $^3\Sigma_g^- \rightarrow ^1\Sigma_g^+$ electronic transitions in the absorption spectra of atm. O₂ were calcd. using the J. K. G. Watson (1968) method.

pacrem
wener cult.
mmeui

C. A. 1982, 96, N10

O_2

Этот выпуск 9564

1980

19 Б157. Состояние $A'^3\Delta_u$ O_2 и связанные с ним спектры. Wright P. C. The $A'^3\Delta_u$ state of O_2 and related spectra. «Chem. Phys. Lett.», 1980, 71, № 1, 127—130 (англ.)

Более детально обосновывается сделанное ранее предположение, что состояние $A'^3\Delta_u$ молекулы кислорода обращенное, т. е. компонента с $\Omega=3$ — наиболее низко лежащая по энергии. С этой точки зрения обсуждаются нек-рые результаты выполненных ранее исследований, в частности объясняется факт наблюдения излучательных переходов только из компоненты $\Omega=3$ в состояние $a'\Delta_g$ и только из компонент $\Omega=1, 2$ в состояние $X^3\Sigma_g^-$. Рассматривается механизм заселенности компонент состояния $^3\Delta_u$ при рекомбинации атомов кислорода.

В. М. Ковба

X. 1980 N 19

O₂

отмече 9564

1980

У 8 Д304. Состояние $A' ^3\Delta_u$ молекулы O_2 и связанные с ним спектры. The $A' ^3\Delta_u$ state of O_2 and related spectra. W r a i g h t P. C. «Chem. Phys. Lett.», 1980, . 71, № 1, 127—130 (англ.)

Проанализированы спектральные данные по состоянию $A' ^3\Delta_u$ молекулы O_2 . Показано, что это состояние является инвертированным (наиизнейшей компонентой является $\Omega=3$). В связи с этим отмечена необходимость внесения корректив во многие ранее опубликованные работы. Объяснены хорошо известные факты: для компоненты с $\Omega=3$ наблюдается радиационный переход лишь в состояние $a^1\Delta_g$, а для компонент $\Omega=1,2$ — только в состояние $X^3\Sigma_g^-$. Рассмотрены возможные причины неравновесного заселения спиновых компонент состояния $A' ^3\Delta_u$. Библ. 21.

В. С. Иванов

φ 1980 № 8

O₂

1980

11 Д317. ИК-поглощение кислорода в кремнии и германии при низких температурах. Infrared absorption of oxygen in silicon and germanium at low temperatures. Xu Zhen-jia, Chen Yu-zhang, Jiang De-sheng, Song Chun-ying, Li He-cheng, Song Xiang-fang, Ye Yi-ying. «Ули сюэбао, Acta phys. sinica», 1980, 29, № 7, 867—877 (кит.; рез. англ.)

Методом фурье-преобразования исследованы ИК-спектры (4000—400 см⁻¹) кислорода (I) в кремнии и германии при т-рах 6—300°К и разрешении полос ~0,5 см⁻¹. Проведен анализ пределов чувствительности аппаратуры и методов определения конц-ии I в Si и Ge.

Ф. 1980 № 11

Ge. Отмечено, что в образце толщиной 2 см миним. конц-ия I в Si и Ge при т-ре 20°К составляет $9,6 \cdot 10^{14}$ атом/см³ и $3,0 \cdot 10^{14}$ атом/см³ соответственно. Показано, что конц-ия I в монокристаллич. Ge в значительной мере определяется способом и режимом выращивания монокристалла. Изучены изменения интенсивности компонент тонкой структуры ИК-полосы 1106 см⁻¹ Si при изменении т-ры для образцов с различным содержанием I. Предположено, что в исследованном температурном интервале конц-ия I в монокристаллах Si может быть оценена путем анализа структуры ИК-полосы 1106 см⁻¹ кристаллич. матрицы.

И. В. А.

O₂

документ 9369

1980

8 Д128. Численное исследование сходимости квадратичной и приближенно-квадратичной многоконфигурационных процедур Хартри — Фока. A numerical study of the convergency of second and approximate second-order multiconfiguration Hartree-Fock procedures. Yeager Dappu L., Jørgensen Pou l. «Mol. Phys.», 1980, 39, № 3, 587—596 (англ.)

Кв. иссл.
рассб

Проведено подробное численное исследование сходимости квадратичной и приближенно-квадратичной процедур Хартри—Фока. Рассчитаны возбужденное $2p^2 1S$ состояние Be и нижние состояния симметрии $^3\Sigma_g^+$, $^1\Delta_g$, $^1\Sigma_g^+$, $^1\Pi_g$, $^3\Pi_g$ молекулы O₂. Расчеты O₂ включали все конфигурации, которые можно построить из дважды занятых остовных орбиталей с 8 электронами в валентных оболочках $3\sigma_g$, $1\pi_u$, $1\pi_g$, $3\sigma_u$. В расчетах с квадратичной процедурой сходимость достигается за 4—6 итераций даже в тех случаях, когда приближенно-квадратичная процедура не дает сходимости. А. Н. Ермошкин

9P 1980 № 8

O₂

Отмск 12823

1981

4 Д559. Магнитный дипольный переход $a^1\Delta_g - X^3\Sigma_g^-$ в послесвечении кислорода. The magnetic dipole $a^1\Delta_g \rightarrow X^3\Sigma_g^-$ transition in the oxygen afterglow. Amiot C., Verges J. «Can. J. Phys.», 1981, 59, № 10, 1391—1398 (англ.; рез. фр.)

Магнитный дипольный переход $O_2(a^1\Delta_g - X^3\Sigma_g^-)$ зарегистрирован впервые при рекомбинации атомов ^{16}O в кислородном послесвечении. Полоса 0—0 этого перехода исследована с высоким разрешением с использованием фурье-интерферометра. В результате совместного анализа ИК- и микроволн. данных определены значения спектроскопич. постоянных для уровней $v=0$ состояний $a^1\Delta_g$ и $X^3\Sigma_g^-$. Библ. 27.

м.п.

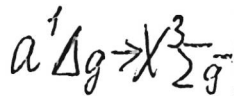
Ф. 1982, 18, № 4.

O₂

Omnilex 22863

1981

95: 228621a The magnetic dipole $a^1\Delta_g \rightarrow X^3\Sigma_g^-$ transition in the oxygen afterglow. Amiot, C.; Verges, J. (Lab. Phys. Mol. d'Opt. Atmospherique, F91405 Orsay, Fr.). *Can. J. Phys.* 1981, 59(10), 1391-8 (Eng). The magnetic dipole $a^1\Delta_g \rightarrow X^3\Sigma_g^-$ transition was obsd. for the 1st time during the recombination of ¹⁶O atoms in an afterglow. The spectrum of the 0-0 band was recorded with a high resoln. Fourier transform interferometer. Accurate mol. consts., obtained by combining IR and microwave data, are given for the $a^1\Delta_g$ and $X^3\Sigma_g^-$ ($v = 0$) electronic levels.



C.A. 1981, 95, n26

O₂

1981

-12 Д773. — Двухфотонная, индуцированная лазером флуоресценция атомов кислорода и азота. Two—photon laser—induced fluorescence in oxygen and nitrogen atoms. Bischel William K., Реггу Вгусе Е., Crosley David R. «Chem. Phys. Lett.», 1981, 82, № 1, 85—88 (англ.)

флуоресцен-
ции

Третьей антистоксовой компонентой комб. рас. в H₂ от второй гармоники излучения импульсного лазера на красителе осуществлялось двухфотонное возбуждение атомов кислорода и азота. Плотность атомов, создаваемых в потоке в газовом разряде, составляла (1—5) · 10¹⁴ см⁻³. Длительность импульсов 8 нс, энергия возбуждения ~30 мкДж в импульсе на длинах волн 226 нм (переход 2p³P—3p³P для OI) и 211 нм (2p³4S⁰—2p³3p⁴D⁰ для NI). Ширина линий возбуждения ~0,3 см⁻¹. Регистрировался сигнал флуоресценции при переходах 3p³P—3s³S в OI ($\lambda=845$ нм) и 2p³3p⁴D⁰—2p²3s⁴P в NI ($\lambda=869$ нм). Получены значения попере-

Δ

(+1)

do 1981, 18, N 12. → N₂

ных сечений двухфотонных переходов ($3 \cdot 10^{-28}$ и $2,4 \cdot 10^{-28}$ см⁴/Вт), радиационных времен жизни возбужденных состояний ($39,1 \pm 1,4$ и 27 ± 3 нс) и констант тушения при столкновении с молекулами N₂ (($2,5 \pm 0,1$) · 10^{-10} и ($2,4 \pm 0,6$) · 10^{-10} см³/с) для OI и NI, соответственно.

Е. Антонов



O₂

[ommerek 12815] 1981

oszop,
mopeu.
paereci.
illoceekys.
osbutane,
zeoneespeal,
y

Bohm M.C., Gleiter R.
Theor. chim. acta,
1981, 59(2), 153-179.

1981

O₂

Скорость
тушения
молек. CO₂
(ударная
труба)

12 Д792. Исследование в ударной трубе тушения синглетного кислорода (${}^1\Sigma_g^+$) двуокисью углерода. A discharge flow/shock tube study of the quenching of singlet oxygen (${}^1\Sigma_g^+$) by carbon dioxide. Боргелл Р. М., Боргелл Р., Грант К. Р.—European Conference on the Dynamics of Excited States, Pisa, 14—16 th Apr., 1980.—«Nuovo cim.», 1981, B63, № 1, 68—75 (англ.; рез. итал., рус.)

В ударной трубе измерены константы скорости тушения O₂(${}^1\Sigma_g^+$) молекулами CO₂ при т-рах 600—1300 К. Установлено, что константы скорости тушения уменьшаются при увеличении т-ры.

φ. 1981, 18, N 12.

O₂

Lommel et al. |

1981.

Borrell P. M., et al.

J. Chem. Soc. Faraday Trans. II
1980, 76, 1442-49.

A study of Three Dimol Emissions
of Singlet Oxygen O₂ ('S_g), ...

Одиссек 13834

1981

O₂
2 Д107. Неэмпирический расчет спин-орбитального взаимодействия в многоатомных молекулах при использовании волновых функций гауссова типа. Ab initio calculation of spin-orbit interaction in polyatomic molecules using Gaussian-type wavefunctions. Breulet Jacques. «J. Comput. Chem.», 1981, 2, № 3, 244—250 (англ.)

Разработан комплекс программ для расчета спин-орбитального взаимодействия в многоатомных молекулах, который может применяться совместно с программой GAUSSIAN 76, при использовании базиса из сгруппированных гауссовых ф-ций. В качестве примеров проведены расчеты параметров спин-орбитального взаимодействия для молекул O₂ ($X^3\Sigma_g^-$), NH ($X^3\Sigma_g^-$) и CH₂ (X^3B_1). Показано, что полученные параметры хорошо согласуются с аналогичными величинами, найденными при использовании базисов из слэтеровских ф-ций.

Е. А. Ж.

4
72

оф. 1982, 18, №.

O₂

Отмск 12261

1981

3 Б234. Новая оптически запрещенная ридберговская серия O_2 , сходящаяся к пределу $O_2^+(c^4\Sigma_u^-)$. Dillon M. A., Spence David. A new, optically forbidden Rydberg series in O_2 converging to the $O_2^+ c\Sigma_u^-$ limit. «J. Chem. Phys.», 1981, 74, № 11, 6070—6074 (англ.)

Проведено эксперим. исследование неупругого рассеяния электронов с энергией 75—400 эВ (для углов рассеяния 2—12°) на кислороде. Дано краткое описание использованной техники, обсуждена точность эксперимента. Изучение потерь энергии при больших углах рассеяния позволило отобрать четыре полосы (21,85; 23,30; 23,80; 24,06 эВ), относенные к запрещенной ридберговской серии, сходящейся к $O_2^+(c^4\Sigma_u^-)$. Квантовый эффект оценен как 0,75. Высказано мнение, что найденные полосы отвечают возбужденным состояниям типа ${}^3\Sigma_g^-$, получаются при переходах типа $\sigma_u 2s \rightarrow \text{пр}\sigma_u$ для $n = 3, 4, 5, 6$.

В. И. Пупышев

Х. 1982, 19, N3.

O₂

Oxygen 11397 1981

194: 216798e The vibration-rotation Raman spectra of molecular oxygen ¹⁸O₂, ¹⁷O¹⁸O, ¹⁷O₂ and ¹⁶O₂. Edwards, H. G. M.; Long, D. A.; Najm, K. A. B.; Thomsen, M. (Sch. Chem., Univ. Bradford, West Yorkshire, Engl. BD7 1DP). *J. Raman Spectrosc.* 1981, 10(Sergio Porto Commemorative Issue), 60-3 (Eng).

Koiedam.
Spann.
enrich
Ze

The vibration-rotation Raman spectra of the oxygen species ¹⁸O₂, ¹⁷O¹⁸O, ¹⁷O₂ were recorded and analyzed; the spectra of the ¹⁷O¹⁸O and ¹⁷O₂ species are reported for the 1st time. The I_e and α values from these analyses were used to calc. values for the equil.-state rotational consts., B_e , and hence the bond lengths, r_e . A weighted mean $r_e = 120.754 \pm 0.001$ pm for the O₂ mol. was obtained.

P.A. 1981. 94 N 26.

Однотип. 11397 1981

Q₂
9 Д474. Колебательно-вращательные спектры комбинационного рассеяния $^{18}\text{O}_2$, $^{17}\text{O}^{18}\text{O}$, $^{17}\text{O}_2$ и $^{16}\text{O}_2$. The vibration-rotation Raman spectra of $^{18}\text{O}_2$, $^{17}\text{O}^{16}\text{O}$, $^{17}\text{O}_2$ and $^{16}\text{O}_2$. Edwards H. G. M., Long D. A., Najm K. A. B., Thomsen M. «J. Raman Spectrosc.», 1981, 10, Jan., 60—63 (англ.)

Получены колебательно-вращательные спектры комб. рас. молекул $^{18}\text{O}_2$, $^{17}\text{O}^{18}\text{O}$, $^{17}\text{O}_2$ и $^{16}\text{O}_2$ при возбуждении лазерной линией 488,0 нм мощностью 1,2 Вт. Идентифицированы компоненты вращательной структуры O -, Q - и S -ветвей полосы колебания перечисленных молекул. Определены спектроскопич. постоянные B_0 , a , B_e и длины связей r_e для равновесных вращательных состояний. Отмечено удовлетворительное согласие теоретич. и эксперим. значений частот вращательных переходов в изотопически-замещенных молекулах O_2 со средней ошибкой $\nu_{\text{эксп.}} - \nu_{\text{выч.}} = \pm 0,002 \text{ см}^{-1}$. Показано, что спектроскопич. константы изотопически-замещенных молекул O_2 , определенные путем анализа колебательно-вращательных спектров комб. рас. коррелируют с аналогичными постоянными, вычисленными при сопоставлении полос чисто вращательных переходов в молекулах O_2 и его изотопич. аналогах. Библ. 11.

Мин.

Ф. 1981 № 9

И. В. А.

O₂

отмсеси 11397

1981

16 Б295. Колебательно-вращательный спектр комбинационного рассеяния $^{18}\text{O}_2$, $^{17}\text{O}^{18}\text{O}$, $^{17}\text{O}_2$ и $^{16}\text{O}_2$. Edwards H. G. M., Long D. A., Najm K. A. B., Thomsen M. The vibration-rotation Raman spectra of $^{18}\text{O}_2$, $^{17}\text{O}^{18}\text{O}$, $^{17}\text{O}_2$ and $^{16}\text{O}_2$. «J. Raman Spectrosc.», 1981, 10, Jan., 60—63 (англ.)

Записан спектр КР (изотопных разновидностей $^{18}\text{O}_2$ (I), $^{18}\text{O}^{17}\text{O}$ (II), $^{17}\text{O}_2$ (III), $^{16}\text{O}_2$ (IV)) молекулы кислорода в области 1500 мс^{-1} . Спектр отнесен к O, Q и S ветвям стокской $v=1 \leftarrow v=0$ полосы. Спектр обработан по известным полиномиальным ф-лам для колебательно-вращательной энергии невырожденного электронного состояния двухатомной молекулы. Для всех разновидностей I—IV молекулы кислорода установлены значения B_0D_0 (вращательной, центробежной постоянных основного колебательного состояния) и $\alpha = -(B_1 - B_0)$. Из них для I—IV вычислены величины

спектр
К. Р.

М.Н.

2.1981.№16

равновесных вращательных постоянных B и длии связей r_e : $^{16}\text{O}_2$: $B_e = 1,28458 \pm 0,00003 \text{ см}^{-1}$, $r_e = 120,756 \pm 0,003 \text{ пм}$, $^{17}\text{O}^{18}\text{O}$: $B_e = 1,32270 \pm 0,00003 \text{ см}^{-1}$, $r_e = 120,754 \pm 0,002 \text{ пм}$, $^{17}\text{O}_2$: $B_e = 1,36041 \pm 0,00003 \text{ см}^{-1}$, $r_e = 120,754 \pm 0,002 \text{ пм}$, $^{16}\text{O}_2$: $B_e = 1,44559 \pm 0,00002 \text{ см}^{-1}$, $r_e = 120,754 \pm 0,002 \text{ пм}$. Получено среднее значение $r_e = 120,754 \pm 0,001 \text{ пм}$ для молекулы кислорода. Приведены наблюденные и вычисленные волновые числа колебательно-вращательных линий для вращательного квантового числа N от 1 до 15—19. Отмечено хорошее согласие полученных значений для B_0 , D_0 , r_e с лит. данными.

В. М. Михайлов

O₂

1981

9 Д448. Микроволновые спектры молекул $^{16}\text{O}^{17}\text{O}$ и $^{18}\text{O}^{17}\text{O}$. Microwave spectra of $^{16}\text{O}^{17}\text{O}$ and $^{18}\text{O}^{17}\text{O}$. Cazzoli G., Degli Esposti C., Favero P. G., Segre G. «Nuovo cim.», 1981, B62, № 1, 243—254 (англ.; рез. итал., рус.)

*исследованы
спектры*

В диапазоне 50—120 ГГц исследованы микроволн. спектры молекул $^{16}\text{O}^{17}\text{O}$ и $^{17}\text{O}^{18}\text{O}$. Идентифицированы линии магнитно-дипольных переходов с $J \leq 12$ в основном колебательном состоянии. Анализ спектров выполнен с учетом электрического квадрупольного и магнитного спин-вращательного взаимодействий. Определены значения параметров этих взаимодействий. М. Р. Алиев

M. R.

φ. 1981 N9

$^{16}\text{O}^{17}\text{O}$, $^{17}\text{O}^{18}\text{O}$

1981

' 95: 15356f Microwave spectra of oxygen-16-oxygen-17 and
oxygen-18-oxygen-17. Cazzoli, G.; Degli Esposti, C.; Favero,
P. G.; Severi, G. (Lab. Spettrosc. Mol., CNR, 40126 Bologna,
Italy). *Nuovo Cimento Soc. Ital. Fis. B* 1981, 62B(1), 243-54
(Eng). The millimeter wave spectra of $^{16}\text{O}-^{17}\text{O}$ and $^{17}\text{O}-^{18}\text{O}$ were
obsd. and analyzed. Five parameters of the fine-structure
Hamiltonian and 3 of the hyperfine-structure Hamiltonian were
detd. for both isotopic species. The r_s and approx. r_s structures
were also detd.

(Nf check)
(2e)

C.A. 1981, 95, N2.

1931

 O_2 ν_i

16 Б180. Изучение бимолекулярного испускания возбужденного молекулярного кислорода в области 0,6344 мкм. Fisk G. A., Hays G. N. A study of the 0.634 μm dimol emission from excited molecular oxygen. «Chem. Phys. Lett.», 1981, 79, № 2, 331—333 (англ.)

Определена константа скорости (k_d) бимолек. излу-

 E_d

чательного процесса $2O_2(a^1\Delta_g) \rightarrow 2O_2(X^3\Sigma_g^-) + h\nu$ ($\lambda = 0,634$ мкм, $k_d = (4,4 \pm 1,3) \times 10^{-23}$ см³/молекула·сек). Использовали два источника возбуждения молек. кислорода — микроволновый и химический. Одновременно с бимолек. излучением регистрировалось мономолек. излучение связанное с переходом $O_2(a^1\Delta_g) \rightarrow O_2(X^3\Sigma_g^-)$ ($\lambda = 1,27$ мкм). Сделан вывод, что к k_d не зависит от давл. кислорода вплоть до $P_{O_2} = 4,5$ мм и давл. аргона $P < 77$ мм.

В. М. Ковба

Х. 1981. № 6

$O_{\bar{n}}$

Lammer et al 12732 | 1981.

Fleizar S., et al.

Kb. uex.
pacler

Canad. J. Chem., 1981,
59, 1074-82.

O₂

Омск 12760

1981

| 9 Б149. Экспериментально определенные силы осцилляторов и ширины линий для системы полос Шумана — Рунге молекулярного кислорода. III. Полосы от (7—0) до (19—0). Gies H. P. F., Gibson S. T., McCoy D. G., Blake A. J., Lewis B. R. Experimentally determined oscillator strengths and linewidths for the Schumann — Runge band system of molecular oxygen. III. The (7—0) to (19—0) bands. «J. Quant. Spectrosc. and Radiat. Transfer», 1981, 26, № 6, 469—481 (англ.)

С разрешением 0,006 нм измерены спектры поглощения молек. кислорода в области системы полос Шумана — Рунге ($B^3\Sigma_u^- - X_3\Sigma_g^-$, 175—200 нм) в интервале давл. 1—300 Тор и при т-рах от комнатной (полосы 11-0—15-0) до —90 К (полосы 15-0—19-0). Измерены и проанализированы полосы 7-0—14-0. С. Б. Осин

X. 1982, 19, №.

O₂

Omnuck 12760 1981

fm/1 ;

195: 228588v Experimentally determined oscillator strengths and linewidths for the Schumann-Runge band system of molecular oxygen. III. The (7-0) to (19-0) bands. Gies, H. P. F.; Gibson, S. T.; McCoy, D. G.; Blake, A. J.; Lewis, B. R. (Dep. Phys., Univ. Adelaide, Adelaide, 5001 Australia). *J. Quant. Spectrosc. Radiat. Transfer* 1981, 26(6), 469-81 (Eng). Exptl. oscillator strengths and predissocn. linewidths were derived from equiv. width measurements at room temp. for the (11-0) to 15-0) Schumann-Runge bands of mol. O₂ and at low temp. for the (15-0) to (19-0) bands, using the Adelaide 6 m vacuum UV monochromator operated at a resoln. of 0.006 nm. Photometric methods were used to measure the UV absorption for 40 groups of rotational strengths and pre-dissocn. linewidths. The variation of the oscillator strengths with N'' within each band was found to agree well with theor. predictions of A. C. Allison (1975), while the mean band oscillator strengths derived from the results are in good agreement with previous measurements. The results demonstrate the need for accurate data about multiplet line splittings. A revised anal. of previous data for the (7-0) to (14-0) bands is also presented.

C. A. 1981, 95, N 26 .

D₂
[Omnuck 13408]

1981

Kf. Mex.
pacet

Gollisch H.,

J. Phys. B: Atom and
Mol. Phys., 1981, 14, N23;



4457 - 4467.

O₂

[Oxygen 12271] 1981

mol.

Clydeffa
(O₂30f)
D_i

Gorman A. A.

Chem. Soc. Rev., 1981,
10 (2), 205-234.



Singlet Molecular Oxygen.

1981

O₂

Managuchi Hiro-o, Suzuki-
ki I., et al.,

Kb. eeeK.
paeeim

Mol. Phys., 1981, 43,
N4, 963 - 973.

(ee. H₂; $\underline{11}\bar{1}$)

D₂

[Omnimatic 12183] 1981.

(D₂)

Hasaninein S. S., et al.

Kb. week.
packets,
nomesas.
Kfubose

Advanc. Mol. Relax.
and Interact. Processes
1981, 20, 215-231.

O₂

1981

Horigou N., et al.

Chem. Phys. 1981,
57 (3), 475 - 485.

(γ; KB.uex.
parcier).



(Ces. N₂; III).

1981

O₂

E³Σ

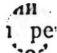
6 Д71. Обобщение приближения Ньютона—Рафсона и независящего от вырождения приближения Ньютона—Рафсона в теории многоконфигурационного метода Хартри—Фока. Generalizations of Newton—Raphson and multiplicity independent Newton—Raphson approaches in multiconfigurational Hartree—Fock theory. Jørgensen Poul, Olsen Jeppe, Yeager Danny L. «J. Chem. Phys.», 1981, 75, № 12, 5802—5815 (англ.)

Проведен анализ сходимости итерационных процедур Ньютона — Рафсона и Чебышева, применяемых для решения ур-ний многоконфигурац. метода Хартри—Фока. Показано, что простая процедура Ньютона—Рафсона обладает плохой сходимостью в случае малых собственных значений матрицы гессиана и расходится при нулевых собств. значениях гессиана. В этой связи рассмотрены различные пути обобщения схемы Ньютона—Рафсона и предложена методика, позволяющая избе-

9. 1982, 18, №.

гать плохой сходимости, вызванной малыми собственными значениями гессиана. Проведенный тестовый расчет состояния $E^3\Sigma$ молекулы O_2 демонстрирует эффективность развитой методики. В работе выведены также общие выражения для построения итерационных схем решения ур-ний ССП, обладающих кубической, квартичной и т. д. скоростями сходимости и проанализированы условия стабильности решений многоконфигурац. метода ССП.

А. И. Дементьев



Омск 11977 1981

O₂

2 Д648. Полосы поглощения I , I' и I'' молекулы O₂ в области 790—865 Å. The I ; I' , and I'' absorption bands of O₂ in the region 790—865 Å. Katayama D. H., Tanaka Y. «J. Mol. Spectrosc.», 1981, 88, № 1, 41—50 (англ.)

Спектр поглощения молекул ¹⁶O₂ и ¹⁸O₂ сфотографирован в области 790—865 Å с линейной дисперсией 0,619 Å/мм. Расположенные в этой области диффузные полосы приписаны трем колебательным прогрессиям I , I' и I'' , отвечающим переходам с уровня $v''=0$ основного состояния. На основании анализа изотопных сдвигов выполнена нумерация колебательных полос и определены колебательные постоянные верхнего электронного состояния. Величина квантового дефекта и колебательные постоянные этого состояния близки к соответствующим величинам состояния $a^4\Pi_{u;}$ иона O₂⁺, что указывает на ридберговский характер этого состояния. Дополнительным подтверждением того, что верхнее состояние имеет симметрию $^3\Pi_u$ служит измеренное значение величины спин-орбитального расщепления и особенности вращательной структуры полос. Библ. 26.

В. А. Е.

д. 1982, 18, № 2.

O_2

Омск 11/977

1981

№ 4 Б208. Полосы поглощения I , I' и I'' O_2 в области 790—865 А. Катаяма D. H., Танака Y. The I , I' , and I'' absorption bands of O_2 in the region 790—865 Å. «J. Mol. Spectrosc.», 1981, 88, № 1, 41—50 (англ.)

Сфотографированы спектры поглощения $^{16}O_2$ и $^{18}O_2$ в области 790—865 А. Наблюдаемые полосы отнесены к переходам $I\ (^3\pi_u)$ ($v'=0—6$)— $X^3\Sigma_g$ ($r''=0$), $I'\ (^3\pi_u)$ ($v''=0—9$)— $X^3\Sigma_g$ ($v''=0$) и $I''(^3\pi_u)$ ($v'=0—7$)— $X^3\Sigma_g$ ($v''=0$). Для первой и третьей систем полос разрешены компоненты спинового расщепления. Определены абсолютная нумерация полос по v' из анализа изотопных сдвигов и тип верхнего электронного состояния из спин-орбитального расщепления и анализа вращательной структуры некоторых полос в спектре. Значения ν_e и колебательных постоянных ω_e и $\omega_e x_e$ ($^{16}O_2$, в см $^{-1}$): состояние $I(^3\pi_u)$ — 116 463; 1049; 14,5; состояние $I'(^3\pi_u)$ — 117 836; 1046,2; 11,0; состояние $I''(^3\pi_u)$ — 118 134;

ll. Nj

X. 1982, 19, № 4

1035; 10,8. Приведены также данные для $^{18}\text{C}_2$. Колебательные постоянные всех трех состояний близки к соответствующим значениям для $\text{O}_2^+(a^4\pi_{u_1})$. Это, а также величина квантового дефекта указывают на ридбергов характер состояний I , I' и I'' . Обсуждена диаграмма энергетич. уровней высоколежащих возбужденных электронных состояний молек. кислорода. В. М. Ковба

$^{16}\text{O}_2$, $^{18}\text{O}_2$

Onmeck 11977

1981

(CNEKMP
20210187444)

105774v The I, I', and I" absorption bands of diatomic oxygen in the region 790-865 Å. Katayama, D. H.; Tanaka, Y. Air Force Geophys. Lab., LKO, Hanscom Air Force Base, MA 01731 USA). *J. Mol. Spectrosc.* 1981, 88(1), 41-50 (Eng). The absorption spectra of $^{16}\text{O}_2$ and $^{18}\text{O}_2$ in the wavelength region 790-865 Å were photographed with a 6.65-m vacuum spectrograph. The bands are diffuse, and most of them are classified as members of 3 vibrational progressions, I, I', and I", which originate from the $v = 0$ level of the ground state. Abs. vibrational quantum no. assignments were made for each of the progressions based on isotope shift anal. The vibrational consts. of their upper electronic states are reported for $^{16}\text{O}_2$ and $^{18}\text{O}_2$. The similarity in vibrational consts. between these electronic states and those for the $a^4\Pi_{ui}$ state of O_2^+ , as well as the quantum defects suggest that they are Rydberg states. In addn., the magnitude of their spin-orbit splitting and the rotational structure for some of these bands indicate that the upper electronic state for each of these 3 progressions has $^3\Pi_u$ symmetry.

C.A. 1981, 95, N12.

O₂

1981

4 Б1692. Некоторые физические и химические характеристики состояний $A^3\Sigma_u^+$, $A'^3\Delta_u$ и ${}^1\Sigma_u^-$ молекулярного кислорода. - Кепнер R. D., Огрызло Е. А., Some physical and chemical properties of the $A^3\Sigma_u^+$, $A'^3\Delta_u$ and ${}^1\Sigma_u^-$ states of molecular oxygen. «J. Photochem.», 1981, 17, № 1—2, 112 (англ.)

Развита методика получения больших конц-ий молекул O₂ в электроновозбужденных состояниях $A^3\Sigma_u^+$, $A'^3\Delta_g$ и ${}^1\Sigma_u^-$. Определены константы скорости тушения нижних колебательных уровней и изучены р-ции с высших колебательных уровней этих состояний.

А. Дармаян

Х. 1982, 19, N 4.

∂_i (21)

1981

✓ 98: 134525g Stimulated absorption during $^3\Sigma_g^- \rightarrow ^1\Sigma_g$ and $^3\Sigma_g^- \rightarrow ^1\Sigma_g^+$ transitions in liquid oxygen. Klinkov, V. K.; Mukhtarov, Ch. K.; Nadtochii, Yu. G.; Palitsyna, I. A. (Inst. Obshch. Neorg. Khim., Moscow, USSR). Deposited Doc. 1981, VINITI 1151-82, 15 pp. (Russ). Avail. VINITI. A concn. dependence of O₂ integr. near-IR absorption coeffs. at 0.764, 1.06, and 1.26 μ m, corresponding to the transitions $^3\Sigma_g^- \rightarrow ^1\Sigma_g$ and $^3\Sigma_g^- \rightarrow ^1\Sigma_g^+$, were obtained for liq. O₂ and its solns. in N₂ at 78 K. The exptl. obsd. absorption characterized by band halfwidths narrower than those reported earlier (Dianov-Klokov, V. I., 1964), was sep'd. into intrinsic and collision-stimulated contributions using a simple bimol. model for describing the colliding system. The corresponding values of oscillator strengths were also detd.

Chelyab

C. A. 1983, 98, N/6.

1982

(O₂)₂₁

14 Б160. Индуцированное поглощение при переходах $^3\Sigma_g^- \rightarrow ^1\Delta_g$ и $^3\Sigma_g^- \rightarrow ^1\Sigma_g^+$ в жидким кислороде.
Клинков В. К., Мухтаров Ч. К., Надточий Ю. Г., Палицына И. А.; Ин-т общ. и неорганической химии АН СССР. М., 1981 г. 17 с. Библиогр. 17 назв.
(Рукопись деп. в ВИНИТИ 15 марта 1982 г., № 1151—82 Деп.)

Спектр

В жидким кислороде и его р-рах с азотом при 78° К исследованы полосы поглощения 0,764; 1,06 и 1,26 мкм. Найдена концентрац. зависимость интегральных интенсивностей и половинных ширин полос поглощения для жидких смесей O₂ и N₂. В рамках бимолек. модели для индуцированного момента перехода проведено разделение наблюдаемого поглощения на индуцированную и неиндуцированную части. Определены соотв-щие силы осцилляторов.

Автореферат

Х. 1982, 19, № 14.

O₂

1981

12 Д553. Расчет спектра поглощения кислорода в миллиметровом диапазоне с использованием малой ЭВМ. Calculation of millimeter wave oxygen absorption spectra on a small microcomputer. Kozakoff D. J., Britt P. P. «6 Int. Conf. Infrared and Millimeter Waves, Miami Beach, Fla, Dec. 7—12, 1981. Conf. Dig.» New York, N. Y., 1981, T.4.9/1—T.4.9/2 (англ.)

Спектр

На малой ЭВМ выполнен расчет кривой поглощения для линий магнитно-дипольных переходов молекулы кислорода вблизи 60 и 120 ГГц. При этом форма линии выбрана в виде ф-ции Ван-Флека и Вайскопфа и использованы литературные данные для молекулярных постоянных.

М. Р. Алиев

90. 1982, 18, N 12

O₂

1981

излучение
при фотодис-
социации
HO₂

12 Д592. Излучение O₂($b^1\Sigma_g^+ - X^3\Sigma_g^-$) при фотодиссоциации HO₂ под действием излучения KrF-лазера. O₂($b^1\Sigma_g^+ \rightarrow X^3\Sigma_g^-$) emission following HO₂ photodissociation by KrF laser photons. Lee L. C., Helm H.,

Chang J. S. «Chem. Phys. Lett.», 1981, 81, № 3, 537—540 (англ.)

Молекулы HO₂, образующиеся в трехчастичной реакции H + O₂ + M → HO₂ + M, возбуждали излучением KrF-лазера ($\lambda = 248$ нм), при этом зарегистрировано излучение в области 7620 Å, приписанное переходу O₂($b^1\Sigma_g^+ - X^3\Sigma_g^-$). Механизм возбуждения этого излучения связан с фотодиссоциацией HO₂ с образованием O(¹D) и последующим возбуждением O₂ в реакции O(¹D) + O₂. Библ. 14.

В. С. Иванов

ср. 1981, 18, N 12.

O_2

($X^3\Sigma_g^-$)

м.н., №

Отмеч 13085

1981

13 Б43. Метод расчета молекулярных корреляционных энергий. Приложение к определению энергий диссоциации двухатомных и многоатомных молекул. Lievin Jacques, Breulet Jacques, Verhaegen Georges. A method for molecular correlation energy calculations. Application to the determination of dissociation energies of diatomic and polyatomic molecules. «Theor. chim. acta», 1981, 60, № 4, 339—353 (англ.)

Расчет корреляц. энергии молек. систем предложено производить комбинацией методов конфигурац. взаимодействия и атомов в молекуле. Для ряда молекул элементов 1- и 2-го периодов сопоставлены различные оценки корреляц. поправок к энергии диссоциации. Схема расчета описана для молекулы $O_2(X^3\Sigma_g^-)$.

В. И. Пупышев

Х. 1982, 19, N13.

1981

O₂

8 Д113. Новая реализация приближения графической унитарной группы для расчетов прямым методом конфигурационного взаимодействия с многоконфигурационной ссылочной функцией. New implementation of the graphical unitary group approach for multireference direct configuration interaction calculations. Lischka Hans, Shepard Ron, Brown Franklin B., Shavitt Isaiah. «Int. J. Quantum. Chem.», 1981, Quantum. Chem. Symp. № 15, 91—100 (англ.)

В рамках формализма унитарной группы предложен алгоритм и составлена программа для расчета молекул прямым методом конфигурационного взаимодействия (КВ) с включением двукратно возбужденных конфигураций по отношению к многоконфигурационной ф-ции ссылочного состояния. Проведены тестовые расчеты полной энергии электронного состояния $^3\Sigma_g^-$ молекулы O₂, в которых ссылочная ф-ция являлась линейной комбинацией 14 конфигураций, а пространство КВ включало 43552 конфигурации. Время выполнения отдельных этапов расчета сравнено с временем, затраченным на те же этапы при использовании метода КВ с одноконфигурац. ссылочной функцией.

А. И. Дементьев

программа
расчета

оф 1982, 18, № 8.

O_2

1983

23 Б198 Деп. Влияние межмолекулярного взаимодействия на запрещённые переходы в молекуле кислорода. Миниат. Б. Ф.; Караганд. ун-т. Караганда, 1983. 26 с., ил. Библиогр. 25 назв. (Рукопись деп. в ОНИИТЭХИМ, г. Черкассы 14 июля 1983 г. № 727хп—Д83.)

Приведены результаты расчётов интенсивностей и тонкой структуры атмосферных полос, а также полос Ферцберга и Чемберлена в спектре молекулы кислорода. Дано объяснение влияния р-рителя на излучательные и безызлучательные синглет-триплетные переходы в молекуле O_2 на основе расчета контактных комплексов O_2 с молекулами H_2 , N_2 , H_2O , NH_3 , C_2H_4 , $ClCH_3$. Все расчеты выполнены по методу МЧПДП/З КВ с учетом одно- и двукратновозбужденных конфигураций, а также с учетом спин-орбитального возмущения. Показано, что в комплексах с O_2 на атомах диамагнитной молекулы индуцируется заметная спиновая плотность, к-рая долж-

спктр

ж. 1983, 19, № 23

на приводить к парамагнитным химсдвигам в спектрах ЯМР под действием р-рного кислорода. Рассчитаны реации O_2 с H_2 и C_2H_4 в различных спиновых состояниях и рассмотрены способы снятия запрета по спину в этих реакциях.

Автореферат

дри

O_2

Lommel 12303 | 1981

Pandimukkala K. et al.
et al.

Biogrid
Cnixiif.
Ucciu

J. Chem. Phys., 1981,
75 (3), 1116-1122.

O₂

[ommeca 11273] 1981.

Ramakrishna T.V., et al.

(D₂)

J. Quant. Spectrosc. and
Radiat. Transfer, 1981,
25, 295-98

O_d

DM. 17556

1981

V, § Д385. Наблюдение электрических квадрупольных переходов в фундаментальной полосе O₂ в области 1600 см⁻¹. Observation of electric quadrupole transitions in the fundamental band of O₂ in the 1600-cm⁻¹ region. Reid John, Sinclair R. L., Robinson A. M., McKellag A. R. W. «Phys. Rev. A: Gen. Phys.», 1981, 24, № 4, 1944—1949 (англ.)

С использованием перестраиваемого полупроводн. лазера и многоходовой оптич. кюветы зарегистрированы квадрупольные переходы S(5) и S(7) в полосе 1—0 спектра поглощения газообразных молекул ¹⁶O₂. Давление газа варьировалось в пределах 10—80 мм рт. ст. Установлено, что обнаруженные полосы имеют триплетную структуру вследствие спинового расщепления вращательных уровней O₂. Величина расщепления (0,02—0,04 см⁻¹) хорошо согласуется с данными, полученными методом микроволн. спектроскопии. Интегр. интенсив-

спектр

φ. 1982, 18, N5.

17556

нность квадрупольной полосы O_2 (1—0) составляет $(1,77 \pm 0,63) \cdot 10^{-5}$ см⁻¹/м·амага. Оценена верхняя граница значения интегр. интенсивности полосы магнитно-дипольного перехода в системе O_2 (1—0): $0,86 \cdot 10^{-5}$ см⁻¹/м·амага. Отмечено, что данная работа является второй успешной попыткой наблюдения квадрупольных колебательных переходов в молекуле (после H_2). Библ. 24.

М. Т.

O_2

1981

7 Л166. Спектроскопические исследования высокой чувствительности с использованием диодного лазера с перестраиваемой частотой. Определение квадрупольных переходов молекулы O_2 и изотопа ^{14}C . High sensitivity spectroscopy with tunable diode lasers. Detection of O_2 quadrupole transitions and ^{14}C . Reid J. «Laser Spectrosc. 5. Proc. 5 Int. Conf., Jasper, 29 June—3 July, 1981». Berlin e. a., 1981, 7—75 (англ.)

С помощью спектрометра, снабженного диодным лазером с перестраиваемой длиной волны излучения, и многоходовой газовой кюветы исследованы ИК-спектры газов O_2 и CO_2 в области слабого поглощения. При сканировании в интервале 1603,5—1604,1 см^{-1} в спектре кислорода зарегистрированы 3 линии, идентифицированные как спиновый триплет перехода $S(7)$ полосы квадрупольного поглощения $1 \leftarrow 0$ O_2 . Величина расщепления линий хорошо согласуется с имеющимися данными о

сб. 1984, 18, № 7

(4)

спектрах комб. рас. и микроволн. поглощения O_2 . При исследовании спектра CO_2 предпринята попытка зарегистрировать линию $P(20)$ полосы ν_3 изотопа $^{14}CO_2$, выбранную как наиболее удобную для наблюдений на основе модельных расчетов. Непосредственные измерения показывают, что указанная линия сильно перекрывается с линией горячего перехода основного изотопа. Отмечено, что для обнаружения линий изотопа $^{14}CO_2$ необходимо использовать низкотемпературные измерения.

Н. Ф.



1981

 O_2 O_2^+

19 Б152. Фотоионизация молекулярного кислорода в $X^3\Sigma_g^-$ - и $a^1\Delta_g$ -состояниях. Roch Anne-Lise, Kirby K., Guberman S. L., Dalgarno A. Photoionization of molecular oxygen in the $X^3\Sigma_g^-$ and $a^1\Delta_g$ states. «J. Electron. Spectrosc. and Relat. Phenom.», 1981, 22, № 3—4, 223—235 (англ.)

В области энергий возбуждения от 10 до 60 эВ рассчитаны сечения процессов фотоионизации молек. кис-

*Спектр; сечение
Фотоионизаци*
лорода из основного $X^3\Sigma_g^-$ (I) и метастабильного $a^1\Delta_g$ (II) состояний до конечного состояния $X^2\Pi_g$ иона O_2^+ . Волновые ф-ции начальных и конечного состояний рассчитывались в приближении Борна—Оппенгеймера методом конфигурац. взаимодействия. Волновая ф-ция выбитого электрона аппроксимировалась с помощью кулоновских волновых ф-ций, центрированных на середине связи О—О, к-рые затем ортогонализировались ко всем связанным состояниям. Рассчитанные сечения фотоионизации состояния I удовлетворительно согласуются с эксперим. данными, кроме области вблизи порога, в к-рой существенную роль играют автономиза-

(+)

Р 1981 N 19

ционные процессы. Отношения сечений для процессов фотоионизации из состояний I и II меняется от 0,8 на пороге до ~1 при энергии фотоэлектронов выше 2 эВ. На основе экспериментальных данных для процессов фотоионизации $X^3\Sigma_g^-$ -состояния O_2 в различные возбужденные состояния O_2^+ , лит. теор. данных и полукич. оценок проведены оценки сечений процессов фотоионизации из состояния II в конечные возбужденные состояния иона O_2^+ : $A^2\Pi_u$, $2^2\Pi_u$, $3^2\Pi_u$, $2^2\Phi_u$, $2^2\Delta_g$ и $2^2\Delta_u$. С помощью всех полученных данных построена зависимость полного сечения фотоионизации молекулярного кислорода в состоянии II от энергии возбуждения.

О. А. Басченко

б).
(все)

O₂

4 Д487. Исследование лазерного магнитного резонанса на вращательных переходах кислорода в метастабильном состоянии $a^1\Delta_g$. Laser magnetic resonance measurement of rotational transitions in the metastable $a^1\Delta_g$ -state of oxygen. Scalabrin Artemio, Saykally Richard J., Evenson Kenneth M., Radford H. E., Mizushima Masataka. «J. Mol. Spectrosc.», 1981, 89, № 2, 344—351 (англ.)

М.Н.

С помощью генерирующего в длинноволни. ИК-области лазера с оптич. накачкой СО₂-лазером получены спектры лазерного магн. резонанса кислорода, возбужденного в СВЧ-разряде в состояние $a^1\Delta_g$. Активной средой лазера служили метанол, фтористый метилен, дифторэтилен и хлорэтилен. Поглощающая ячейка помещалась внутри резонатора. Точность измерения магн. поля составляла $5 \cdot 10^{-5}$ Тл. Измерения проведены при давлении кислорода < 1 мм рт. ст. Приведены значения резонансных полей и отнесение резонансов к

Ф. 1982, 18, № 4.

12409/1861

Омск

вращательным переходам с уровней $J=3, 4, 6, 7, 8$ и
правилами отбора $\Delta M=0\pm 1$. Определены вращательные
частоты магнитных переходов для нулевого поля с точностью 10^{-6} . Рассчитаны вращательная постоянная
молекулы O_2 и константы центробежного растяжения
и А-удвоения. Библ. 16.

М. В. Т.

O₂

Омск 12409

1981

7 Б285. Измерение методом лазерного магнитного резонанса вращательных переходов в метастабильном состоянии $a^1\Delta_g$ кислорода. Scalabrin A., Saykally R. J., Evenson K. M., Radford H. E., Mizushima M. Laser magnetic resonance measurement of rotational transitions in the metastable $a^1\Delta_g$ state of oxygen. «J. Mol. Spectrosc.», 1981, 89, № 2, 344—351 (англ.)

М.Н.

Метод лазерного магнитного резонанса применен для измерения вращательных переходов молекулы кислорода $^{16}\text{O}^{16}\text{O}$ в метастабильном состоянии $a^1\Delta_g$, $v=0$. Использованы шесть линий лазера для длинноволновой ИК-области, накачиваемого CO_2 -лазером. Вращательные переходы регистрировали путем сканирования магнитного поля до совпадения перехода с лазерной линией. С известными g -факторами получены значения частот пяти вращательных переходов ($J+1 \leftarrow J$) в нулевом поле (в ГГц): 340,0085(6) ($4 \leftarrow 3$), 424,9810(9) ($5 \leftarrow 4$), 424,9810(9) ($7 \leftarrow 6$), 594,870(1) ($8 \leftarrow 7$); 764,658(1) ($9 \leftarrow 8$). Подгонкой методом наименьших квадратов этих измеренных частот по формуле для

Х. 1982, 19, N.7.

вращательной энергии $(E/\hbar) = B_0[J(J+1)-4] - D_0[J(J+1)-4]^2 + (-1)^J \left(\frac{1}{2}\right) q J(J+1)[J(J+1)-2]$ определены спектроскопич. постоянные $B_0 = 42,50457(10)$ ГГц, $D_0 = 153,14(110)$ кГц, $q = 0,050(90)$ кГц. В. М. Михайлов

Л/М
р

$^{16}\text{O}_2$

Спектр
лазерн.
машин.
реупнаса

B_0, D_0, q

C.A. 1981, 95, N18.

Omnick 12409

1981

195: 159273z Laser magnetic resonance measurement of rotational transitions in the metastable $a^1\Delta_g$ state of oxygen. Scalabrin, Artemio; Saykally, Richard J.; Evenson, Kenneth M.; Radford, H. E.; Mizushima, Masataka (Time and Frequency Div., Natl. Bur. Stand., Boulder, CO 80303 USA). *J. Mol. Spectrosc.* 1981, 89(2), 344-51 (Eng). Laser magnetic resonance for 5 rotational transitions, $J = 4 \rightarrow 3, 5 \rightarrow 4, 7 \rightarrow 6, 8 \rightarrow 7, 9 \rightarrow 8$, of $^{16}\text{O}^{16}\text{O}$ in its metastable state, $a^1\Delta_g, v = 0$, were obsd. by using 6 far-IR laser lines. Taking the known values of the g-factors, their zero-field frequencies are 340.0085(6), 424.9810(9), 594.870(1), 679.780(1), and 764.658(1) GHz, resp. They are fit by $(E/h) = B_0[J(J+1)-4] + D_0[J(J+1)-4]^2 + (-1)^j (1/2)_q J (J+1)[J(J+1)-2]$, where $B_0 = 42.50457(10)$ GHz, $D_0 = 153.14(110)$ kHz, and $q = 0.050(90)$ kHz.

O₂

1981

194: 217342p O₂(c¹Σ_u⁻ → X³Σ_g⁻) Emission in the terrestrial nightglow. Slanger, T. G.; Huestis, D. L. (Mol. Phys. Lab., SRI Int., Menlo Park, CA 94025 USA). *JGR, J. Geophys. Res.*, [Sect. J A 1981, 86(A5), 3551-4 (Eng). Synthetic spectra were calcd. incorporating 3 O₂ emission systems, A³Σ_u⁺ → X³Σ_g⁻, A³Δ_u → a¹Δ_g, and c¹Σ_u⁻ → X³Σ_g⁻, and matched to the 3100- to 4500-Å nightglow spectrum. The synthesis necessitated the inclusion of the c¹Σ_u⁻ → X³Σ_g⁻ system, which has never been previously identified in the airglow, although it is a dominant system in the Venusian nightglow. The emissions from the extremely metastable A³Δ_u and c¹Σ_u⁻ states account for half the radiation in the 3100- to 4500-Å region, from which it may be deduced that the mesospheric concns. of O₂(A³Δ_u) and O₂(c¹Σ_u⁻) are much higher than that of O₂(A³Σ_u⁺). The vibrational distributions are quite unrelaxed for all 3 states.

Current
Checkup

C.A. 1981, 94 N26

O_2

Loss 12626 /

1981

12 Д472. Поглощение и дисперсия в микроволновом спектре O_2 при атмосферном давлении. Absorption and dispersion in the O_2 microwave spectrum at atmospheric pressures. Smith Earl W. «J. Chem. Phys.», 1981, 74, № 12, 6658—6673 (англ.)

С использованием метода возмущений для учета вклада недиагональных элементов матрицы рассеяния в ударной теории уширения линий выполнен расчет поглощения и дисперсии кислорода в диапазоне 40—140 ГГц при давлении 10—800 мм. Показано, что метод возмущений применим для расчета поглощения при давлениях вплоть до 5 атм, т. е. в рамках примени-

поглощен.
и дисперсии
(расчём)

чи

96. 1981, 18, N 12.

ности модели парных соударений. В то же время перенос возбуждения при неупругих соударениях (т. е. интерференция линий) не является основным механизмом поглощения даже при высоких давлениях, когда линии сливаются и образуют сплошную полосу. Однако дисперсия весьма чувствительна к эффекту интерференции линий, причем вблизи центра линии при низких давлениях этот эффект характеризуется одним параметром, определяемым разностью коэф. связи соседних линий. Рассмотрена схема эксперимента для измерения параметров интерференции линий.

М. Р. Алиев

O₂

Off. 12626

1981

24 Б281. Поглощение и дисперсия в микроволновом спектре O₂ при атмосферных давлениях. Smith E. W. Absorption and dispersion in the O₂ microwave spectrum at atmospheric pressures. «J. Chem. Phys.», 1981, 74, № 12, 6658—6673 (англ.)

ell-n.

Модернизированным методом Розенкранца (Rosenkranz P. W. «IEEE Trans Antennas Propag.», 1975, 23, 498), выполнен расчет поглощения и дисперсии в области 50—70 ГГц МВ-спектра O₂ при давл. от нескольких мм до 1 атм. Рассмотрен переход при увеличении давл. O₂ от случая изолированных спектральных линий к случаю непрерывной полосы поглощения с учетом вклада упругих и неупругих соударений. При рассмотрении физ. процессов уширения использованы коэф. взаимодействия линий, связанные с переносом возбуждения от одного радиац. состояния к другому. В то время как поглощениe практически не чувствительно к значению коэф. взаимодействия линий, дисперсия об-

X. 1981, № 24.

наруживает высокую чувствительность к этим коэф. вплоть до изменения знака дисперсии. Благодаря высокой чувствительности к значениям коэф. дисперсионные измерения могут быть использованы для определения амплитуд неупругих переходов между состояниями. Полученные результаты сопоставлены с известными эксперим. данными.

С. Н. Мурzin

O₂

Омск 11734

1981

1 Б191. Исследования валентных состояний ${}^3\Pi_g(V)$ и ридберговского состояния ${}^3\Pi_g(R)$ в континууме Шумана—Рунге по спектрам испускания и рассеяния электронов. Spence David. Studies of the O₂ ${}^3\Pi_g(V)$ valence states and ${}^3\Pi_g(R)$ Rydberg state in the Schumann—Runge continuum from ejected and scattered electron spectra. «J. Chem. Phys.», 1981, 74, № 7, 3898—3904 (англ.)

Изучены спектры энергетич. потерь электронов O₂ в области энергетич. потерь 7—10 эВ. В области континуума Шумана—Рунге наблюдена дискретная структура, связанная как с рассеянными электронами вследствие возбуждения ридберговских состояний и диссоциирующих состояний O₂, так и с испускаемыми электронами, возникающими при распаде резонансных состояний Фешбаха иона O₂[—] с образованием валентных электронных состояний: $e + O_2(X^3\Sigma_g^-) \rightarrow (O_2^{-*}) - O_2 {}^3\Pi_g(V) + e_{\text{исп.}}$. Измерены энергии рассеянных электронов и рассчитаны эффективные функции возбуждения нек-рых ко-

спектров

Х. 1982, 19 АБ, № 1.

лебат. уровней ридберговского состояния ${}^3\Pi_g(R)$. Измерены также энергии испускаемых электронов и с использованием известных значений энергий O_2^{-*} рассчитан интервал потенц. функции состояния ${}^3\Pi_g(v)$ (от 7,60 до 7,80 эВ), перекрывающий область Франка—Кондона основного состояния O_2 . Отмечено, что этот результат плохо согласуется с теор. расчетами и имеющимися эксперим. данными и указывает, что смешивание валентных и ридберговских состояний ${}^3\Pi_g$ может быть больше, чем это предсказывается теорией. С. Б. Осин

(
пол!
211

O₂

OMMUNCA 11734

1981

94: 183043z Studies of the diatomic oxygen $^3\Pi_g(V)$ valence states and $^3\Pi_g(R)$ Rydberg state in the Schumann-Runge continuum from ejected and scattered electron spectra. Spence, David (Argonne Natl. Lab., Argonne, IL 60439 USA). *J. Chem. Phys.* 1981, 74(7), 3898-904 (Eng). Electron-impact energy-loss spectra are obtained in O₂ in the energy-loss range of 7 to 10 eV. These spectra contain some discrete features

Chemist

resulting from scattered electron following excitation of Rydberg states, and other features from ejected electrons following decay of O₂⁺ Feshbach resonances into valence electronic states in the continuum via the reaction $e + O_2(X^3\Sigma_g^-) \rightarrow (O_2^{+*}) \rightarrow O_2\ ^3\Pi_g(V) + \text{ejected}$. From the known O₂⁺ energies and from measurements of the ejected electron energies, the $^3\Pi_g(V)$ state extends over an energy range of only ~0.20 eV in the Franck-Condon region of the ground state, contrary to some previous exptl. and theor. results. From measurements of scattered electrons, effective excitation functions of several vibrational levels of the $^3\Pi_g(R)$ Rydberg state are obtained. Of the many O₂⁺ Feshbach resonances known to exist in this energy regions, only one decays strongly into the $^3\Pi_g(R)$ state.

C.A.1981,94,N2

O₂

Lommel 11883

1981

Staemmler V., et al.

kb. act.
packet

ΔE(S_T)

Theor. chim. acta,
1981, 59, 501-515.

Q₂

ommeca 12533 | 1981

Tanaka J.

стеклован.

пигменты.

N₂

концес.

Краска Q₂

смесь пигментов

J. Photochem., 1981,
17, 484-94.

O_2

1981

Ивана Суехиро.

мемог
рекордів
шахмат

Z. Spectroscop. Soc. Jar.,
1981, 30, N2, 74 - 92.

(сер. II ; II)

O₂

LOmmec 12917

1981

Valentini G.G., et al.,

Crekmp

Chem. Phys. lett. 1981,
83 (2), 217-221.

O_2

Отмск 13725

1981

8 Д271. Расчет энергий электронных возбуждений, сил осцилляторов и поляризумостей методом МК ПСФ (МК ВХФ). Применение к O_2 . The evaluation of MCRPA(MCTDHF) electronic excitation energies, oscillator strengths, and polarizabilities: application to O_2 . Yeager Danny L., Olsen Jeppe, Jorgensen Poul. «Int. J. Quantum. Chem.», 1981, Quantum. Chem. Symp. № 15, 151—162 (англ.)

Описан вывод ур-ний многоконфигурац. приближения случайных фаз (МК ПСФ), основанный на приравнивании выражений для сил осцилляторов электронных переходов (СОП) через матричные элементы импульса и дипольного момента. Полученные ур-ния совпадают с ур-ниями многоконфигурационного временного метода Хартри — Фока (МК ВХФ). Представлено доказательство справедливости правила энергетически взвешенных сумм в рамках МК ПСФ. Метод применен к расчету

д. 1982, 18, N8.

энергий электронных возбуждений, СОП и поляризуемостей молекулы O_2 . В расчёте использован базис из 50 орбиталей слэтеровского типа. Проведено сравнение результатов с эксперим. данными. Показано, что дополнительное включение ограниченного взаимодействия конфигураций может улучшить расчетные значения энергий возбуждений; СОП при этом меняются незначительно.

А. В. Зайцевский



O₂

Omnuck 13725 1981

96: 112433g The evaluation of MCRPA(MCTDHF) electronic excitation energies, oscillator strengths, and polarizabilities: application to molecular oxygen. Yeager, Danny L.; Olsen, Jeppe; Joergensen, Poul (Chem. Dep., Texas A and M Univ., College Station, TX 77843 USA). *Int. J. Quantum Chem., Quantum Chem. Symp.* 1981, 15, 151-62 (Eng). The multiconfigurational RPA (MCRPA) was derived by requiring the equivalence between the length and velocity forms of the oscillator strength. The MCRPA is also justified in terms of the equations of motion formalism. The final equations and techniques developed are the same as the multiconfigurational time dependent Hartree-Fock (MCTDHF). The validity was explicitly demonstrated of the energy-weighted sum rule for the MCRPA-MCTDHF. A modification of the previously derived MCTDHF technique is introduced. This involves the incorporation of addnl. CI states from different symmetry blocks than the symmetry block of the MCSCF ref. state into the MCRPA equations. For a 50 STO calcn. on O₂ mol., the results for the low-lying vertical excitation energies are in excellent agreement with expt. and with large-scale CI. Oscillator strengths, frequency dependent polarizabilities, and the energy weighted sum rule are also reported.

fnm

neoprem
pacrem

C.A. 1982,
96 N 14.

O₂

1982

Baerends E.Y., Post D.

paarig Quantum Theory Chem.

et. n., React. Vol. 3. Dordrecht.

Do e. a., 1982, 15-33.

(see. Ce₂; III)

O₂

Lommel 14999

1982

Becke A. D.,
J. Chem. Phys., 1982,
76, N12, 6037 - 6045.

M

1982

Од

3 Б274. Температурная зависимость ширин вращательных линий комбинационного рассеяния кислорода. Temperature dependence of rotational raman linewidths of oxygen. Bégaud M., Cèbe J. P., Giraud M., Lallemand P. «Raman Spectrosc.: Linear and Nonlinear. Proc. 8th Int. Conf., Bordeaux, 6—11 Sept., 1982». Chichester e. a., 1982, 289—290 (англ.)

Исследована т-риая ($T=100\div400$ К) зависимость полуширин вращательных линий O_2 (I) при плотностях $n=5\div40$ амага. Кювету с I помещали внутри резонатора Аг-лазера, разрешение на спектрах $\sim 0,2$ см $^{-1}$. Оценены значения полуширин, коэф. уширения и сечений КР для различных вращательных линий ($J=1\div27$). Показано, что помимо линий лоренцовской формы на спектрах присутствует фон пропорциональный n^2 . Как показало сравнение со спектром КР Аг фон индуцируется столкновениями. В рамках полуклассич. приближения Смита — Жирода — Купера («J. Chem. Phys.», 1976, 65, 1256) теоретически оценены сечения КР для

спектр

X. 1983, 19, N 3.

различных переходов. Рассматривали классич. траектории молекул I и возмущение матрицы рассеяния анизотропным потенциалом. Получено хорошее согласие с эксперим. данными. Уширение линий вызывается в основном вкладом отталкивания в анизотропный потенциал. Метод расчета сечений позволяет прослеживать за зависимостью сечений от скорости молекул.

А. В. Бобров

(eг
sc.)

O₂

1982

Boeyens Yan C. A.

Do, et al.

J. Crystallogr. and
Spectrosc. Res., 1982,
12, N3, 245-254.

(crys. C₂H₄; $\bar{1}\bar{1}\bar{1}$).


O₂

Оттиск 14840

1982

3 Б1369. Интенсивности горячих полос в эмиссионных спектрах димолей синглетного молекулярного кислорода (${}^1\Delta_g$). Intensities of hot bands in the dimol emissions of singlet molecular oxygen, $O_2({}^1\Delta_g)$. Bodaghians Razmik, Borrell Patricia M., Borrell Peter, Grant Kevin R. «J. Chem. Soc. Faraday Trans.», 1982, Pt 2, 78, № 8, 1195—1209 (англ.)

На комбинированной разрядно-струевой установке с ударной трубой исследованы т-рные зависимости в области 295—1500 К интенсивностей трех полос испускания димолей 1O_2 при 634, 703 и 579 нм, обусловленных процессами: $O_2({}^1\Delta_g, v_1) + O_2({}^1\Delta_g, v_2) \rightarrow O_2({}^3\Sigma_g^-, v_1') + O_2({}^3\Sigma_g^-, v_2' + hv)$, где $v_1 = v_2 = v_1' = v_2' = 0$, $v_1 = v_2 = v_1' = 0$ и $v_2' = 1$; $v_1 = 1$ и $v_2 = v_1' = v_2' = 0$ соотв. В опытах использовали смеси O_2 с CO_2 , к-рые добавляли для ускорения колебательной релаксации. Интенсивность полос увеличивается с ростом т-ры и конц-ии

спектр

X. 1983, 19, n 3

$O_2(^1\Delta_g)$ сначала в соответствии с ур-ниями $I = k[O_2(^1\Delta_g)]^2$ и $I \sim T^{1/2}$, характерными для бимолек.р-ций, но при т-рах выше 1000 К рост интенсивности ускоряется. Показано, что это ускорение связано с термич. возбуждением кол. уровней молекул $O_2(^1\Delta_g)$, приводящим к появлению горячих полос, налагающихся на полосы испускания димолей. Определены относит. излучательные способности для этих полос и константы скорости семи процессов возбуждения испускания димолей с участием колебательновозбужденных молекул $O_2(^1\Delta_g)$.

В. Е. Скурат

O₂

Омск 14840

1982

2 Д500. Интенсивность горячих полос в бимолекулярном излучении синглетного кислорода O₂(¹Δ_g). Intensities of hot bands in the dimol emissions of singlet molecular oxygen, O₂(¹Δ_g). Boodaghians Razmik, Boggell Patricia M., Boggell Peter, Grant Kevin R. «J. Chem. Soc. Faraday Trans.», 1982, Pt 2, 78, № 8, 1195—1209 (англ.)

В ударной трубе исследованы зависимости интенсивности бимолекулярного излучения O₂(¹Δ_g) в полосах 579, 634 и 703 нм от температуры газа в диапазоне 295—1500 К. Наблюдаемый дополнительный рост интенсивности полос с увеличением температуры сверх обусловленного кооперативным характером процесса, объясняется вкладом горячих переходов в колебательно-возбужденных молекулах O₂(¹Δ_g), а для полосы 703 нм — также и O₂(¹Σ_g⁺). Рассчитаны константы скорости бимолекулярных излучательных процессов O₂(¹Δ_g, v_1') + O₂(¹Δ_g, v_2') → O₂(³Σ_g⁻, v_1'') + O₂(³Σ_g⁻, v_2'') + hv для значений квантовых чисел $v=0 \div 3$. Установлено, что для каждой

спектр

90.1983, 18, № 2

полосы значения констант увеличиваются с ростом числа колебательных квантов в верхнем состоянии, однако эти изменения не соответствуют зависимости от v коэф. Франка—Кондона для мономолекулярных переходов. Сделан вывод, что вероятности кооперативных электронных переходов в сильной степени зависят от межмолекулярного расстояния. Библ. 32. С. Литке

(d J
иер.

O₂

1982

Buerker R. J., Hirsch G.
et al.

meop. Stud. Phys. Theor. Chem.
pacriu, 1982, 21, 81-97.
Mol. cb-ba

(see. CH₂⁺; III)

O₂

1982

Carsky P., et al.

meopenu.
pacruū
бозбүүкг.
сөсөөртү.

Chem. Phys. Lett.,
1982, 88 (1), 17 - 20.

(cес. CH₂; III)

O₂

1982

24 Б126. Усиленные резонансом формы нефранк-кондоновские эффекты при фотоионизации валентной оболочки O₂. Dittman P. M., Dill Dan, Dehm J. L. Shape-resonance-induced non-Franck-Condon effects in the valence-shell photoionization of O₂. «J. Chem. Phys.», 1982, 76, № 12, 5703—5709 (англ.)

С помощью X_α метода рассеянных волн проведены расчеты парциальных сечений фотоионизации σ и параметров асимметрии углового распределения фотоэлектронов β для уровней 3σ_g, 1π_u и 1π_g молекулы O₂. Кинетич. энергия фотоэлектронов изменялась от 0,01 до 2,5 Re. Для учета колебательных эффектов зависимости σ(hv) и β(hv) вычислялись при 12 значениях межъядерного расстояния R в диапазоне 2,2828 ± 0,4372 ат. ед. и усреднялись по основному колебательному состоянию, к-рое аппроксимировалось с помощью потенциала Морзе (с использованием эксперим. значений частоты колебаний и энергии диссоциации).

спектр

X. 1982, 19, N24.

Результаты указывают наличие резонанса формы в канале σ_u конечного состояния, причем положение резонанса очень сильно зависит от межъядерного расстояния: увеличение R сдвигает резонанс в направлении меньших кинетич. энергий и сужает его, а уменьшение R приводит к уширению резонанса и сдвигу в сторону больших энергий. В целом усреднение по основному колебательному состоянию примерно удваивает ширину и соотв. уменьшает интенсивность резонанса. Для ионизации $3\sigma_g$ уровня (переходы $X^3\Sigma_g^- \rightarrow B^2\Sigma_g^-$ и $X^3\Sigma_g^- \rightarrow b^4\Sigma_g^-$) и $1\pi_g$ -уровня (переход в состояние $X^2\Pi_g$) учет колебаний улучшает согласие с эксперим. зависимостями $\sigma(hv)$ и $\beta(hv)$. Для ионизации $1\pi_u$ уровня (переходы в состояния ${}^2\Pi_u$ и ${}^4\Pi_u$) не наблюдается резонансов формы. Проведено сопоставление с результатами расчетов др. методами. М. Гофман.

а с е

O₂

1982

Drake Michael C.

CKP

Opt. Lett., 1982, 7, N9,
440-441.

(see: H₂; II)

D_2 1982

Efstathiou L., Thomas E. W.

crexup Nucl. Instrum. and
Meth., 1982, 194, N1-3,
● 589-591.
(cees. N_2 ; III)

O₂

Он. 15258

1982

ЗД476. Микроволновые резонансные линии $^{16}\text{O}_2$ в основном электронном состоянии ($X^3\Sigma_g^-$). Microwave resonance lines of $^{16}\text{O}_2$ in its electronic ground state ($X^3\Sigma_g^-$). Endo Yasuki, Mizushima Masataka. «Jap. J. Appl. Phys.», 1982, Part 2, 21, № 6, L379—L380 (англ.)

Исследован микроволни. спектр молекулы $^{16}\text{O}_2$ вблизи 60 и 119 ГГц. Идентифицирована тонкая структура линий вращательных переходов с $F \leq 41$ в основном колебательном состоянии и переходов с $J \leq 21$ в первом возбужденном колебательном состоянии. Определены значения вращательной и центробежной постоянных и постоянных электронного спин-спинового и спин-вращательного взаимодействий.

М. Р. Алиев

оп. 1983, 18, № 3

O₂

Omnuck 15258

1982

' 97: 63366x Microwave resonance lines of molecular oxygen-16 in its electronic ground state (X $^3\Sigma_g^-$). Endo, Yasuki; Mizushima, Masataka (Inst. Mol. Sci., Myodaiji, Okazaki, Japan 444). *Jpn. J. Appl. Phys., Part 2* 1982, 21(6), 379-80 (Eng). Low intensity absorption lines of $^{16}\text{O}_2$, in $v = 0$ and $v = 1$ states, are obsd. in the 119 and 60 GHz regions. New sets of values for the mol. parameters, including λ_{DD} which has not been obsd. yet, are obtained.

MB CRLKMP

C. A. 1982, 97, N 8.

O_2

1982

Ghodgaonkar A. M.,
Ramani K.

pacem
Do;

Acta phys. pol., 1982,
A61, N 1-2, 151-154.

(av. O_2^+ ; $\underline{\text{II}}$)

Q_d

Омск 14902

1982

5 Б80. Определение производных анизотропии поляризуемости двухатомных молекул. III. Молекула кислорода в основном состоянии ${}^3\Sigma_g^-$. Determination of derivatives of the polarizability anisotropy in diatomic molecules. III. The oxygen molecule in the ${}^3\Sigma_g^-$ ground state. Hamaguchi Hiro-O., Buckingham A. D., Jones W. J. «Mol. Phys.», 1982, 46, № 5, 1093—1098 (англ.)

и.п., спектр

Дано краткое описание эксперим. методики исследования колебательно-вращательных спектров КР молекулы кислорода в основном состоянии. Приведены теор. выражения для интенсивностей переходов двухатомной молекулы в состояниях, отвечающем случаю связи «b» по Хунду. Полученные результаты использованы для численных оценок отношения анизотропии поляризуемости γ_0 и пр-ной величины $\partial\gamma_0/\partial R \cdot R = \gamma_1$, где R — межъядерное расстояние. Отмечено, что для значений вращательного квантового числа, больших 9,

X. 1983, 19, N5

влиянием спина на значение γ_1/γ_0 при равновесной геометрич. конфигурации ядер можно пренебречь. Полученная оценка указанного отношения для кислорода, составляющая $2,85 \pm 0,17$, сопоставлена с др. имеющимися эксперим. оценками этой величины. Сообщ. II см. Hamaguchi H., Buckingham A. D., Jones W. J. «Molec. Phys.», 1981, 43, 1311.

В. И. Пулышев

O₂

Отмск 14902 1982

2 Д69. Определение производных от анизотропии поляризуемости в двухатомных молекулах. Ч. III. Молекула кислорода в основном состоянии. Determination of derivatives of the polarizability anisotropy in diatomic molecules. III. The oxygen molecule in the $^3\Sigma_g^-$ ground state. Hamaguchi Higo-O., Buckingham A. D., Jones W. J. «Mol. Phys.», 1982, 46, № 5, 1093—1098 (англ.)

Численный метод анализа экспериментально измеренных относит. интенсивностей линий в колебательно-вращательных спектрах комб. рас., развитый в ч. I. (Hamaguchi H. et al. «Molec. Phys.», 1981, 43, 963) этой серии для двухатомных молекул в электронном состоянии (ЭС) $^1\Sigma$, применен к мультиплетному ЭС $^3\Sigma_g^-$ молекулы O₂. Показано, что эффект спиновой мультиплетности, учет которого необходим в таком ЭС, становится гораздо менее существенным с увеличением вращательного квантового числа N , а для $N \geq 9$ пренебре-

9.1983, 18, № 2

жительно мал. Определено также отношение первой производной анизотропии поляризуемости $\gamma_1 = (\partial\chi_{||}/\partial R - \partial\alpha_{\perp}/\partial R)_e \cdot R_e$ к равновесному значению $\gamma_0 = (\chi_{||} - \alpha_{\perp})_e$ и выполнено сравнение с эксперим. данными, для которых спиновый эффект не рассмотрен. В. В. Россихин



O₂ 1982

Huber-Walchli Peter,
et al.

KAPC
creep
& сверхзвук.
correl. Z. Chem. Phys. 1982,
76 (1), 273 - 284.



(see. N₂; "I")

O₂

Lommuck 16060/ 1982
OM. 15882

Johri B., Rishikesh

Kbagpynosib. R. P., et al.,
geometrī.

Indian J. Pure and
Appl. Phys., 1982, 20,
N6, 506-507.

D_2

1982

Kerek K.

glicinoprotein

hologrammes

hyperchromic
changes

Ber. Bunsenges. Phys.

Chem., 1982, 86, N9,
812-820

(see. He; -)

O_2

1982

1 Б104. Возбуждение электронным ударом атомов кислорода, молекулярного кислорода и молекулярного кислорода в возбужденном состоянии. Совместное электрон-фотонное возбуждение $1^1S \rightarrow 2^3S$ перехода в гелии. Electron impact excitation of atomic oxygen, molecular oxygen and excited molecular oxygen. Joint electron-photon excitation of the $1^1S \rightarrow 2^3S$ transition in helium. Khakoo M. A., Newell W. R., Topp W. T., Eason R. W. «Acta phys. pol.», 1982, A61, № 6, 589—605 (англ.)

Криевые
потери.
Нирин

Представлены результаты измерений дифференциальных сечений (σ) неупругого рассеяния электронов энергий $E_0 = 100 \times n$ эВ ($n = 1, 2, \dots, 5$) на атомах O (I), молекулах O_2 в основном (II) и возбужденном (III) состояниях. Для I и III угол рассеяния θ равнялся $2,5^\circ \times m$, а для II — $\theta = 5^\circ \times m$ ($m = 1, 2, \dots, 8$). Для II значения σ приведены в трех областях потерь энергии электронов $E = 7,0 - 9,5$; $9,74 - 10,14$ и $10,18 - 10,44$ эВ, для I — в области перехода $^3P \rightarrow ^3S$ ($E = 9,51$ эВ), а для III — $E = 7 - 10$ эВ. Молекулы O_2 в возбужденном состоянии получались с помощью мик-

X. 1983, 19, N/

роволнового газоразрядного источника и особенности в измеренных спектрах потерь энергии электронов (СПЭЭ) отнесены к переходам $O_2^*a^1\Delta g$ ($v=0$) $\rightarrow O_2^1\Pi_u$ ($v'=0, 1, \dots 7$). На основе анализа относит. интенсивностей пиков в СПЭЭ для Π_u определены параметры функции Морзе, описывающей кривую потенциальной энергии для $^1\Pi_u$ состояния O_2 . Кроме того, на приме-ре перехода $^1S\rightarrow^2S$ в Не сделаны оценки эксперим. условий, необходимых для измерений сечений возбуждения при совместном действии электронного и фотонного пучков. Описана установка и обсуждены предв. эксперим. данные.

О. А. Басченко

МОЛ

1982

O₂

KAPC)

798: 24890q Application of classical theory of CARS to diatomic molecules in the gas phase. Kiefer, W. (Phys. Inst., Univ. Bayreuth, D-8580 Bayreuth, Fed. Rep. Ger.). *NATO Adv. Study Inst. Ser., Ser. C* 1982, 93(Non-Linear Raman Spectrosc. Its Chem. Appl.), 241-60 (Eng). Simple classical CARS theory is used to explain exptl. obsd. CARS spectra of diat. nonabsorbing mols. in the gas phase. Special emphasis is given to interference effects between neighboring spectral lines such as the rotational lines within a Q-branch of a diat. mol. Simulated CARS spectra for various different bandwidths are given, which significantly influence the magnitude of the interactions. The interference is examd. between 2 individual lines as a function of the bandwidth to frequency sepn. ratio. The Q-branch spectra are calcd. for O₂, N₂, and NO at various spectral bandwidths and compared with exptl. data.

(42) 18

C. A. 1983, 98, N 4.

O_d

1982

97; 82184c The oxygen singlet or red emulsion. Levy, G.
(Serv. C.A.P.E.S. - Agregation, Univ. Paul-Sabatier, Toulouse,
Fr.). *Bull. Union Physiciens* 1982, 76(644), 909-13 (Fr).
Chemiluminescence from O₂ (Δ_g) is obsd. on the addn. of
Cl-satd. CCl₄ to alk. H₂O₂ soln. The use of Br-satd. CCl₄ gives
less spectacular results.

Kerevito-
meriecs.

C.A.1982, 97, N10

O_2 , O_2^+

1982

Mc Lear A.D., Lin B.,
et al.

Kb. Mex.
paucim

Allement Wale Funct, 2
Meet, Adelaide, 18-24
Feb., 1982. New York,
1982, 90-100.

(ccr. B_2 ;

$O_2 (k)$

при высоких
давлениях

1982

1 Д845. Твердый O_2 при высоких давлениях: спектры комбинационного рассеяния, электронные спектры и фазовые равновесия. Solid O_2 at high pressures: Raman spectra, electronic spectra, and phase equilibria. Nicol Malcolm. «High Pressure Res. and Ind. 8 AIRAPT Conf., 19 EHPRG Conf. Inst. Phys. Chem. Univ. Uppsala, 17-22 Aug., 1981. Proc. Vol. 2». Uppsala, 1982, 527—533 (англ.)

Проведена предварительная интерпретация результатов исследования молекулярного кислорода в области высоких давлений методами спектроскопии комб. рас., электронного поглощения и дифракции рентгеновских лучей. Эксперименты проводились в температурном интервале 100—350 К в диапазоне давлений до 40 ГПа. Установлено, что при т-ре 298 К при давлении 5,9 ГПа происходит переход кислорода в твердую β -фазу, которая при дальнейшем росте давления обнаруживает

СКР,
электрон.
спектр
и фазов. равн.

90. 1983, 18, N 1

два фазовых превращения при 9,6 ГПа ($\beta \rightarrow \alpha$) и при 9,9 ГПа ($\alpha \rightarrow \epsilon$). Поглощение кристаллов β -O₂ в видимой области спектра связано с переходами ${}^1\Sigma_g^- \leftarrow {}^3\Sigma_g^-$, ${}^2{}^1\Delta_g \leftarrow {}^2{}^3\Sigma_g^-$ и ${}^1\Delta_g + {}^1\Sigma_g^+ \leftarrow {}^2{}^3\Sigma_g^-$, которые сильно поляризованы и испытывают смещение в область высоких энергий по мере роста давления. Кристаллы ϵ -O₂ в области давлений выше 20 ГПа обнаруживают сильное поглощение во всей видимой области спектра, обусловленное $\pi - \pi^*$ -переходами. В. С. З.

▲ СРН.

O₂

1982

Ohwada Ken.

pacées J. Chem. Phys., 1982,
Act. rocess. 77, N1, 424-428.
4 F.

(cet. BeB; III)

O_2

Ommeck 13987

1982

Okwada K.,

KB. recd.

J. Chem. Phys., 1982,

pacrēū

76, N 5, 2565-2568.

D_2

1982

Ulitov V.M., Simeonov
B.B., et al.

CKP

Raman Spectrosc.: Linear and Nonlinear. Proc.
8 Int. Conf. Bordeaux, 6-11 Sept., 1982, Chichester e.a., 1982,
291-292. (cer. N_2 ; III)

O_2

1982.

McClester Blair N.,
Smith Vedene H., et al.

pacreum

жекулем. Mol. Phys., 1982, 46,
номоногии. №3, 449-463.

(cес. C_2 ; $\frac{III}{-}$)

1982

O₂

12 Д1410. Параметры линий полосы А кислорода и расчеты пропускания атмосферы для полос А, В и γ.
Line parameters of the oxygen A band and calculation
of the atmospheric transmission functions for the A, B,
and γ bands. Nakazawa Takakiyo, Yamano-
uchi Takashi, Tanaka Masayuki. «J. Quant.
Spectrosc. and Radiat. Transfer», 1982, 27, № 6, 615—625

Получен спектр поглощения газообразного кислорода вблизи 762 нм в слое 506 м при т-ре 296 К. Наблюденный спектр связан с колебательной полосой 0—0 электронного перехода ${}^1\Sigma_g^+ \leftarrow {}^3\Sigma_g^-$, разрешенного за счет магнитного дипольного момента. При регистрации спектра использовано разрешение 24 см^{-1} и давление 0,1—2 атм. Изучен спектр смеси кислород—азот. Изменены эквив. ширины и построены кривые роста по данным работы и литературным источникам. Из сравнения этих кривых определены оптимальные наборы параметров для изученной полосы. Результаты использованы для расчетов пропускания стандартных атмосфер субарктики, средних широт и тропиков зимой и летом в области полос 0—0, 1—0 и 2—0 изученного электронного перехода. Библ. 24.

М. В. Т.

спектр

90. 1982, 18,

№ 12

O₂

1982

ЗД1554. Изучение вращательной релаксации в свободно расширяющейся реактивной струе методом когерентного антистоксова комбинационного рассеяния света. Cars studies of rotational relaxation in free jet expansions. Nibler Joseph W., Huber-Wälchli Peter, Hou Shih-Yue, Pubanz George. «Raman Spectrosc.: Linear and Nonlinear. Proc. 8 Int. Conf., Bordeaux, 6—11 Sept., 1982». Chichester e. a., 1982, 161—162 (англ.)

Изучены спектры когер. антистоксова комб. рас. (КАКР) молекул O₂ (I) в сверхзвуковом потоке при давлении I в различных участках струи от 1,7 до 0,3 мм рт. ст. Сопоставлены распределения интенсивности по компонентам вращательных подуровней Q-ветви I в статич. условиях и в сверхзвуковой струе. В рамках простой релаксационной модели рассчитана эффективная вращательная т-ра I в различных участках струи, составляющая 11—45 К. Определено число

спектр

φ. 1983, 18, N3.

столкновений молекул I в потоке, приводящее к преобразованию энергии вращательных состояний в энергию трансляционных движений, равное 14 ± 4 . Отмечено, что необходимое число столкновений в газообразных D_2 и H_2 для аналогичного процесса энергетич. релаксации соответственно в 10 и 30 раз больше. Вычислены плотности молекул I в сверхзвуковой струе. Сделан вывод о перспективности исследования энергетич. релаксаций в сверхзвуковых потоках газовых смесей методом КАКР.

Н. З.



1982

O₂

1 Д100. Кубические вклады в расчетах многоконфигурационным методом самосогласованного поля (МК ССП). Cubic contributions in multiconfigurational self-consistentfield (MCSCF) calculations. Olsen Jørre, Jørgensen Poul, Yeager Danny L. «J. Chem. Phys.», 1982, 77, № 1, 356—370 (англ.)

Предложена обобщенная кубич. процедура Ньютона—Рафсона для поиска локальных минимумов функционала энергии в методе МК ССП. При использовании кубич. схемы удается получить глобальную сходимость процесса согласования без использования спец. ограничений на длины шагов для части переменных, что часто применяется в стандартной квадратичной методике. При подходе к минимуму функционала (локальная сходимость) предлагается использовать обычные методы минимизации второго порядка. На примере расчета энергии состояния $E^3\Sigma_u^-$ молекулы O_2 в базисе слэтеровских орбиталей показана эффективность разработанной кубич. схемы решения ур-ний МК ССП.

А. И. Дементьев

расчет
нейтраль-
ного состояния

$E^3\Sigma_u^-$

9.1983, 18, N 1

O₂

1982

Кв. мех.
расцем

☒

71

BO

cb. 1982, 18, N8

8 Д102. Многоконфигурационное хартри-фоковское исследование псевдопересечения кривых с использованием метода Ньютона—Рафсона. Multiconfigurational Hartree—Fock studies of avoided curve crossing using the Newton—Raphson technique. Olsen Jørp, Jørgensen Poulsen, Yeager Dappu L. «J. Chem. Phys.», 1982, 76, № 1, 527—542 (англ.)

В рамках многоконфигурац. метода Хартри—Фока с процедурой Ньютона—Рафсона исследованы различные причины, усложняющие расчет поверхностей потенц. энергии, особенно в области их псевдопересечения. К ним относятся появление малых или лишних отрицат. собств. значений в гессиане и переворот корней секулярного ур-ния. Подробно описаны эффективные приемы устранения этих трудностей и, в частности, автоматич. контроль шага итерации. Предлагаемая методика успешно проиллюстрирована на примерах расчета двух нижних состояний симметрии $^3\Sigma_u^-$ в молекуле O₂ и трех нижних состояний симметрии $^4\Pi$ в молекуле BO, для которых имеет место явление псевдопересечения.

А. Воронин

O₂

1982

Olsen Jeppe, Jorgensen
Poul.

pacresi J. Chem. Phys., 1982,
77, N12, 6109-6130.

(cfr. Memog pacresi mod-s; III)

O₂

Dmuck 16283]

1982

Keepers
class 4

Painter G.S., Averill F.W.,
Phys. Rev. B. Condens.
Matter, 1982, 26, N4,
781-790.

O_2

1982

З Д693. Определение времени жизни $O_2(^1\Delta_g)$ с помощью измерений разрешенной во времени ИК-люминесценции. Lifetime of $O_2(^1\Delta_g)$ in liquid water as determined by time-resolved infrared luminescence measurements. Rodgers Michael A. J., Snowden Paul T. «J. Am. Chem. Soc.», 1982, 104, № 20, 5541—5543 (англ.)

При возбуждении с помощью удвоенного по частоте импульсного излучения лазера на ИАГ: Nd^{3+} ($\lambda_{возб} = 532$ нм, $\tau_{возб} \approx 10$ нс, $E_{возб} = 50$ мДж) измерены времена жизни ИК-люминесценции ($\tau_{люм}$) синглетного молекулярного кислорода ($O_2(^1\Delta_g)$) в H_2O , D_2O и смесях H_2O с D_2O . Для регистрации кинетики коротковивущего свечения $O_2(^1\Delta_g)$ при 1,27 мкм использовался малоинерционный Ge-фотодиод с временным разрешением < 1 мкс. В качестве фотосенсибилизатора образования $O_2(^1\Delta_g)$ был применен тетракис(4-сульфо-

брутто
переходов

Ф. 1983, 18, № 3

натофенил)-порфин. Найдено, что величины $\tau_{люм}$ в H_2O и D_2O составляют соответственно 4,4 и 56 мкс. Отмечено, что полученные значения $\tau_{люм} O_2(^1\Delta_g)$ в H_2O находятся в хорошем согласии с определенными ранее одним из авторов с помощью непрямых измерений.
Библ. 22.

Т. А. Ш.

O₂

Ommenck 13807-1

1982

Roos B.O., Linse P., et al.

M.N., Chem. Phys., 1982, 66,
K.B. Mex., pacificus. N 1-2, 197 - 207.

1982

O₂

12 Д629. ИК-магнитные дипольные полосы атмосферного кислорода. Magnetic dipole infrared atmospheric oxygen bands. Rothman Laurence S. «Appl. Opt.», 1982, 21, № 13, 2428—2431 (англ.)

Проанализированы литературные данные по спектрам магнитных дипольных переходов ИК-атмосферной системы $X^3\Sigma_g^- \rightarrow a^1\Delta_g$ молекулы O₂. Используя результаты лабор. и астрономич. исследований колебательных полос 0—0 (1,27 мкм) и 1—0 (1,07 мкм), автор определил колебательные и вращательные постоянные уровней $v=0$ и $v=1$ метастабильного электронного состояния $a^1\Delta_g$ молекулы O₂. Аналогичные оценки проведены также для метастабильного электронного состояния изотопа ¹⁶O¹⁸O.

A. B. N.

Ф. 1982, 18, № 12

Стимул мікросір O₂ 1982

б енергією Sci. Tech. Aerosp.
новоїсти. Rep. 1982, 20 (6),
аероскопії Abstr. No N82-18853.



; суп. H₂O; III)

O₂

1982

Shibuya K., et al.

J. Chem. Phys., 1982,
76, N₂, 1184-1186.

crekuep

(cell. N₂; $\bar{1}\bar{1}\bar{1}$)

1982

O₂

96: 223433b Newton-Raphson approaches and generalizations in multiconfigurational self-consistent field calculations. Yeager, Danny L.; Lynch, Diane; Nichols, Jeffrey; Joergensen, Poul; Olsen, Jeppe (Dep. Chem., Texas A and M Univ., College Station, TX 77843 USA). *J. Phys. Chem.* 1982, 86(12), 2140-53 (Eng). MC Hartree-Fock procedures based on unitary exponential operators are developed and reviewed. The Newton-Raphson equations demonstrate quadratic convergence. Particularly when far from convergence, small eigenvalues of the Hessian may give extremely large step length amplitudes. Two procedures are discussed, mode damping and mode controlling, which are used to reduce large step length amplitudes. With both procedures mode reversal is also used to assure that the proper no. of neg. eigenvalues is present for each iteration. Calcd. results are given for the first excited ${}^1\Sigma_g^+$ state of C₂ and the ${}^2{}^1A_1$ state of CH₂. For an optimized MC-SCF state the generalized Brillouin's theorem is satisfied. Generalizations of Newton-Raphson and the multiplicity independent Newton-Raphson approaches are discussed. It is shown how fixed Hessian-type approaches will demonstrate quadratic, cubic, quartic, ... convergency. Calcns. are presented for the $E^2\Sigma_u^-$ state of O₂.

meinemreick
pacem

C.A. 1982, 96, N 26.

1982

O₂
O₂ +
12 Б146. Использование многодетекторного электронного спектрометра для изучения в области 14,8—20,3 эВ потерь энергии электронов, рассеянных молекулами кислорода. Electron energy-loss studies of molecular oxygen in the region 14,8—20,3 eV using a multidetector electron spectrometer. York T. A., Somer J. «J. Phys. B: Atom. and Mol. Phys.», 1982, 15, № 24, 4629—4635 (англ.)

Сконструирован спектрометр с многоканальной системой регистрации электронов и дифференциальной откачкой области столкновения электронного и молек. пучков. На этом спектрометре в области 14,8—20,3 эВ измерены спектры потерь энергии электронов, рассеянных молекулами O₂. Разрешение спектров составило 30 мэВ. Энергия перв. пучка электронов (E) варьировалась в пределах от 10 до 100 эВ, а угол рассеяния (Θ) изменялся в диапазоне от 0° до 90°. В полученных спектрах обнаружено большое число ранее не известных особенностей. Проведен анализ изменений относит.

спектр

(4) №

X.1983, 19, N 12

O₂ +

интенсивностей этих линий при варьировании E и Θ . На основе полученных результатов идентифицированы четыре ридберговские серии (РС), две из к-рых сходятся к $b^4\Sigma_g^-$, а две остальных к $B\Sigma_g^-$ состояниям O_2^+ с энергиями 18,17 эВ (четвертый потенциал ионизации O_2) и 20,296 эВ соотв. Каждая пара РС, сходящаяся к определенному состоянию, представляет собой ряды дипольно-запрещенных переходов на $ns\sigma_g$ и $nd\sigma_g$ уровнях. В измеренных спектрах также обнаружено несколько изолированных пиков, связанных с переходами, запрещенными по спину.

О. А. Басченко

из
бра

O₂

1982

Tossell John A, Moore
John H., et al.

Pyroc-
assauz

J. Amer. Chem. Soc.,
1982, 104, N26, 7416-
-7423.

(ccs. CD; III)

O₂

1983

8 Д579. Экспериментальный и теоретический анализ температурной зависимости ширин вращательных линий комбинационного рассеяния кислорода. Experimental and theoretical analysis of the temperature dependence of rotational Raman linewidths of oxygen. Bégaud M., Lallemand P., Севе J. P., Giraud M. «J. Chem. Phys.», 1983, 78, № 2, 672—687 (англ.)

Получены вращательные спектры комб. рас. газообразного кислорода при плотностях 5—40 амага в интервале т-р 100—400 К с разрешением 0,2 см⁻¹, возбужденные лазером Ar⁺. Внутрирезонаторное расположение образца позволило работать с мощностью возбуждающего света ~25 Вт в линии 488 нм. Описана конструкция температурной кюветы высокого давления. Обнаружено, что в условиях эксперимента вращательный спектр кислорода представляет собой совокупность дискретных линий, налагающихся на континуум неизвестной природы, а контур отдельной линии является

спектр

ср. 1983, 18, № 8

лоренцевым. Измерены коэф. уширения вращательных линий до $J=24$. Выполнен расчет этих коэф. методами полуклассич. теории с использованием модельного потенциала, содержащего притяжение и отталкивание в изотропной и анизотропной частях. Варьированием параметров потенциала получено согласие с эксперим. данными. Процедура показывает важную роль анизотропной части потенциала отталкивания в уширении спектральных линий. Библ. 38.

М. В. Т.



Δ_2

Jan. 18878

1983

Birkley J. S., Frisch M. J.,
Int. J. Quantum Chem.: Quan-
tum Chem. Symp., 1983, N 14:
Do, ab initio Proc. Int. Symp. Atom., Mol.
pacrem. and Solid-State Theory, Col-
lis, Phenom., and Comput. Quan-
tum Chem., Flagler Beach,
Fla, 3-12 March, 1983, 331-337.

O_2

1983

12 Б4312. Введение. Introduction. Cauchis G.
«Bull. Dir. étud. et rech.», 1983, A, № 1—2, 11—18 (фр.;
рез. англ.)

Рассмотрено современное состояние изучения электронной структуры молекулы O_2 в основном триплетном и двух возбужденных синглетных состояниях. Рассмотрены также структура, методы получения и хим. св-ва простых ионов и радикалов, образующихся из O_2 (в основном, супероксид-иона $O_2^{\cdot -}$, а также $O^{\cdot +}$, O_2^{2-} , HO_2^- , HO^- , O^{2-} и $O_3^{\cdot +}$). Подробно рассмотрены к-тно-основные равновесия с участием этих частиц, а также их восстановление.

Я. Н. Малкин

С/рекл

X. 1984, 19, N 12

O₂

1983

12 Б4311. Кислород: возбужденные состояния и [образующиеся из них радикальные состояния]. Oxygène: états excités et espèces radicalaires dérivées. «Bull. Dir. étud. et rech.», 1983, A, № 1—2, 4—129 (фр.; рез. англ.)

Доклады на состоявшемся 13 мая 1982 г. междисциплинарном симпозиуме, организованном Электрич. о-вом Франции. Содержание: Cauchis G. Введение; Ferradini C., Pucheuat S. Физ. химия супероксид-иона; Buvet R., LePort L., Sechand P., Martin F. Электрохим. и хим. восстановление кислорода в водн. среде; Braun A. M., Oliveros E., Maurette M. T. Фотоокисление; Gareil M., Pinson J., Savéant J. M. Нуклеофильные р-ции супероксид-иона. Замещение в галоидзамещ. ароматич. соединениях; Lacheheb A., Takakubo M., Faure J., Belloni J.

X. 1984, 19, N 12

Р-ционная способность супероксид-иона по отношению к комплексам Co^{2+} и Co^{3+} ; Oliveros E., Mauret-
te M. T., Braun A. M. Идентификация и анализ
супероксид-иона и синглетного кислорода в гетерог.
фазе. Я. Н. Малкин

O_2

Om. 19233/1983

1 Б1159. Миллиметровый и субмиллиметровый спектр кислорода в состоянии $a^1\Delta_g$. Millimeter and submillimeter wave spectrum of oxygen in the $a^1\Delta_g$ state. Cazzoli G., Degli Esposti C., Favero P. G. «Chem. Phys. Lett.», 1983, 100, № 1, 99—101 (англ.)

М.Н.

В миллиметровом и субмиллиметровом диапазоне измерены два вращательных перехода ($J=3 \leftarrow 2$ и $J=4 \leftarrow 3$) молекулы O_2 в состоянии $a^1\Delta_g$. Использовались системы регистрации с накоплением и численным сглаживанием сигнала, позволяющие улучшить отношение сигнала к шуму, и низкотемпературный (1,4 К) InSb-детектор. Метастабильные молекулы $O_2(a^1\Delta_g)$ образовывались непосредственно в поглощающей ячейке ($l=4$ м) в условиях разряда постоянного тока в атмосфере кислорода. Значения молек. постоянных (МГц): $B_0=42504,523$, $D_0=0,1526$, $q=7,8 \cdot 10^{-5}$. В. М. Ковба

Х. 1984, 19, N/

O₂

(Om. 19233)

1983

99: 166166c Millimeter and submillimeter wave spectrum of oxygen in the $a^1\Delta_g$ state. Cazzoli, G.; Degli Esposti, C.; Favero, P. G. (Inst. Spettrosc. Mol., CNR, 40126 Bologna, Italy). *Chem. Phys. Lett.* 1983, 100(1), 99-101 (Eng). The measurements of 2 rotational transitions of O in the $a^1\Delta_g$ electronically excited state in the millimeter and submillimeter wave region allowed a more accurate detn. of the mol. parameters of this mol. The newly detd. values in MHz are $B_0 = 42504.523(4)$, $D_0 = 0.1526(1)$; $q = 7.8(55) \times 10^{-5}$.

(M.M. Cherkop)

c. A. 1983, 99, n20

O₂

1983

Chen E.C.M., Went-
worth W.E.

Ae; J. Phys. Chem. 1983,
87(1), 45-49.

(see[•] NO; iii)

O_2

Om-17039

1983

12 Д108. Энергетическое тестирование качества локализованных базисных систем: молекула O_2 . Total energy assessment of the quality of localized basis sets, O_2 molecule. Delley B., Freeman A. J., Weinert M., Wimmer E. «Phys. Rev. B: Condens. Matter», 1983, 27, № 10, 6509—6511 (англ.)

На пример расчета методом дискретного варьирования энергии диссоциации (D_e) молекулы O_2 сравнивается относит. эффективность различных базисов АО, центрированных на ядрах. Найдено, что включение в базис орбиталей, полученных для положительного атомного иона, сильнее понижает полную энергию молекулы, чем использование виртуальных АО нейтрального атома. Действительно, добавление АО $3s$ - и $3p$ -нейтрального атома кислорода к базису ($2s, 2p$) увеличивает энергию диссоциации O_2 на 1 эВ, в то время как включение ф-ций $2s$ и $2p$ иона O^+ увеличивает D_e на 3 эВ.

А. И. Дементьев

сб. 1983, 18, N 12

O₂

1983

Dmitrieva I.K., Zenevich
V.A.

Porečn
et. n.

Chem. Phys. Lett., 1983,
96, N^o2, 228-231.

(Ces. H₂; $\frac{III}{—}$)

O₂

1983

1) 4 Л135. Микроволновые линии поглощения молекулы $^{18}\text{O}_2$ в основном электронном состоянии $X^3\Sigma_g^-$. Microwave absorption lines of $^{18}\text{O}_2$ in its electronic ground state ($X^3\Sigma_g^-$). Endo Yasuki, Mizushima Masa-taka. «Jap. J. Appl. Phys.», 1983, PT2, 22, № 8, 534—536 (англ.)

В диапазоне 50—380 ГГц исследован микроволновый спектр молекулы $^{18}\text{O}_2$. Идентифицирована тонкая структура магнитно-дипольных вращательных переходов с $J \leq 44$ основного и первого возбужденного колебательного состояния основного триплетного электронного состояния $X^3\Sigma_g^-$. Определены значения вращательной и центробежной постоянных ($B_0 = 38313,761$ МГц, $D_0 = -0,1180$ МГц), постоянных спин-спинового ($\lambda = 59,4966831$ ГГц) и спин-вращательного взаимодействия ($\gamma = -224,4441$ МГц), а также параметров γ_D , λ_D и λ_{DD} , характеризующих центробежную поправку к этим взаимодействиям.

М. Р. Алиев

и. л., Челлендж,
структур

сб. 1984, 18, № 4

O₂

[Om. 17843]

1983

99: 221409m Microwave absorption lines of molecular oxygen-18 in its electronic ground state ($X^3\Sigma_g^-$). Endo, Yasuki; Mizushima, Masataka (Inst. Mol. Sci., Okazaki, Japan 444). *Jpn. J. Appl. Phys., Part 2* 1983, 22(8), 534-6 (Eng). Microwave absorption lines of $^{18}\text{O}_2$, in $v = 0$ and $v = 1$ states, were obsd. in the 119 and 60 GHz regions. Precisely detd. mol. parameters for the $^{18}\text{O}_2$ species were compared with those of $^{16}\text{O}_2$ previously detd., and isotope dependence of the parameters are briefly discussed.

AB CNEKMP

C.A. 1983, 99, N 26

O₂

Om. 16886

1983

Farnell L., Pople J.A.,
et al.

ab initio
pacium

J. Phys. Chem., 1983, 87,
N 1, 79-82

O₂

1983

Faibel Manfred.

Adv. Atom. and Mol.

сборник Phys. Vol. 19. New York

браком. с. с., 1983, 345 - 394.

бозынч.

(ces. Na₂-Ar; II)

1983

Д2

4 Л188. Температурная зависимость фотопоглощения молекулы кислорода в континууме Шумана—Рунге. Temperature dependence in the Schumann-Runge photo-absorption continuum of oxygen. Gibson S. T., Gies H. P. F., Blake A. J., McCoy D. G., Rogers P. J. «J. Quant. Spectrosc. and Radiat. Transfer», 1983, № 5, 385—393 (англ.)

Измерена температурная зависимость сечения поглощения молекулы кислорода в области континуума Шумана—Рунге ($X^3\Sigma_g^- - B^3\Sigma_u^-$) (140—174 нм) с разрешением 0,01 нм в диапазоне т-р 295—575 К. Точность относит. значений коэф. поглощения не превышает 0,2%, а абсолютных 5%. На основании полученных данных с использованием процедуры «подгонки» определены потенциал отталкивательного состояния и зависимость дипольного момента перехода от межъядерного расстояния $R_e(r)$. Результаты проведенного анализа сопоставлены с расчетами ab initio зависимости $R_e(r)$. Библ. 39.

В. А. Елохин

cf. 1984, 18, N4

O₂

1983

Golab Joseph T., Yea-
ger Danny L., et al.

pacreeū

u. n.,

Ei

Chem. Phys., 1983,
78, N2, 175 - 199.



(cu. CH₂; II)

O_2

1983

1 Г37. Кривые потенциальной энергии при диссоциативной рекомбинации. Potential energy curves for dissociative recombination. Guberman Steven L. «Phys. Ion—Ion and Electron—Ion Collis. Proc. NATO Adv. Summer Inst., Baddeck, 13—26 Sept., 1981». New York; London, 1983, 167—200 (англ.)

расчет
потенциал
кривых

(+2)

сф. 1984, 18, N 1

Приведен обзор результатов обширных орбитальных расчетов отталкивательных потенц. кривых O_2 , H_2 , He_2 , характеризующих диссоциативную рекомбинацию ионов O_2^+ , H_2^+ , He_2^+ . Обсуждается выбор базисных атомных ф-ций, используемых для построения одноэлектронных молекулярных орбиталей, и построение на их основе с помощью пермутационных операторов суперпозиций, описывающих полную молекулярную волну ф-цию. Использовались базисные атомные ф-ции, аппроксимированные комбинациями гауссовых ф-ций. Обсуждаются одно- и многоконфигурац. методы с самосогласованным

H_2 , He_2

полем в рамках минимизации энергии при построении волн. ф-ции молекулы и учет межконфигурац. взаимодействия, а также общие характеристики вычислительных программ. Выполнены расчеты всех 62 валентных состояний O_2 , возникающих из атомов $O(^3P)$, $O(^1S)$ и $O(^1D)$, и состояний $X^2\Pi_g$ и $^4\Pi_u O_2^+$. Приведена таблица энергий 18 состояний O_2 , которые можно было сравнить с появившимися ранее расчетами и экспериментом. На основе приведенных графиков отталкивательных потенц. кривых качественно обсуждаются возможности и вероятность диссоциации при рекомбинации к различным атомарным состояниям. Аналогичное обсуждение и обзор эксперим. данных по диссоциативной рекомбинации выполнены для $H_2^+ + e$ и $He_2^+ + e$.

В. Н. Сошиков

И
чи

1983

Д1 Г37. Кривые потенциальной энергии при диссоциативной рекомбинации. Potential energy curves for dissociative recombination. G u b e r m a n S t e v e n L. «Phys. Ion—Ion and Electron—Ion Collis. Proc. NATO Adv. Summer Inst., Baddeck, 13—26 Sept., 1981». New York; London, 1983, 167—200 (англ.)

Приведен обзор результатов обширных орбитальных расчетов отталкивательных потенц. кривых O_2 , H_2 , He_2 , характеризующих диссоциативную рекомбинацию ионов O_2^+ , H_2^+ , He_2^+ . Обсуждается выбор базисных атомных ф-ций, используемых для построения одноэлектронных молекулярных орбиталей, и построение на их основе с помощью пермутационных операторов суперпозиций, описывающих полную молекулярную волн. ф-цию. Использовались базисные атомные ф-ции, аппроксимированные комбинациями гауссовых ф-ций. Обсуждаются одно- и многоконфигурац. методы с самосогласованным полем в рамках минимизации энергии при построении

ПОМНИЦ.
КРИСТИ

(42)

оф. 1984, 18, N 1

He , He_2

волн. ф-ции молекулы и учет межконфигурац. взаимодействия, а также общие характеристики вычислительных программ. Выполнены расчеты всех 62 валентных состояний O_2 , возникающих из атомов $O(^3P)$, $O(^1S)$ и $O(^1D)$, и состояний $X^2\Pi_g$ и ${}^4\Pi_u O_2^+$. Приведена таблица энергий 18 состояний O_2 , которые можно было сравнить с появившимися ранее расчетами и экспериментом. На основе приведенных графиков отталкивательных потенц. кривых качественно обсуждаются возможности и вероятность диссоциации при рекомбинации к различным атомарным состояниям. Аналогичное обсуждение и обзор эксперим. данных по диссоциативной рекомбинации выполнены для $H_2^+ + e$ и $He_2^+ + e$.

В. Н. Сошников

O_2

Окт. 1769г 1983

2 Б1111. Спектроскопия вынужденного комбинационного рассеяния высокого разрешения O_2 . High-resolution stimulated Raman spectroscopy of O_2 . Hill R. A., Esherick P., Owyoung A. «J. Mol. Spectrosc.», 1983, 100, № 1, 119—133 (англ.)

Спектроскопия усиления КР применена для исследования колебательно-вращательного спектра КР O_2 (I) в свободно расширяющейся струе. Спектр возбуждали линией 647,1 им одномодового криptonового лазера и перестраиваемым в области 588 им импульсным лазером на красителе, разрешение составляло $\sim 0,002 \text{ см}^{-1}$, в спектре проведены поляризационные измерения. Охлаждение I до $\sim 40 \text{ К}$ позволило разрешить тонкую структуру Q-ветви, а также выделить Q-ветви сателлитов при 1554 и 1558 см^{-1} , обусловленных расщеплением основного состояния $^3\Sigma_g$ из-за спин-спинового и спин-вращательного взаимодействия. Анализ распределения интенсивностей вращательных компонент позволил показать, что в I реализуется промежуточный случай связи по Гунду. Степень деполяризации полосы основного колебания равна $0,164 \pm 0,004$.

А. В. Бобров

спектр, № 1 -

ж. 1984, 19,
№ 2

O₂

Om. 17697]

1983

92-96069x High-resolution stimulated Raman spectroscopy of molecular oxygen. Hill, R. A.; Esherick, P.; Owyong, A. (Sandia Natl. Lab., Albuquerque, NM 87185 USA). *J. Mol. Spectrosc.* 1983, 100(1), 119-33 (Eng). High-resoln. (0.002 cm^{-1}) stimulated Raman spectroscopy was applied to the study of both normal and satellite Q branches of the fundamental vibrational band of mol. O. By using a pulsed mol. free-expansion jet to adiabatically cool the O sample, satellite Q branches at 1554 and 1558 cm^{-1} that arise due to the splitting of the $^3\Sigma_g$ ground state by spin-spin and spin-rotation interactions were completely resolved for the 1st time. Measured intensity ratios for the $\Delta N \Delta J(J,N) = ^3Q(2,1)$ and $^3R(1,1)$ lines, and for the $^3S(0,1)$ and $^3P(2, 1)$ lines compare favorably with that for a coupling case intermediate between Hund's cases (a) and (b). Depolarization ratios, measured for a series of 3Q -branch (unresolved) triplets, give a value 0.164 ± 0.004 for the depolarization ratio of the fundamental vibrational band.

(CKP)

c.A.1983, 99, n12

O₂ 1983

Hubač Ivan, Čářský
Petr.

pacíees Int. J. Quantum Chem.,
u. n. 1983, 24, n2, 141-148.

(cuv. Be; III)

O₂

Huxley P., Morrell J. N. 1983

romerius. J. Chem. Soc., Faraday
op-us Trans 2 1983, 79 (2),
смоги. 323-328.
соч.

(см. Li; III)

O₂
10m- 16713) 1983

99: 181734e Electron impact excitation from a ${}^1\Delta_g$ state of molecular oxygen. Khakoo, M. A.; Newell, W. R.; Smith, A. C. H. (Dep. Phys. Astron., Univ. Coll., London, UK WC1E 6BT). *J. Phys. B* 1983, 16(10), L317-L322 (Eng). Energy-loss features obsd. in the electron-impact excitation of discharged mol. O are assigned to the transitions O₂ a ${}^1\Delta_g$ ($v = 0$) \rightarrow O₂ ${}^1\Pi_u$ ($v' = 0, 1, \dots, 7$). A Morse potential energy curve is detd. for the ${}^1\Pi_u$ state using the relative intensities of these energy-loss features.

${}^1\Pi_u$ -nomers.

Kruskal

Mopje

C.A. 1983, 99, N 22

O₂

1983

98: 152157t The Schumann-Runge diatomic oxygen emission, following visible multiphoton excitation of monomeric nitrogen dioxide. Matsumi, Y.; Murasawa, Y.; Obi, K.; Tanaka, I. (Dep. Chem., Tokyo Inst. Technol., Tokyo, Japan 152). *Laser Chem.* 1983, 1(2), 113-30 (Eng). The Schumann-Runge emission ($B^3\Sigma_u^- - X^3\Sigma_g^-$) of O₂ was obsd. in the wavelength range of 220-300 nm, when NO₂ was irradiated with a focused visible laser (470-580 nm). The excitation spectrum of the emission also showed the Schumann-Runge transition from highly excited vibrational levels ($v'' = 22-26$) of the X state to the $v' = 1-3$ levels of the B state of O. The highly vibrationally excited O₂ ($E_{vib} \simeq 30,000$ cm⁻¹) is once produced through a multiphoton process of NO₂ and then absorbs one more photon. The resulting excited state of O₂ emits fluorescence in the UV region. Even at 40 torr of NO₂, no rotational-vibrational relaxation in the B state was obsd. The mechanism of the multiphonon process is discussed.

($B^3\Sigma_u^- - X^3\Sigma_g^-$)

C. A. 1983, 98, N18.